

รูปร่างเริ่มต้นที่เหมาะสมของด้วยทรงกระบอกในกระบวนการผลิตขึ้นรูปลีก

(กรณี : เหล็กกล้าไร้สนิม SUS, 304)

Optimum blank-size of a cylindrical cup in deep drawing process

(case : Stainless steel, SUS 304)

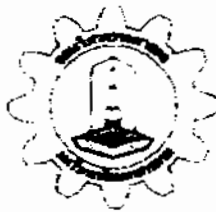
ปริญญาอภิพนธ์

ของ

วรุณิ บุตรจันทร์ 53010372018

สุพัฒน์ ทิพย์ภูมิ 53010372022

เสนอต่อมหาวิทยาลัยมหาสารคาม เพื่อเป็นส่วนหนึ่งของการศึกษาตามหลักสูตร
วิศวกรรมศาสตรบัณฑิต สาขาวิชาวิศวกรรมการผลิต
ภาคเรียนที่ 2 ปีการศึกษา 2556
ลิขสิทธิ์เป็นของมหาวิทยาลัยมหาสารคาม



คณะกรรมการสอบปริญญาบัณฑิต ได้พิจารณาปริญญาบัณฑิตบัณฑิต สาขาวิชาวิศวกรรมการผลิต ของมหาวิทยาลัย
มหาสารคาม

คณะกรรมการสอบปริญญาบัณฑิต

ประธานกรรมการ

(ผู้ช่วยศาสตราจารย์ ดร.เกียรติศักดิ์ ศรีประทีป)

กรรมการ

(ผู้ช่วยศาสตราจารย์ ดร.สุศิลาการ อินธิเดช)

อาจารย์ที่ปรึกษาปริญญาบัณฑิต

(ผู้ช่วยศาสตราจารย์ ดร.บพิช บุปโขต)

(ผู้ช่วยศาสตราจารย์ ดร.บพิช บุปโขต)

หัวหน้าสำนักวิชาวิศวกรรมศาสตร์

กิตติกรรมประกาศ

ปริญญาบัตร เล่มนี้สำเร็จลุล่วงได้ด้วยความกรุณาจาก ผู้ช่วยศาสตราจารย์ ดร. บพิร บุปโภช
อาจารย์ที่ปรึกษาปริญญาบัตรและอาจารย์บุญสูง ฤทธิ์ตา ที่ได้ให้คำแนะนำ แนวคิด ตลอดจนแก้ไข
ข้อบกพร่องต่างๆมาโดยตลอด จนปริญญาบัตรได้รับอนุมัติสมบูรณ์ ผู้จัดทำปริญญาบัตรจึงขอกราบ

ผู้จัดทำปริญญาบัตร ขอขอบพระคุณ มหาวิทยาลัยเทคโนโลยีราชมงคลธัญบุรี วิทยาเขต
เทคโนโลยีกรุงเทพ ที่อนุเคราะห์ให้เชิญโปรแกรมคำนวณทางคอมพิวเตอร์ (Dynaform)

ผู้จัดทำปริญญาบัตร ขอขอบพระคุณ คุณพ่อและคุณแม่ ที่ให้คำปรึกษาในเรื่องราวด้วย
รวมทั้งเป็นกำลังใจที่ดีเสมอมา

ผู้จัดทำปริญญาบัตร ขอขอบคุณเจ้าหน้าที่ คณะวิศวกรรมศาสตร์ มหาวิทยาลัยมหาสารคาม
ที่ช่วยเหลือให้คำปรึกษา แนะนำ และช่วยแก้ไขข้อบกพร่องมาโดยตลอด

ผู้จัดทำปริญญาบัตร ขอขอบคุณเพื่อนๆที่ได้ช่วยเหลือแรงกาย แรงใจ รวมถึงความรู้
ความสามารถ จนทำให้ปริญญาบัตรได้รับอนุมัติสำเร็จลุล่วงไปได้

วรรุณ บุตรจันทร์
สุพัฒน์ พิทยภูมิ

ชื่อเรื่อง	รูปทรงเริ่มต้นที่เหมาะสมของถ้วยทรงกระบอกในกระบวนการลากขึ้นรูปลีก (กรณีศึกษา : เหล็กกล้าไร้สนิม, SUS 304)
ผู้วิจัย	นายวรุพิ บุตรจันทร์ นายสุพัฒพงษ์ ทิพย์ภูมิ
อาจารย์ที่ปรึกษา	ผู้ช่วยศาสตราจารย์ ดร.บพิช บุปผาโชค
ปริญญา	ว.ศ.บ. สาขาวิชา วิศวกรรมการผลิต
มหาวิทยาลัย	มหาวิทยาลัยมหาสารคาม ปีที่พิมพ์ 2557

บทคัดย่อ

ปริญญานิพนธ์ฉบับนี้มีวัตถุประสงค์เพื่อศึกษาถูปร่างขึ้นงานเริ่มต้นต่อการเกิดคลื่นที่บริเวณปากถ้วยทรงกระบอกในกระบวนการลากขึ้นรูปลีก โดยการวิเคราะห์ไฟในต์เอลิเมนต์จากโปรแกรมสำเร็จรูป LS-DYNA วัสดุที่ใช้ในการทดลองคือเหล็กกล้าไร้สนิม (SUS 304) หนา 2 มิลลิเมตร รูปร่างของขึ้นงานทดสอบมี 3 แบบคือ 1) วงกลม 2) ทฤษฎีของ Kishor N. & Kumar D.R. และ 3) ทฤษฎีของ A.M. Zaky, A.B. Nassr & M.G. El-Sebaie จากผลการทดลองพบว่า การปรับเปลี่ยนรูปร่างขึ้นงานเริ่มต้นโดยใช้ทฤษฎีของ A.M. Zaky, A.B. Nassr & M.G. El-Sebaie จะทำให้เกิดคลื่นบริเวณปากถ้วยน้อยกว่าใช้ทฤษฎีของ Kishor N. & Kumar D.R.

TITLE Optimum Blank-size of Cylindrical Cup in Deep Drawing Process
(Case Study: Stainless Steel, SUS 304)

AUTHOR Mr. Worawut Butjan
Mr. Supatpong Tippoon

ADVISOR Asst. Prof. Bopit Bubphachot, Ph.D.

DEGREE B Eng (Manufacturing Engineering)

UNIVERSITY Mahasarakham University **YEAR** 2014

ABSTRACT

This project aims to study the effect of blank-size on the earing of a cylindrical cup in deep drawing process by using finite element analysis from LS-DYNA program. The material used in the experimental was stainless steel (SUS304) with 2 mm. thick. The geometry of specimen had 3 types as 1) circle, 2) theory of Kishor N & Kumar D.R. and 3) theory of A.M. Zaky, A.B. Nassr & M.G. El-Sebaie. From experimental, the geometry of blank-size modified by theory of A.M. Zaky, A.B. Nassr & M.G. El Sebaie provided the smaller earing than that from the theory of Kishor N. & Kumar D.R.

สารบัญ

บทที่	หน้า
1 บทนำ	1
ความเป็นมาและความสำคัญของปัญหา	1
วัตถุประสงค์	2
ผลที่คาดว่าจะได้รับ	2
ขอบเขต	2
งบประมาณ	3
สถานที่ดำเนินการ	3
2 ทฤษฎีและงานวิจัยที่เกี่ยวข้อง	4
กระบวนการออกแบบขึ้นรูป	4
องค์ประกอบของแม่พิมพ์ลากขึ้นรูป	4
พอดีกรรมการไฟล์ด้วยซอฟต์แวร์	5
อัตราส่วนการตึงขึ้นรูป	6
แรงในการจับยืดขั้นงาน	7
ระยะช่องว่างระหว่างแม่พิมพ์	8
รัศมีพันธ์และรัศมีด้าย	9
การดึงขึ้นรูปชิ้นงานที่ไม่รูปร่างชิ้นงานไม่สมมาตร	10
ข้อบกพร่องในการดึงขึ้นรูป	11
การเกิดรอยย่นที่ปักด้วยเหนื่อผนังก้าว	11
เกิดการฉีกขาดที่ก้นถ้วยบริเวณหนึ่งหรือรัศมีพันธ์	12
เกิดการตัดขาดรอบพันธ์บริเวณระหว่างรัศมีพันธ์และรัศมีด้าย	12
แผนภาพชี้จุดจำกัดการขึ้นรูป	13
เหล็กกล้าไร้สนิม	14
เหล็กกล้าไร้สนิมออสเทเนติก	14
ทดสอบสมบัติเชิงกลของวัสดุเหล็กกล้าไร้สนิม SUS 304	15
ทฤษฎีของ Naval Kishor และ D. Ravi Kumar	15
การทำหัวท่อที่เหมาะสมที่สุดของรูปทรงแผ่นขั้นงานเริ่มต้นเพื่อลดการเกิดรอยตึง	17

สารบัญ (ต่อ)

บทที่	หน้า
การทดลองกับรูปทรงของแผ่นชิ้นงานเริ่มต้นที่ผ่านการปรับแก้	18
ทฤษฎีของ A.M. Zaky, A.B. Nassr และ M.G. El-Sebaie	20
3 ขั้นตอนการดำเนินงาน	23
การเตรียมอุปกรณ์และชิ้นงานในการทดลอง	23
แผ่นชิ้นงานตามทฤษฎีและสมการของ Naval Kishor และ D. Ravi Kumar	26
แผ่นชิ้นงานตามทฤษฎีและสมการของ A.M. Zaky, A.B. Nassr และ M.G. El-Sebaie	27
วิธีการวิจัยและดำเนินการ	28
4 ผลและการวิเคราะห์ผลการทดลอง	29
ผลการศึกษาเงื่อนไขและปัจจัย	29
ความเค้นและความเครียดที่แท้จริง	29
ขัดจำกัดการลากขึ้นรูปเล็กที่มีผลต่อสัดส่วนถักล้ารีสันนิม SUS 304	30
ผลวิเคราะห์การเปลี่ยนแปลงความหนาของผนังชิ้นงาน	33
5 สรุปผลและขอเสนอแนะ	37
สรุปผลการศึกษา	37
ขอเสนอแนะ	37
บรรณานุกรม	38
ภาคผนวก	40
ภาคผนวก ก การคำนวณและแบบงานผลิตภัณฑ์ที่ใช้ในการศึกษา	41
ภาคผนวก ข การใช้โปรแกรมคำนวณทางคอมพิวเตอร์	44
ภาคผนวก ค ผลการวิเคราะห์และจำลองภาพการลากขึ้นรูป	63
ประวัติย่อผู้วิจัย	70

บัญชีตาราง

ตาราง	หน้า
1 ความเร็วในการลากขึ้นรูป	9
2 ชนิด ส่วนผสม สมบัติทางกล และการใช้งานของเหล็กกล้าไร้สนิม (SUS 304)	14

บัญชีภาพประกอบ

ภาพประกอบ	หน้า
2.1 องค์ประกอบหลักของแม่พิมพ์ลากขึ้นรูปและลักษณะของแม่พิมพ์ก่อนการขึ้นรูปและระหว่างการขึ้นรูป	4
2.2 แสดงพฤติกรรมและทิศทางการไหลตัวของโลหะแผ่นของกระบวนการดึงขึ้นรูป	5
2.3 กลไกที่ทำให้ปักขึ้นงานหนาขึ้นและเกิดการย่น	6
2.4 ลักษณะการจับยืดแผ่นขึ้นงานเป็นแบบส่งกำลังจากดယคุกขัน	7
2.5 ระยะที่อ้างว่างแม่พิมพ์รัศมีพันธ์และรัศมีดယ	8
2.6 การเกิดรอยย่นของขึ้นงาน	11
2.7 การฉีกขาดที่กันด้วยบริเวณเหนือรัศมีพันธ์	12
2.8 การฉีกขาดรอบพันธ์	12
2.9 แผนภาพที่ดัดแปลงจากการขึ้นรูป	13
2.10 เมบ์จำลองแบบตาข่าย (meshed) ที่ใช้ในการขึ้นรูปพิมพ์ลีก, สร้างขึ้นในตัวประมวลผล ก่อนของ LSDYNA	17
2.11 วิธีการของการปรับแก้แผ่นขึ้นงาน	19
2.12 รูปร่างและตำแหน่งขององค์ประกอบก่อนและหลังการลดขนาดขอน	20
2.13 การเปลี่ยนแปลงของขอบขึ้นงาน	21
2.14 การปรับแก้ขั้นงาน yen เป็น	22
3.1 การเตรียมเหล็กกล้าไร้สนิม (SUS 304)	23
3.2 การเตรียมตะไบแบบ	23
3.3 การเตรียมเวอร์เนียลิเมเตอร์คลิปอร์	24
3.4 การเตรียมเครื่องจียาระใน	24
3.5 การเตรียมเครื่องตัดแผ่นโลหะ	25
3.6 การเตรียมขั้นงานก่อนทำการตัดใบบลูม	25
3.7 แบบที่ทำการเขียนขึ้นมาจากโปรแกรม Auto Cad (Kishor N. และ Kumar D.R.)	26
3.8 ขั้นงานที่ได้ผ่านการตัดใบจนไปถึงรอยเส้นประแล้ว (Kishor N. และ Kumar D.R.)	26
3.9 แบบที่ทำการเขียนขึ้นมาจากโปรแกรม Auto Cad (A.M. Zaky, A.B. Nassr and M.G. El-Sebaie)	27

บัญชีภาพประกอบ (ต่อ)

ภาพประกอบ	หน้า
3.10 ชิ้นงานที่ได้ผ่านการทดสอบไปถึงรอยเส้นประแล้ว (A.M. Zaky, A.B. Nassr and M.G. El-Sebaie)	27
4.1 ความสัมพันธ์ระหว่างความเด่นจริงและความเครียดจริง	29
4.2 กราฟแสดงขีดจำกัดการลากขึ้นรูปแผ่นเปล่าเส้นผ่านศูนย์กลาง 85 มิลลิเมตร	30
4.3 กราฟแสดงขีดจำกัดการลากขึ้นรูปแผ่นเปล่าเส้นผ่านศูนย์กลาง 85 มิลลิเมตร ลงมุมที่ทิศทางการรีด 0 และ 90 องศา ย้ายจุดศูนย์กลาง 6.2 มิลลิเมตร	30
4.4 กราฟแสดงขีดจำกัดการลากขึ้นรูปแผ่นเปล่าเส้นผ่านศูนย์กลาง 85 มิลลิเมตร ลงมุมที่ทิศทางการรีด 0 และ 90 องศา ย้ายจุดศูนย์กลาง 12.4 มิลลิเมตร	31
4.5 กราฟแสดงขีดจำกัดการลากขึ้นรูปแผ่นเปล่าเส้นผ่านศูนย์กลาง 85 มิลลิเมตร ลงมุมที่ทิศทางการรีด 0 และ 90 องศา ย้ายจุดศูนย์กลาง 18.6 มิลลิเมตร	31
4.6 กราฟแสดงขีดจำกัดการลากขึ้นรูปแผ่นเปล่าเส้นผ่านศูนย์กลาง 85 มิลลิเมตร ลงมุมที่ทิศทางการรีด 45 องศา จากขอบชิ้นงาน 1.2 มิลลิเมตร	32
4.7 กราฟแสดงขีดจำกัดการลากขึ้นรูปแผ่นเปล่าเส้นผ่านศูนย์กลาง 85 มิลลิเมตร ลงมุมที่ทิศทางการรีด 45 องศา จากขอบชิ้นงาน 2.4 มิลลิเมตร	32
4.8 กราฟแสดงขีดจำกัดการลากขึ้นรูปแผ่นเปล่าเส้นผ่านศูนย์กลาง 85 มิลลิเมตร ลงมุมที่ทิศทางการรีด 45 องศา จากขอบชิ้นงาน 3.6 มิลลิเมตร	33
4.9 การเปลี่ยนแปลงความหนาของผังชิ้นงานขนาดเส้นผ่านศูนย์กลางแผ่นเปล่า 85 มิลลิเมตร	33
4.10 การเปลี่ยนแปลงความหนาของผังชิ้นงานขนาดเส้นผ่านศูนย์กลางแผ่นเปล่า 85 มิลลิเมตร ลงมุมที่ทิศทางการรีด 0 และ 90 องศา ย้ายจุดศูนย์กลาง 6.2 มิลลิเมตร	34
4.11 การเปลี่ยนแปลงความหนาของผังชิ้นงานขนาดเล็กเส้นผ่านศูนย์กลางแผ่นเปล่า 85 มิลลิเมตร ลงมุมที่ทิศทางการรีด 0 และ 90 องศา ย้ายจุดศูนย์กลาง 6.2 มิลลิเมตร	34
4.12 การเปลี่ยนแปลงความหนาของผังชิ้นงานขนาดเส้นผ่านศูนย์กลางแผ่นเปล่า 85 มิลลิเมตร ลงมุมที่ทิศทางการรีด 0 และ 90 องศา ย้ายจุดศูนย์กลาง 6.2 มิลลิเมตร	35
4.13 การเปลี่ยนแปลงความหนาของผังชิ้นงานขนาดเส้นผ่านศูนย์กลางแผ่นเปล่า 85 มิลลิเมตร ลงมุมที่ทิศทางการรีด 45 องศา จากขอบของชิ้นงาน 1.2 มิลลิเมตร	35
4.14 การเปลี่ยนแปลงความหนาของผังชิ้นงานขนาดเส้นผ่านศูนย์กลางแผ่นเปล่า 85 มิลลิเมตร ลงมุมที่ทิศทางการรีด 45 องศา จากขอบของชิ้นงาน 2.4 มิลลิเมตร	36

บัญชีภาพประกอบ (ต่อ)

ภาพประกอบ	หน้า
4.15 การเปลี่ยนแปลงความหนาของผังชั้นงานขนาดเส้นผ่านศูนย์กลางแผ่นเปล่า 85 มิลลิเมตร ลดลงที่ทิศทางการรีด 45 องศา จากขอบของชั้นงาน 3.6 มิลลิเมตร	36

บทที่ 1

บทนำ

ความเป็นมาและความสำคัญของปัณฑา

ปัจจุบันโรงงานอุตสาหกรรมต้องการผลิตชิ้นงานให้ได้คุณภาพและมีความเที่ยงตรงตามแบบ และต้องการผลิตชิ้นงานในปริมาณสูงขึ้น จึงมีการใช้แม่พิมพ์ลากขึ้นรูปเข้ามาช่วยในการผลิตอย่างแพร่หลาย เนื่องจากการบำรุงรักษางานใช้ต้นทุนต่ำ ใช้เวลาในการติดตั้งหรือการถอดประกอบน้อย ผลิตชิ้นงานได้หลากหลายรูปแบบ และมีคุณภาพสูงขึ้น เพื่อเพิ่มความสามารถในการผลิตให้กับโรงงาน

แม่พิมพ์โลหะงานลากขึ้นรูป(Deep drawing) ได้มีการพัฒนาขึ้นเรื่อยๆโดยเฉพาะประเทศที่มีความก้าวหน้าทางด้านเทคโนโลยีไม่ว่าจะเป็น เยอรมัน อเมริกา อังกฤษ และญี่ปุ่น เป็นต้น ซึ่งประเทศเหล่านี้มีความชำนาญในด้านการออกแบบแม่พิมพ์ แต่อย่างไรก็ตามมักจะประสบปัญหาอยู่เป็นประจำ เช่น การเกิดรอยแตก การเกิดรอยย่น(Draw radius) ที่ใหญ่เกินไป การฉีกขาด ค่าClearancesระหว่างBlank holder กับ Die น้อยเกินไปหากเกินไปหรือไม่สม่ำเสมอ มีแรงกดที่Blank holderมากเกินไป จึงทำให้เกิดชิ้นงานเสียหาย เป็นจำนวนมาก ซึ่งการแก้ไขปัญหาต่างๆเหล่านี้ ขึ้นอยู่ประสบการณ์และความชำนาญงานของวิศวกร ที่จะวิเคราะห์สาเหตุซ้อนกันอย่างละเอียดและแก้ปัญหาหรือทำการออกแบบแม่พิมพ์ใหม่ ให้ได้มาตรฐานและถูกต้อง แต่ก็มีบางปัญหาที่ไม่สามารถแก้ไขได้เนื่องจากไม่ได้เกิดขึ้นจากการออกแบบแม่พิมพ์ แต่เกิดขึ้นจากวัสดุที่ใช้ ทำให้ชิ้นงานไม่เหมาะสมในการศึกษาการออกแบบแม่พิมพ์ลากขึ้นรูป

เนื่องจากในปัจจุบันนี้ทางด้านอุตสาหกรรมแม่พิมพ์โลหะมีความต้องการที่จะลดอัตราการสิ้นเปลือง ของวัสดุที่นำมาใช้ในการผลิตให้ได้มากที่สุด และรวมถึงการที่จะทำให้ไม่เกิดรอยคลื่นที่ปลายถ้วยหลังการลากขึ้นรูป ซึ่งจะช่วยให้โรงงานอุตสาหกรรมสามารถประหยัดค่าใช้จ่ายในการที่จะต้องนำรอยคลื่นนี้ไปตัด แต่ง ในการศึกษาค้นคว้าและได้ทำการทดลอง ได้ศึกษาเกี่ยวกับรูปร่างชิ้นงานเริ่มต้นที่เหมาะสมในการลากขึ้นรูปถ้วยทรงกระบอกเหล็กกล้าไร้สนิม (SUS 304) โดยได้นำทฤษฎีของ Kishor N. และ Kumar D.R. มาเปรียบเทียบกับทฤษฎีของ A.M. Zaky, A.B. Nassr และ M.G. El-Sebaie ซึ่งทั้งสองทฤษฎีได้กล่าวถึงเรื่องการปรับลดขนาดชิ้นงานแผ่นเปล่าก่อนทำการลากขึ้นรูป เพื่อที่จะทำให้วัสดุในการขึ้นรูปนั้นไม่รอยคลื่นที่ปลายถ้วย ไม่เกิดการเสียหายและไม่ทำให้เกิดการสิ้นเปลืองวัสดุที่เกิดจากปัญหาต่างๆที่ได้กล่าวมาในข้างต้น ทำให้สามารถลดต้นทุนหรือค่าใช้จ่าย สามารถลดระยะเวลาในการผลิต และยังช่วยทำให้ชิ้นงานที่ผลิตออกมามีมาตรฐานยิ่งขึ้นเป็นที่ยอมรับทั่วไป

วัตถุประสงค์

1. เพื่อศึกษากระบวนการลากขึ้นรูปและรูปร่างชิ้นงานเริ่มต้นที่เหมาะสม
2. เพื่อลดรอยคลื่นที่บริเวณปลายถ้วย ลดปัญหาการเกิดรอยบ่ำและลดปัญหาการเกิดการฉีกขาดในกระบวนการลากขึ้นรูป

ผลที่คาดว่าจะได้รับ

1. ได้ทราบถึงความเหมาะสมในการลากขึ้นรูปชิ้นงานที่เหมาะสม
2. สามารถแก้ปัญหาต่างๆ ที่เกิดขึ้นในกระบวนการลากขึ้นรูป
3. รู้และเข้าใจในการออกแบบและสร้างแม่พิมพ์ชิ้นงานลากขึ้นรูป
4. ได้ทราบถึงปัญหาที่เกิดขึ้นในกระบวนการลากขึ้นรูป
5. สามารถลดรอยคลื่นที่บริเวณปลายถ้วยได้
6. สามารถช่วยลดการสึกเปลืองวัสดุและค่าใช้จ่ายลงได้
7. ได้ชิ้นงานตามที่ต้องการหลังการลากขึ้นรูป

ขอบเขต

ตัวแปรต้น

1. รูปร่างชิ้นงานเริ่มต้นขนาดเส้นผ่านศูนย์กลาง 85 มิลลิเมตร
 - การปรับเปลี่ยนรูปร่างชิ้นงานแผ่นเปล่าตามสมการของ Kishor N. และ Kumar D R.
 - การปรับเปลี่ยนรูปร่างชิ้นงานแผ่นเปล่าตามสมการของ A.M. Zaky, A.B. Nassr และ M.G. El-Sebaie

ตัวแปรตาม

1. ความหนาของผิวถ้วยหลังการลอกขึ้นรูป
2. ความสูงของรอยคลื่นที่ปลายถ้วยในแต่ละทิศทางการรีด
3. ขนาดเส้นผ่านศูนย์กลางพื้นที่และด้วย
4. รอยย่นที่บริเวณด่างๆของถ้วย
5. การจัดขาดที่บริเวณด่างๆของถ้วย

ตัวแปรควบคุม

1. ชิ้นงานที่ใช้ในการทดลองคือ เหล็กกล้าไร้สนิม (SUS 304)
2. ระยะห่างระหว่างระหว่างแม่พิมพ์
3. ขนาดเส้นผ่านศูนย์กลางแผ่นชิ้นงานเริ่มต้น 85 มิลลิเมตร
4. ขนาดความหนาของแผ่นชิ้นงานเริ่มต้น 2 มิลลิเมตร
5. แรงในการจับถักชิ้นงาน
6. อัตราส่วนในการดึงขึ้นรูป
7. รัศมีพื้นที่และด้วย
8. สารหล่อลีนมาตรฐานเบอร์ 40
9. แรงที่ใช้ในการลอกขึ้นรูป
10. จำลองการขึ้นรูปด้วยโปรแกรมทางคอมพิวเตอร์

สถานที่ดำเนินการศึกษา

คณะวิศวกรรมศาสตร์ มหาวิทยาลัยมหาสารคาม

แผนกช่างกลโรงงาน มหาวิทยาลัยเทคโนโลยีราชมงคลอีสาน วิทยาเขตขอนแก่น

บทที่ 2

ทฤษฎีและงานวิจัยที่เกี่ยวข้อง

กระบวนการลากขึ้นรูปลึก (Deep drawing)

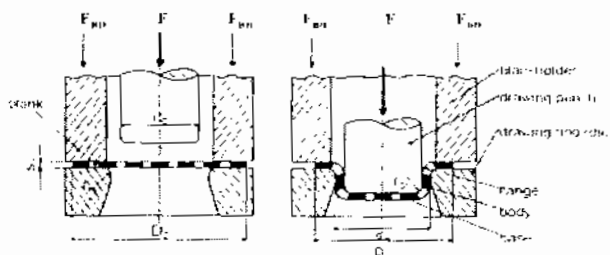
กระบวนการลากขึ้นรูปลึก คือ การแปรสภาพโลหะแผ่นเรียบให้เป็นรูปถ้วยหรือลักษณะที่เป็นเปลือกหอยโดยไม่มีรอยตะเข็บบนผิวขึ้นงาน ซึ่งในการลากขึ้นรูปจะพบว่าโลหะแผ่นที่นำมาขึ้นรูปอาจมีรูปร่างไม่ได้ตามที่ต้องการ เช่น เกิดรอยย่น ซึ่งมักจะเกิดในบริเวณที่มีความเครียดอัตราสูง ๆ และการฉีกขาดมักเกิดขึ้นในบริเวณที่โลหะแผ่นมีการเปลี่ยนแปลงรูปร่างอย่างทันทีทันใดเป็นต้น

สามารถจำแนกกระบวนการลากขึ้นรูปโดยอาศัยลักษณะของการลากขึ้นรูปได้ 3 ประเภท คือ

- 1) การขึ้นรูปโดยใช้แม่พิมพ์โลหะ (Deep drawing using dies)
- 2) การขึ้นรูปโดยใช้แรงดันจากของเหลว (Deep drawing using a working medium)
- 3) การขึ้นรูปโดยไฟฟ้าเป็นตัวกระตุ้น (Deep drawing by energy activation)

องค์ประกอบของแม่พิมพ์ลากขึ้นรูป

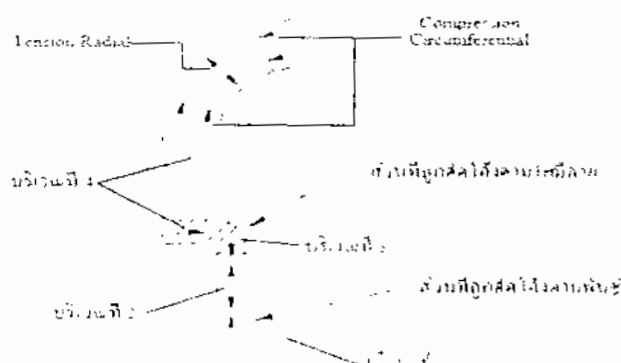
องค์ประกอบหลักของแม่พิมพ์ลากขึ้นรูปและลักษณะแม่พิมพ์ก่อนการขึ้นรูปส่วนที่สัมผัสโดยตรงกับแผ่นขึ้นงานเป็น มือญี่ 3 ส่วน คือ ส่วนของ พื้นท์ ดาย และ แผ่นจับยึดขึ้นงาน ขณะทำการขึ้นรูปแรงจากเครื่องปั๊ม (F) จะถูกส่งผ่านมาอยังพันธ์เพื่อดันให้โลหะแผ่นไหลด้วยเคลื่อนเข้าไปในช่องด้วยขณะเดียวกันก็มีแรงจับขึ้นงาน (F_{BH}) เพื่อควบคุมการไหลด้วยของโลหะแผ่นดังที่ได้แสดงในภาพประกอบ 2.1



ภาพประกอบ 2.1 องค์ประกอบหลักของแม่พิมพ์ลากขึ้นรูปและลักษณะของแม่พิมพ์ก่อนการขึ้นรูปและระหว่างการขึ้นรูป ที่มา: (วรรุณ พลบุพตา และคณะ. 2553)

พฤติกรรมการให้ผลตัวของโลหะแผ่น

แรงกดจากพื้นที่จะส่งผ่านมาที่บริเวณกันล้อวาย (บริเวณที่ 1) ส่งผลให้เกิดการตัดโค้งของแผ่นโลหะ 2 บริเวณ คือ ส่วนโถงตามรัศมีพื้นที่ (บริเวณที่ 2) และส่วนโถงตามรัศมีด้วย (บริเวณที่ 3) เมื่อพื้นที่เคลื่อนที่ลึกลงส่วนของแผ่นโลหะที่เป็นผังล้อวายในแนวตั้งจะทำหน้าที่ในการส่งผ่านแรงที่กระทำที่กันล้อวายไปยังบริเวณที่มีการเปลี่ยนรูปถาวร (ส่วนของปีกถัวง Flange) และส่วนโถงตามรัศมีด้วยที่แสดงในภาพประกอบ 2.2



ภาพประกอบ 2.2 เมื่อพนักงานและพื้นที่ทางการให้ผลตัวของโลหะแผ่นของกระบวนการตีบี้นรูป
ที่มา: (บรรุดมิ พลบุพพา และคณะ, 2553)

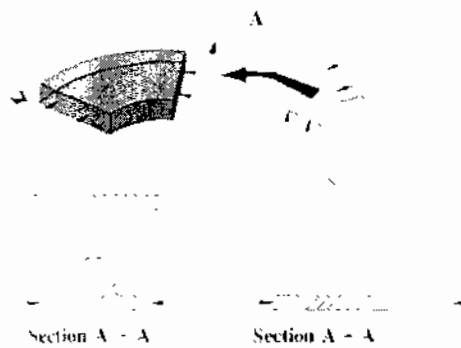
บริเวณที่ 1 ส่วนของกันล้อวายแบบไม่มีการเปลี่ยนแปลงรูปเกิดขึ้น พื้นที่จะพาเนื้อโลหะส่วนนี้เคลื่อนที่ตามเข้าไปในช่องว่างด้วย และเกิดการเปลี่ยนแปลงความหนาของแผ่นโลหะบริเวณนี้อย่างมาก

บริเวณที่ 2 ส่วนของแผ่นโลหะที่ถูกตัดโถงตามรัศมีพื้นที่ และผังล้อวายในแนวตั้งที่ผ่านการเปลี่ยนรูปที่สมบูรณ์มาแล้ว แต่เนื่องจากเป็นส่วนที่ส่งผ่านแรงจากกันล้อวายทำให้เกิดความเค้นดึงในแนวแกนส่งผลให้บริเวณนี้มีโอกาสเกิดการยืดตัวและบางลงของแผ่นโลหะบางกรณ์ก็เกิดการฉีกขาดขึ้นที่บริเวณนี้

บริเวณที่ 3 เกิดการเปลี่ยนรูปถาวรในส่วนที่ถูกตัดโถงตามรัศมีด้วย

บริเวณที่ 4 ส่วนของปีกถัวงเป็นบริเวณที่เกิดการเปลี่ยนรูปถาวรมากที่สุดบริเวณนี้เกิดความเค้นอัดในแนวเส้นรอบวงที่เกิดจากปริมาตรของเนื้อโลหะที่มีมากที่ขอบด้านนอกของแผ่นเปล่าพยายามเบี่ยดเพื่อให้เข้าไปในช่องว่างด้วยความแรงดึงจากพื้นที่ และเกิดความเค้นดึงในแนวรัศมีที่เกิดจากการดึงของพื้นที่ การขยายตัวของวัสดุเนื่องจากการเบี่ยดหรือการอัดตัวของวัสดุเนื่องจากการเบี่ยดหรือการอัดตัวในแนวเส้นรอบวงจะทำให้เกิดการขยายตัวในแนวรัศมีและเกิดการด้านการให้ผลตัว (แรงเสียดทาน) มักจะพบว่าแผ่น

โลหะที่บริเวณมีร่องรอยการย่นเพิ่มมากขึ้น หรือเกิดการย่นเนื่องจากการอัดตัวในแนวเส้นรอบวง ทำให้เกิดการขยายออกใน 2 แนวแกน คือ ขยายตามแนวรัศมีและขยายออกตามแนวความหนาของแผ่นโลหะ ในบางกรณี เช่น โลหะแผ่นบาง เมื่อค่าความดันอัดในแนวเส้นรอบวงสูงขึ้น จะเกิดการโก่งตัวแทนที่จะหนาขึ้น ดังแสดงในภาพประกอบ 2.3 กรณีนี้จะพบปัญหาการย่นบนปีกถ่ายร่วมด้วย



ภาพประกอบ 2.3 กลไกที่ทำให้เกิดขีดงานหนาขึ้นและเกิดการย่น ที่มา: (วรุณ พลบุพพา และคณะ, 2553)

อัตราส่วนการตึงขึ้นรูป

ความยากง่ายในการตึงขึ้นรูปสามารถพิจารณาได้จากอัตราส่วนการตึงขึ้นรูป หาได้จากอัตราส่วนของขนาดเส้นผ่านศูนย์ของแผ่นโลหะเปล่าต่อขนาดเส้นผ่านศูนย์ของพื้นที่ดังแสดงในสมการที่ (2.1)

$$\text{Ratio (Drawing } \beta) = \frac{d_0}{d_1} \quad (2.1)$$

วัสดุแต่ละชนิดจะมีความสามารถในการตึงขึ้นรูปได้ไม่เท่ากัน คุณสมบัตินี้เรียกว่า ค่าซีดจำกัด อัตราส่วนการตึงขึ้นรูป (Limiting Drawing Ratio) แต่ไม่ได้ขึ้นอยู่กับชนิดของวัสดุเพียงอย่างเดียว จะขึ้นอยู่ กับความหนาที่เปลี่ยนไปด้วย ถ้าวัสดุมีความหนามากขึ้นโอกาสในการตึงขึ้นรูปได้สำเร็จก็เพิ่มมากขึ้น นอกจากนั้นค่าความหยาบของผิวด้วย ผิวของแผ่นจะชั้นงาน การหล่อลื่นก็มีผลโดยตรงต่อค่า β_{max} ด้วย

แรงในการจับยึดชิ้นงาน (Blank Force Holder)

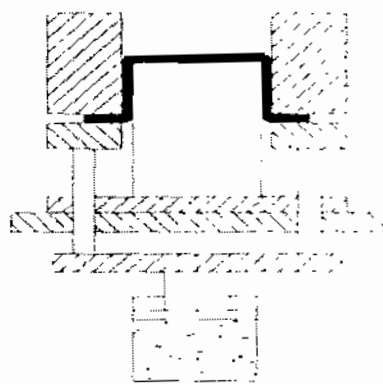
ขณะที่ทำการตึงชิ้นรูปจะเกิดความเส้นอัดในท่อรีเวนเป็นของด้วย การใช้แผ่นจับยึดชิ้นงานกดบนบริเวณนี้จะช่วยลดปัญหาการเกิดรอยย่น ซึ่งขนาดของแรงกดที่ใช้ต้องมีความเหมาะสม ถ้าแรงกดน้อยเกินไปจะส่งผลให้เกิดรอยย่นบนปีกและเกิดความเสียหายกับชิ้นงาน ในทางตรงกันข้ามถ้าแรงกดบนแผ่นจับยึดชิ้นงานมากเกินไปจะทำให้เกิดการฉีกขาดบริเวณผนังถ้วยบริเวณหน้ารัศมีพื้นที่ขึ้นมาเล็กน้อยขนาดของแรงดันในการจับยึดชิ้นงานที่เหมาะสมหาได้จากสมการที่ (2.2)

$$P_{BH} = 10^{-3} C [(\beta - 1)^{-3} + \frac{0.005d_0}{T} \sigma_u] \quad (2.2)$$

ดังนั้น แรงในการจับยึดชิ้นงานสามารถคำนวณได้จากสมการที่

$$F_{BH} = P_{BH} \times A_{BH} \quad (2.3)$$

แรงดันที่ใช้ในการจับยึดชิ้นงานจะถูกส่งแรงมาจากการดายคุชั่นที่อยู่ใต้ใบลสเดอร์ของเครื่องปืนฝ่านแกนส่งแรงดัน (Cushion Pin) ดังแสดงในภาพประกอบ 2.4 การทำงานของดายคุชั่นสามารถควบคุมให้คงที่และสามารถปรับตั้งได้ แรงในการจับยึดชิ้นงานที่กระจาบบนแผ่นจับยึดชิ้นงานและจะมีค่าสูงสุดที่ตำแหน่งเริ่มต้นเมื่อแผ่นໄโลหะถูกตึงให้เหลือเข้าไปในช่องดယก็จะเหลือพื้นที่บริเวณปีกกลดลงทำให้แรงจับยึดน้อยลง



ภาพประกอบ 2.4 ลักษณะการจับยึดแผ่นชิ้นงานเปล่าแบบส่งกำลังจากดายคุชั่น ที่มา: (วรุตติ พลบุพพา แสงคุณ, 2553)

ระยะช่องว่างระหว่างแม่พิมพ์ (Tool Clearance)

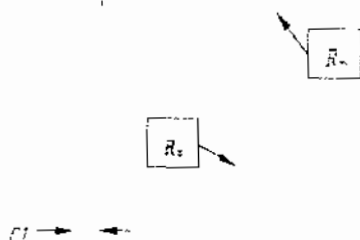
ระยะช่องว่างระหว่างแม่พิมพ์ หมายถึง ช่องว่างที่อยู่ระหว่างพื้นที่และด้วยตั้งแสดงในภาพประกอบ 2.5 การออกแบบช่องว่างแม่พิมพ์ที่ใหญ่เกินไปจะทำให้รูปร่างของถ้วยบริเวณปากถ้วยด้านบนขยายออกหลังการขึ้นรูปไม่เป็นทรงกรวยออก ในขณะที่การใช้ช่องว่างแม่พิมพ์ที่เล็กเกินไปจะส่งผลให้เกิดการรีดสอดความหนาผนังที่บริเวณขอบถ้วยด้านบน และต้องเพิ่มแรงที่ใช้ในการขึ้นรูป ซึ่งอาจทำให้เกิดการฉีกขาดของชิ้นงานได้ ค่าระยะช่องว่างแม่พิมพ์ที่เหมาะสมขึ้นกับชนิดของวัสดุชิ้นงาน ดังแสดงในสมการที่ (2.4)

$$C_L = T + 0.07 \sqrt{10T} \quad \text{สำหรับเหล็กแผ่น} \quad (2.4 \text{ ก})$$

$$C_L = T + 0.02 \sqrt{10T} \quad \text{สำหรับแผ่นอลูมิเนียม} \quad (2.4 \text{ ข})$$

$$C_L = T + 0.04 \sqrt{10T} \quad \text{สำหรับโลหะน้ำกลุ่มเหล็ก} \quad (2.4 \text{ ค})$$

$$C_L = T + 0.20 \sqrt{10T} \quad \text{สำหรับโลหะน้ำกลุ่มหกมีสูง} \quad (2.4 \text{ ง})$$



ภาพประกอบ 2.5 ระยะช่องว่างระหว่างแม่พิมพ์รัศมีพื้นที่และรัศมีด้วย ที่มา. (วรุณิ พลบุพรา และคณะ 2553)

ค่าระยะช่องว่างที่แนะนำนี้ใช้สำหรับงานรูปถ้วยทรงกรวยออกที่มีลักษณะสมมาตรรอบแนวแกน ส่วนงานรูปทรงอื่นๆ เช่น ถ้วยสีเหลี่ยม บริเวณที่เป็นมุมรัศมีควรมีระยะช่องว่างระหว่างพื้นที่และด้วยมากกว่าบริเวณที่เป็นแนวตรงเนื่องจากมีปริมาณของเนื้อวัสดุที่จะไหลเข้ามากกว่า

ตาราง 1 ความเร็วในการลากขึ้นรูป

วัสดุขั้นงาน	ความเร็วในการลากขึ้นรูป (ฟุต/นาที)
อลูมิเนียม	98
ห้องเหลือง	148
สแตนเลส สตีล	40
เหล็กกล้า	59
สังกะสี	72

ที่มา: (พิทักษ์ โสนิราษ และ วีระพงษ์ บลื้มชัยภูมิ. 2555; 23)

รัศมีพันธ์และรัศมีด้าย

การกำหนดรัศมีด้ายดังแสดงในภาพประกอบ 2.5 ขึ้นอยู่กับขนาดเส้นผ่านศูนย์กลางของถ้วยและความหนาของแผ่นโลหะ รัศมีด้ายที่มีขนาดใหญ่จะช่วยให้แผ่นโลหะหลุดตัวง่ายขึ้น ลดแรงที่ใช้ในการขึ้นรูป แต่รัศมีด้ายที่มีขนาดใหญ่เกินทำให้สูญเสียพื้นที่ในการจับยืดแผ่นโลหะ และเพิ่มโอกาสในการเกิดรอยย่นบนเบ้าถ้วย ดังนั้นจึงต้องออกแบบรัศมีด้ายให้มีขนาดพอเหมาะสม แนะนำวิธีการหาค่ารัศมีด้ายที่เหมาะสม ดังสมการที่ (2.5)

$$R_D = 0.035 [50 + (d_1 - d_0)] \sqrt{T} \quad (2.5)$$

โดยที่ R_D คือ รัศมีของด้าย

d_0 คือ เส้นผ่านศูนย์กลางของโลหะแผ่น (blank) ก่อนทำการขึ้นรูป

d_1 คือ เส้นผ่านศูนย์กลางภายในขั้นงานที่ทำการขึ้นรูป

T คือ ความหนาของโลหะแผ่นก่อนทำการขึ้นรูป

และค่ารัศมีด้ายที่เหมาะสมก็ยังสามารถหาได้จากสมการที่ (2.6)

$$P_D = (5 - 10) \times T \quad (2.6)$$

ส่วนรัศมีพันธ์ R_p ควรจะใหญ่กว่ารัศมีด้ายประมาณ 3-5 เท่า ค่ารัศมีพันธ์ต้องไม่เล็กกว่ารัศมีด้าย เมื่อจากอาจทำให้เกิดการกดฉีกเนื้อโลหะให้แยกจากกันเมื่อนอกบันไดพิมพ์ตัดเฉือนได้

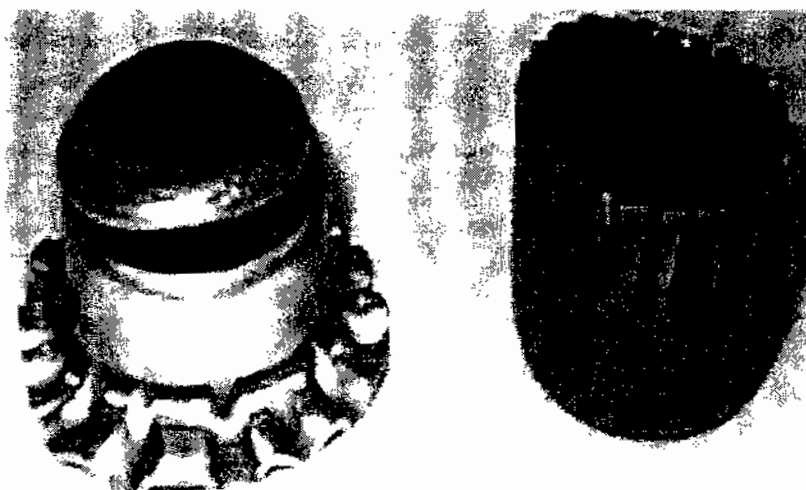
การตึงขึ้นรูปชิ้นงานที่มีรูปร่างไม่สมมาตร

ชิ้นงานที่มีลักษณะไม่สมมาตร เช่น รูปถ้วยสี่เหลี่ยม หรือถ้วยวางรี ความเสียหายที่เกิดขึ้นคือ เกิดรอยย่นที่ปีกถ้วย เกิดรอยฉีกขาดที่บริเวณมุมรีมีพันซ์ หรือรอยฉีกขาดที่เกิดจากการโหลดตัวไม่เท่ากันที่บริเวณด่างๆของชิ้นงานที่บริเวณส่วนปีกของชิ้นงานกล่องสี่เหลี่ยม โดยเฉพาะขอบปิกตรงบริเวณรีมีโค้งจะมีแนวโน้มที่จะเกิดการโก่งตัวและเกิดรอยย่นได้มากที่สุด เพราะเป็นบริเวณที่เกิดความเด่นอัดในแนวเลี้ยวของบ่วงมาก และบริเวณรีมีมุมโค้งเกิดความเห็นด้วยกันว่าบ่วงของชิ้นงานจะทำให้การโหลดตัวซ้ำกับบริเวณขอบเด่นของด้วยเชิงทำให้เนื้อรีสุดเกิดรีมีมุมโค้งเป็นสาเหตุที่ทำให้เกิดการโก่งตัวหรือเกิดรอยย่น ดังนั้นการตึงขึ้นรูปจึงจำเป็นต้องใช้แรงในการตึงขึ้นรูปที่สูงขึ้นเพื่อเอาชนะแรงเสียดทานที่เพิ่มขึ้น ในบางครั้งจะทำให้ชิ้นงานเกิดการฉีกขาดตรงบริเวณรีมีมุมโค้งที่ก้นถ้วย และรีมีที่ปักของถ้วยสี่เหลี่ยม เพราะบริเวณนี้จะเกิดความเห็นด้ดที่สูง และความหนาของชิ้นงานบริเวณนี้ก็จะลดลงด้วย จึงทำให้เกิดการฉีกขาดได้ง่าย ความสามารถในการตึงขึ้นรูปหรือการเปลี่ยนรูปของแผ่นโลหะขึ้นกับความหนาของวัสดุและอัตราส่วนการขึ้นรูป (กรณีของแผ่นโลหะเปล่าและหน้าตัดพันซ์ที่ไม่กลมคิดค่าอัตราส่วนการตึงขึ้นรูปจากการคำนวณขนาดเส้นผ่านศูนย์กลางว่าเป็นวงกลมที่มีพื้นที่เท่ากัน) สำหรับการตึงขึ้นรูปที่ใช้อัตราส่วนการตึงขึ้นรูปเท่ากับ 20 สำหรับแผ่นโลหะบาง ($d_0 / t > 25-40$) นั้นจะมีความไวต่อการเกิดรอยย่นมาก เพราะมีโนเมนต์ความเฉื่อยในการต้านการโก่งตัวและการเกิดรอยย่นต่ำ จึงต้องการแรงกดบนแผ่นจับชิ้นงานที่มากกว่าแผ่นโลหะที่มีความหนามาก สำหรับแผ่นโลหะหนา ($d_0 / t < 25$) โดยทั่วไปมีแนวโน้มที่จะเกิดรอยย่นได้ยากทำให้สามารถตึงขึ้นรูปได้โดยไม่ต้องใช้แผ่นจับชิ้นงานและวัสดุที่มีค่า r_m (Normal anisotropy) ที่ต่ำจะต้องใช้แรงกดของแผ่นจับชิ้นงานที่สูง และแรงกดบนแผ่นจับชิ้นงานจะเพิ่มขึ้นเมื่อวัสดุมีค่า เพลนนาร์ แอนไอโซโทรปี Δr (Planar anisotropy) สูงขึ้นด้วย ดังนั้นการแก้ปัญหาการโก่งตัวหรือการเกิดรอยย่นสามารถแก้ไขโดยการใช้รีมีมุมโค้งของพันซ์และดายใหญ่ขนาดใหญ่ขึ้นเพื่อให้วัสดุมีการโหลดตัวได้ง่ายขึ้น หรือโดยการเลือกใช้ลาร์หล่อสีน้ำที่มีคุณสมบัติที่ดีเพื่อลดแรงเสียดทานระหว่างมิวัลลัสคลอฟ์แผ่นโลหะกับผิวของแม่พิมพ์ให้มีการโหลดตัวได้ง่ายขึ้น และยังสามารถแก้ไขปัญหาการเกิดรอยย่นได้โดยการนำตัวรอร์บีด (Drawbead) เข้ามาท่วยเพื่อกักการโหลดตัวของวัสดุที่บริเวณในแนวตรงให้มีการโหลดตัวที่ซ้ำกันหรือไม่เท่ากับบริเวณขอบปิกตรงรีมีโค้ง ซึ่งมีการโหลดตัวที่ซ้ำกันอยู่แล้ว

ข้อบกพร่องในงานดึงขึ้นรูปเล็ก

ข้อบกพร่องที่เกิดขึ้นในกระบวนการดึงขึ้นรูปเล็ก บ่งบอกถึงการกำหนดเงื่อนไขของกระบวนการที่ไม่เหมาะสม เช่น แรงในการจับยืดขึ้นงาน และความเร็วของการดึงรูป การกำหนดเงื่อนไขของแม่พิมพ์ เช่น รัศมีแม่พิมพ์ การหล่อลีน การซัดผิวแม่พิมพ์ และการติดตั้งครัวบีด รายละเอียดของข้อบกพร่องหลักๆ ได้อธิบายไว้ดังต่อไปนี้

การเกิดรอยย่นที่ปีกด้วยหรือผนังถัวย

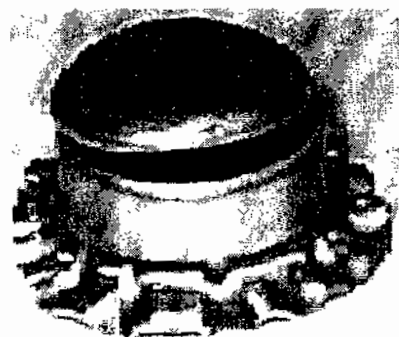


ภาพประกอบ 2.6 การเกิดรอยย่นของขึ้นงาน ที่มา: (วรุณ พลบุพมา และคณะ, 2553)

จากภาพประกอบ 2.6 รอยย่นจะเกิดจากความเดินเร่งอัดที่เกิดในแนวเลันรอบวงที่ปีกด้วยในขณะที่เนื้อโลหะบริเวณนั้นถูกดึงให้หล่อตัวลงในปากตายและรออยู่นี้จะไม่สามารถรีดให้หนาได้เมื่อพ้นช่วงเคลื่อนที่ลงจึงพาເօແน์โลหะที่ย่นนี้หลงไปเป็นส่วนของผนังถัวย สาเหตุอาจเกิดจาก

- 1) ค่าอัตราส่วนการดึงขึ้นรูป (β) สูงเกินไป
- 2) แรงกดบนแผ่นจับขึ้นงานไม่เพียงพอ
- 3) ผิวน้ำตายหรือแผ่นจับขึ้นงานไม่ได้ระนาบ
- 4) รัศมีด้วยใหญ่เกินไป(พื้นที่ในการจับยืดที่ปีกด้วยน้อย)

เกิดการฉีกขาดที่ก้นถ้วยบริเวณเหนือรัศมีพันธ์

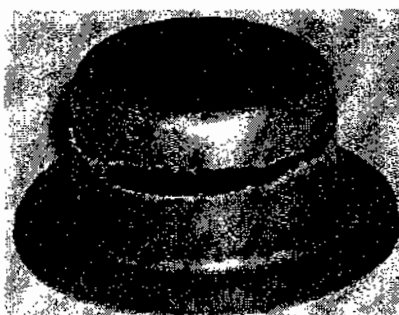


ภาพประกอบ 2.7 การฉีกขาดที่ก้นถ้วยบริเวณเหนือรัศมีพันธ์ ที่มา: (วรุณี พลบุพมา และคณะ. 2553)

บริเวณผนังตรงท่าหน้าที่ในการส่งผ่านแรงจากพันธ์ไปดึงให้ชิ้นงานบริเวณปีกถ้วยเกิดการเปลี่ยนรูป และเหลลงใบในช่องว่าง ด้วยจึงเกิดความเครียดแรงดึงสูง ถ้าค่าความเครียดแรงดึงที่เกิดขึ้นสูงเกินค่าความแข็งแรงสุดของวัสดุก็จะทำให้เกิดการฉีกขาด ดังแสดงในภาพประกอบ 2.7 ดังนั้นสาเหตุที่เป็นไปได้และวิธีการแก้ไขดังนี้

- 1) ใช้แรงกดแผ่นจับขึ้นงานสูงเกินไป
- 2) เกิดความเสียดทานสูงระหว่างผู้ชิ้นงานบริเวณปีกถ้วยและผิวน้ำดาย รวมถึงรัศมีดาย และระหว่างผิวชิ้นงานและผิวน้ำแผ่นจับขึ้นงาน
- 3) ค่าอัตราส่วนการดึงขึ้นรูป (β) สูงเกินไป

เกิดการตัดขาดรอบพันธ์บริเวณระหว่างรัศมีพันธ์และรัศมีดาย



ภาพประกอบ 2.8 การฉีกขาดรอบพันธ์ ที่มา: (วรุณี พลบุพมา และคณะ. 2553)

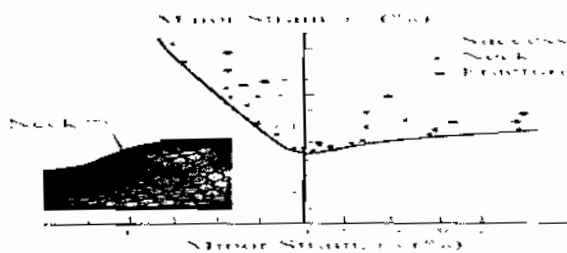
จากการภาพประกอบ 2.8 พื้นที่จะไม่ทำหน้าที่ในการพัฒนางานให้ใกล้ในปัจจุบันแต่จะทำหน้าที่ในการตัดเฉือนแทน ซึ่งมีสาเหตุมาจาก

- 1) รัศมีพันธ์และด้วยเล็กเกินไป
- 2) ใช้แรงกดแผ่นจับชิ้นงานลูงเกินไป
- 3) ความเร็วในการทำงานสูงเกินไป

แผนภาพชี้แจงกัดการขึ้นรูป

ความเครียดสูงสุดของความเครียดหลัก (ϵ_1) และความเครียดตรึง (ϵ_2) สามารถกำหนดโดยการวัดความเครียดที่เกิดการคดและการแตกบนแผ่นโลหะด้วยการใช้กริตวงกลม การวิจัยทางด้านนี้ Keeler เป็นผู้บุกเบิกก่อนตั้งแต่ปี ค.ศ. 1961 และเผยแพร่ในปี ค.ศ. 1965 โดยการพลีอตความเครียดหลักสูงสุดลงมาถึงความเครียดหลักต่ำสุด ซึ่งหาได้จากการตัดวงกลมเปลี่ยนรูปเป็นวงรีที่เกิดการคดและการแตกหลังการยืดแบบสองแกน (Biaxial stretching $\epsilon > 0$; $\epsilon > 0$) หลังจากนั้น Goodwin ทำการวิจัยในปี ค.ศ. 1968 โดยการพลีอตเส้นโค้งรอบๆ ปริเวณการตึงและการกด ($\epsilon > 0$; $\epsilon < 0$) โดยใช้การทดสอบเชิงกลที่แตกต่างกัน ดังนั้น แผนภาพ Keeler และ Goodwin จึงใช้วิธีที่แตกต่างกัน และเรียกว่า แผนภาพชี้แจงกัดการขึ้นรูป

ความเครียดที่พบในบริเวณที่มีการคดเฉพาะแห่งสามารถหาได้โดยการทดลองด้วยโหลดที่กระทบในบริเวณที่ต่างกัน เทคนิคที่ใช้กันอย่างกว้างขวางมากที่สุดคือการพิมพ์หรือกัดกริตวงกลม ลงบนแผ่นโลหะก่อนนำมาขึ้นรูป วงกลมเหล่านี้บีบเบี้ยวไปเป็นวงรีระหว่างการขึ้นรูป หลังจากนั้นจึงหาความเครียดหลักโดยวัดเส้นผ่านศูนย์กลางหลักและเส้นผ่านศูนย์กลางรองของวงรี ความเครียดนี้อาจเขียนในรูปของความเครียดจริง หรือความเครียดวิศวกรรม และค่าความเครียดของวงกลมที่มีการคดหักหมัดหรือบางส่วนถือว่า “เสียหาย” ถ้านความเครียดของวงกลมที่หักออกไปจากนี้ถือว่า “ปลดภัย” เมื่อลดจุดความเครียดเหล่านี้ก็สามารถสร้างแผนภาพชี้แจงกัดการขึ้นรูปและพกติกรรมการยืดด้วยของแผ่นโลหะที่อยู่บนแผนภาพชี้แจงกัดการขึ้นรูป



ภาพประกอบ 2.9 แผนภาพชี้แจงกัดการขึ้นรูป ที่มา: (วรุณ พลบุพชา และคณะ. 2553)

เหล็กกล้าไร้สนิม

เหล็กกล้าไร้สนิม (Stainless steel) หรือเหล็กกล้าสแตนเลส นิยมใช้กับงานที่ทนการกัดกร่อนจากสารเคมีทั้งในสภาพปกติหรือที่อุณหภูมิสูงๆ เหล็กกล้าไร้สนิมเป็นเหล็กกล้าที่มีส่วนผสมของโครเมียมมากกว่า 12 เปอร์เซ็นต์ โดยโครเมียมที่เติมเข้าไปนั้นจะทำหน้าที่เป็นตัวป้องกันการกัดกร่อน ซึ่งเป็นสาเหตุมาจากโครเมียมรวมตัวกับออกซิเจนกลอยเป็นโครเมี่ยโนอกไซด์ (Cr_2O_3) มีลักษณะเป็นชั้นบางๆ (thin film) ปิดผิวของเหล็กไว้ไม่ให้เหล็กทำปฏิกิริยากับออกซิเจนกลอยเป็นสนิมได้ ผลิตภัณฑ์ของโครเมียมออกไซด์นี้จะมีสมบัติเป็นแพสซิฟิตี้ (passivity) หรือเป็นแคโทดิก (cathodic) มีลักษณะคล้ายเกราะป้องกันไม่ให้เนื้อเหล็กทำปฏิกิริยาไฟฟ้าเคมี (electrochemical) แล้วเกิดการกัดกร่อนขึ้นได้

ตาราง 2 ขบดิ ส่วนผสม สมบัติทางกล และการใช้งานของเหล็กกล้าไร้สนิม (SUS 304)

คุณสมบัติทางกล	ความเดันแรงดึงสูงสุด (MPa) 515
	ความเดัน ณ จุดคราก (MPa) 205
	ความเหนี่ยว (LL; 50 mm) 40
สภาพ	อบอ่อน
ชนิด	օอสเทนติก
การใช้งาน	อุปกรณ์เคมีและการผลิตอาหาร
ส่วนผสม (wt%)	คาร์บอน (C) ≤ 0.08%
	แมงกานีส (Mn) ≤ 2.00%
	นิกเกิล (Ni) ≤ 9.00%
	โครเมียม (Cr) < 19.00%

ที่มา: (ณรงค์ศักดิ์ ธรรมโภชิ. 2556: 198)

เหล็กกล้าไร้สนิมօอสเทนติก

เหล็กกลุ่มนี้ได้แก่ โครม-นิกเกิล 300 และโครม-นิกเกิล-แมงกานีส 200 นิกเกิลที่ผสมอยู่ในเหล็กกลุ่มนี้จะทำอสเทนท์มีลักษณะและเกิดขึ้นที่อุณหภูมิห้อง โดยทั้ง 2 กลุ่มนี้มีสามารถขับแข็งได้ และแม่เหล็กตุดไม่ติด หากต้องการเพิ่มความแข็งต้องใช้วิธีขึ้นรูปเย็น

สetenเลสกัมมี่นิยมใช้มากที่สุดคือ 18-8 โครเมียม-นิกเกิล โดยจะมีการเปลี่ยนแปลงส่วนผสมของคาร์บอน โดยจะมีเหล็ก 74 เปอร์เซ็นต์ และคาร์บอนถึง 1 เปอร์เซ็นต์ หากปริมาณคาร์บอนต่ำกว่า 0.03 เปอร์เซ็นต์ จะไม่มีคาร์บอนเดดเกิดขึ้น

โดยปกติแล้วส텐เลสกัมมี่จะทนการกัดกร่อนดีกว่ากัมมี่เฟอร์ริติกและมาร์เทนซิติก ถ้าหากมีการทำความร้อนที่อุณหภูมิระหว่าง 480-860 องศาเซลเซียส จะทำให้โครเมียมคาร์ไบด์เกิดขึ้นที่ขอบเกรนโดยการตกผลึก ทำให้บริเวณรอบผนังкар์ไบด์มีปริมาณโครเมียมที่ต่ำลงและอาจเป็นสาเหตุของการกัดกร่อนที่เรียกว่า การกัดกร่อนตามแนวขอบเกรน (intergranular corrosion)

ทดสอบสมบัติเชิงกลของวัสดุเหล็กกล้าไร้สนิม รุส 304

พฤติกรรมของแผ่นโลหะที่เกิดขึ้นในกระบวนการหลักขึ้นรูป ในช่วงการเปลี่ยนรูปถาวร สามารถหาได้จากความสัมพันธ์ระหว่าง ความเด่นความเครียดและคุณสมบัติของวัสดุเป็นแบบแคนิโซหอร็อป (Anisotrop)

$$\sigma = K \epsilon^n \quad (2.7)$$

โดยที่	σ	คือ ความดันที่เห็บริบ
	K	คือ สัมประสิทธิ์ความแข็งแรง
	ϵ	คือ ความเครียดที่เห็บริบ
	n	คือ การทำให้แข็งด้วยความเครียด

ทฤษฎีของ Naval Kishor และ D. Ravi Kumar

ความสามารถในการขึ้นรูปโลหะขึ้นอยู่กับสองปัจจัย คือ

- 1) ความสามารถของวัสดุบริเวณริมขอบในการหล่อได้ย่างราบรื่นในระหว่างของแผ่นภายใต้แรงเฉือน
- 2) ความสามารถของวัสดุผ่านด้านข้างที่จะด้านหน้าการเปลี่ยนรูปในทิศทางตามความหนา

$$r = \frac{\epsilon_w}{\epsilon_t} \quad (2.8)$$

- โดยที่ r คือ อัตราส่วนความเครียดช่วงวัสดุ
 Δr คือ ความเครียดแท้จริงในทิศทางความกว้าง
 ϵ_r คือ ความเครียดแท้จริงในทิศทางความหนา

โดยที่ไปแผ่นโลหะจะเป็นวัสดุแอนไฮเซอร์อปี กล่าวคือคุณสมบัติของแผ่นจะแตกต่างกันไปในทิศทางที่แตกต่างกัน การเฉลี่ยอัตราส่วนความเครียดช่วงพลาสติก (r) ให้อัตราส่วนของการเฉลี่ยความแข็งแรงในการโหลดตักกับระนาบของแผ่น r ที่สูงกว่า หมายถึงความต้านทานที่สูงขึ้นในการทำให้บางลง คือ ถ้าที่ลึกสามารถขึ้นรูปได้ดังนั้นค่าที่สูงของ r หมายถึงวัสดุมีความสามารถในการขึ้นรูปได้ดีมากคือค่า LDR สูง ซึ่งเป็นคุณสมบัติที่น่าพอใจสำหรับการดำเนินงานการลากขึ้นรูปพิมพ์ลึกแต้วัสดุที่มีแอนไฮเซอร์อปีค่อนข้างแข็ง อยู่ต้องการเกิดรอยตึงในถ้วยที่ขึ้นรูปการเกิดรอยตึงถูกให้คำจำกัดความว่าเป็นการก่อตัวที่ต้องอยู่ด้านบนของถ้วยขึ้นรูป รอยตึงจะเกิดขึ้นเนื่องจากการโหลดของโลหะที่ไม่สม่ำเสมอในทิศทางที่แตกต่างกันและเกี่ยวข้องโดยตรงกับแอนไฮเซอร์อปีเชิงระนาบ (Δr) การคลาดเคลื่อนของความแข็งแรงในการโหลดในระนาบของแผ่นโลหะจะถูกเรียกว่าเป็นแอนไฮเซอร์อปีเชิงระนาบ

ในการวิจัยของลัดไธโอดีอิโคไฮเซอร์ปีเชิงระนาบ (Δr) เป็นศูนย์รอยตึงจะไม่ก่อตัว แต่แผ่นโลหะที่ถูกผลิตโดยการรีดเย็นและการอบอ่อน/หลอมและเนื่องจากการเรียงตัวของผลลัพธ์ในระนาบที่อิฐทางใดทิศทางหนึ่งได้ก่อตัวขึ้นในแผ่นโลหะ ซึ่งส่งผลในสมบัติแอนไฮเซอร์อปีในแผ่นโลหะ ถ้า Δr เป็นบวกรอยตึงก่อตัวที่ 0 องศา และ 90 องศา ไปในทิศทางการรีด และรอยตึงก่อตัวที่ +45 องศา ไปในทิศทางการรีดถ้าหาก Δr เป็นลบ ตามหลักการแผ่นโลหะที่ r สูงมากและ Δr เป็นศูนย์เป็นสิ่งที่ดีสำหรับการลากขึ้นรูปพิมพ์ลึกเพื่อขึ้นรูปถ้วยที่ลึกมากในการขึ้นรูปเพียงครั้งเดียว แต่แทนจะเป็นไปไม่ได้ในการผลิตแผ่นโลหะที่มีแอนไฮเซอร์อปีที่สูงมากกว่าปกติและมีแอนไฮเซอร์อปีเชิงระนาบเป็นศูนย์ส่วนใหญ่แผ่นโลหะ ซึ่งมีค่าแอนไฮเซอร์อปีสูงเป็นปกติแอนไฮเซอร์อปีเชิงระนาบก็จะสูงด้วย นำไปสู่การเกิดรอยตึงอย่างมีนัยสำคัญ การเกิดรอยตึงไม่เป็นที่พึงปรารถนาเนื่องจากมันต้องมีขั้นตอนกระบวนการเพิ่มเติมที่ซึ่งขอบด้านบนไม่สม่ำเสมอของถ้วยจะต้องถูกตัดแต่ง ซึ่งนี้ส่งผลในการสูญเสียของวัสดุ อัตราการผลิตและค่าใช้จ่ายที่เพิ่มขึ้น

การหาค่าเหมาะสมที่สุดของรูปทรงแผ่นชิ้นงานเริ่มต้นเพื่อลดการเกิดรอยตึง

- 1) ขั้นตอนที่นำมาใช้สำหรับการหาค่าเหมาะสมที่สุดของรูปทรงแผ่นชิ้นงานเริ่มต้นเพื่อลดการเกิดรอยตึง ความสูงสุดท้ายของถ้วยจากถ้วยชิ้นรูปถูกคำนวณโดยใช้สมการ (2.9) จากระยะห่างซึ่งกันของพื้นที่ที่กำหนดไว้ ความสูงสุดท้ายของถ้วยถูกคำนวณโดยใช้

$$D^2 = d^2 + 4dh \quad (2.9)$$

- โดยที่ D คือ เส้นผ่านศูนย์กลางแผ่นชิ้นงาน
 d คือ เส้นผ่าศูนย์กลางพื้นที่
 h คือ ความสูงถ้วย

- 2) แผ่นชิ้นงานทรงกลมขนาดเส้นผ่าศูนย์กลาง 85 มิลลิเมตร ถูกทำการจำลองและทิศทางการก่อตัวของรอยตึงถูกตั้งข้อสังเกต ในการทำงานขณะนี้ รอยตึงถูกพบที่ 0 องศา และ 90 องศา ไปยังทิศทางการรีดเนื่องจากน้ำหนัก Δr โดยที่ Δr เป็นวัสดุหินวัสดุ SUS 304 แผ่นชิ้นงานสามารถปรับแก้โดยวิธีเดิมหนึ่งโดยการกำหนดวัสดุจาก 0 องศา และ 90 องศา ไปในทิศทางการรีดหรือโดยการเพิ่มวัสดุใน 45 องศา ไปยังทิศทางการรีด พบร่วมกับผลกระทบของการหาค่าเหมาะสมที่สุดกว่าเมื่อเทียบกับวิธีการที่สอง

STEP 2 TIME = 3187803E-001



ภาพประกอบ 2.10 แบบจำลองแบบตาข่าย (meshed) ที่ใช้ในการเขียนรูปพิมพ์สีสร้างขึ้นในตัวประมวลผล ก่อนของ LSDYNA ที่มา: (Kishor N. and Kumar D.R , 2002)

- 3) ค่า Δr_1 และ Δr_2 ถูกตຽงสอบบดังด่อไปนี้

$$\Delta r_1 = r_0 - r_{45} \quad (2.10)$$

$$\Delta r_2 = r_{90} - r_{45} \quad (2.11)$$

- 4) สำหรับการปรับแก้แผ่นชิ้นงานทรงกลมที่มีขนาดเส้นผ่าศูนย์กลางตามด้องการถูกวัดลงบนกระดาษกราฟและแบ่งออกเป็นแปดส่วนเท่าๆ กัน โดยการลากแปลเดินจากจุดศูนย์กลางที่ระยะห่าง 45 องศา พิกัดของจุดซึ่งเส้นเหล่านี้บรรจบกับเส้นรอบวงที่แสดงในภาพประกอบ 2.11

- 5) เพื่อลดวัสดุใน 0 องศา และ 90 องศา ไปในทิศทางการวัด, พิกัดเดียวกันของสี่จุดใหม่ที่ได้มา (สองจุดในแต่ละแกน x และแกน y) จุดเหล่านี้จะเป็นหมายเลข 1', 3', 5' และ 7' พิกัด x และ y ของสี่จุดเหล่านี้อาจจะได้มาดังนี้

$$\text{การปรับแก้ พิกัด } X = R - 3\Delta r_1 \quad (2.12)$$

$$\text{การปรับแก้ พิกัด } Y = R - 3\Delta r_2 \quad (2.13)$$

ในที่นี้ R คือรัศมีของชิ้นงานวงกลม Δr_1 และ Δr_2 ถูกคำนวณจากสมการ (2.10) และ (2.11) พิกัดตั้งกล่าวข้างต้นได้มาหลังจากการผ่าสังเกตการไฟลของวัสดุในจำนวนมากของการจำลอง

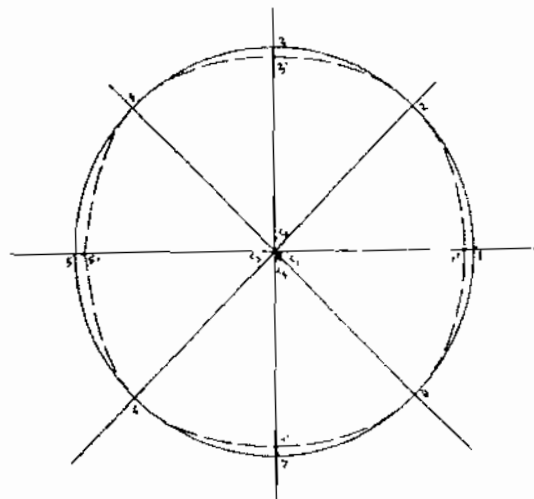
- 6) บัดนี้สี่เส้นโค้งจะถูกลากกับสี่จุดศูนย์กลางใหม่ C_1, C_2, C_3 และ C_4 (ดังแสดงในรูปที่ 2.11) แต่ ละเส้นโค้งเชื่อมต่อสามจุด สองจุดซึ่งเป็นจุดตัดของเส้นลากที่ 45 องศา ไปในทิศทางการวัดและจุดที่สาม เป็นจุดระบุใหม่บนแกน x หรือแกน y แล้วแต่กรณี สี่เส้นโค้งเหล่านี้คือ $2 1' 8, 8 7' 6, 6 5' 4$ และ $4 3' 2$

การทดลองกับรูปทรงของแผ่นชิ้นงานเริ่มต้นที่ผ่านการปรับแก้

รูปทรงจากขั้นตอนแรกของการปรับแก้ถูกใช้ในการตัดแผ่นชิ้นงานเริ่มต้นเพื่อที่จะดำเนินการทดลอง หรือกล่าวอีกนัยหนึ่ง การเกิดรอยตื้งเกิดจากรูปทรงของแผ่นชิ้นงานเริ่มต้นที่เหมาะสมจากการจำลองได้ถูกพิสูจน์จากการทดลอง ถ้างานนี้จะต้องทำโดยการทดสอบ มันจะต้องมีจำนวนมากของการทดลองและกินเวลาไม่ใช้พลังงานมาก แผ่นชิ้นงานของรูปทรงที่เหมาะสมถูกตัดครั้งแรกที่ขนาดใกล้เคียงโดยเครื่อง เนื่องและเสร็จสิ้นกับขนาดที่แน่นอนโดยการตะไบ เนื่องจากการปรับแก้ของรูปทรงของแผ่นชิ้นงานเริ่มต้น

พื้นที่หน้าตัดของแผ่นชิ้นงานเริ่มต้นมีการเปลี่ยนแปลงและจึงเกิดขึ้นจริงของค่า DR ขั้นตอนในการคำนวณเส้นผ่าศูนย์กลางสมมูลย์ ระบุไว้ด้านล่าง

- 1) แผ่นชิ้นงานทรงกลมถูกสร้างขึ้นใน AutoCAD ตามขนาดเส้นผ่าศูนย์กลางที่ต้องการแผ่นชิ้นงานทรงกลมถูกปรับแก้โดยการวัดสี่เส้นได้ (แต่ละเส้นผ่านจุดสามจุดต่อเนื่อง) ตามที่อธิบายไว้ในภาพประกอบที่ 2.11
- 2) พื้นที่หน้าตัด (A_f) ของแผ่นชิ้นงานที่ผ่านการปรับแก้ได้มาทันทีโดยการใช้ AutoCAD
- 3) เส้นผ่าศูนย์กลางสมมูลย์คำนวนโดยการรวมติดพื้นที่สี่เหลี่ยมคู่เท่ากับพื้นที่ของวงกลม ($A_f = 3.14d^2/4$)
- 4) Effective DR คำนวณดังนี้ $Effective (DR) = \frac{d_f}{d_{cup}}$ (2.14)



ภาพประกอบ 2.11 วิธีการของการปรับแก้แผ่นชิ้นงาน ที่มา; (Kishor N. and Kumar D.R., 2002)

C: จุดศูนย์กลางเริ่มต้น

C_1, C_2, C_3 and C_4 : จุดศูนย์กลางใหม่บนแผ่นชิ้นงานที่ปรับแก้

1, 2, 3, 4, 5, 6, 7, 8 : จุดบนแผ่นชิ้นงานวงกลม

1', 2', 3', 4', 5', 6', and 7' 8' : จุดบนแผ่นชิ้นงานที่ปรับแก้หลังจากขั้นตอนแรก

_____ แผ่นชิ้นงานวงกลมเริ่มต้น

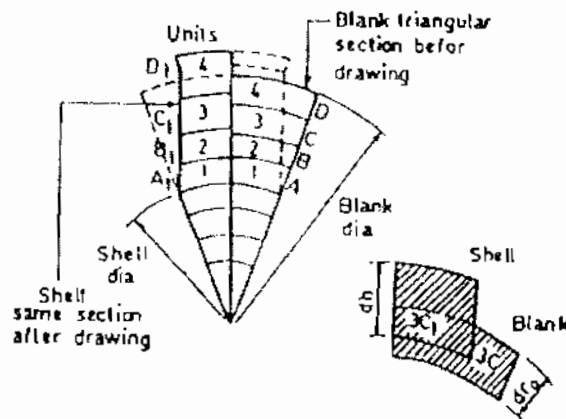
----- แผ่นชิ้นงานที่ปรับแก้หลังจากขั้นตอนแรก

ทฤษฎีของ A.M. Zaky, A.B. Nassr และ M.G. El-Sebaie

ขณะที่ส่วนหนึ่งของแผ่นชิ้นงานด้านได้ตัวจับยึดชิ้นงานถูกทิ้งรูปเป็นทางคอดาย ในขณะที่พื้นที่ยังเข้าไปยังดาย เอเดิมเนตในรูปของอาจจะอยู่ภายใต้สภาพที่แตกต่างกันของความเครื่องและความเครียด ตามสามแกนพิกัดมุมจาก (t , r , θ) ความเครียดหลักคือ E_x , E_y และ E_z การประเมินผลทางทฤษฎีของค่าแอนโอลิซทรอปีปัจจัยในรูปแบบของแผ่นชิ้นงานที่สัมพันธ์กันกับทิศทางการรีด ถูกกำหนดโดย Hill

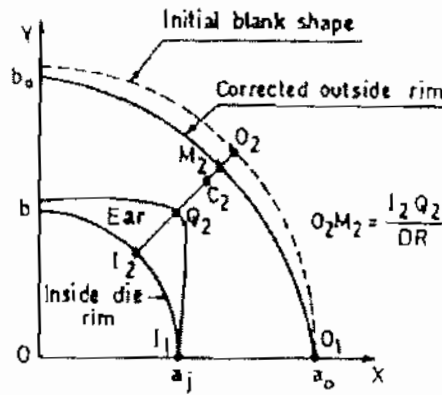
$$R(\theta) = \frac{H + (2N - F - 4H)\sin^2\theta\cos^2\theta}{F\sin^2\theta + G\cos^2\theta} \quad (2.15)$$

ขณะที่ θ แสดงให้เห็นถึงการวางแผนทิศทางไปยังทิศทางการรีด และ H , G , F , N เป็นคุณลักษณะทางพารามิเตอร์ของสภาพปัจจุบันของค่าแอนโอลิซทรอปี



ภาพประกอบ 2.12 รูปร่างและตำแหน่งขององค์ประกอบก่อนและหลังการลดขนาดของ ที่มา: (A.M. Zaky, A.B. Nassr and M.G. El-Sebaie, 1997)

จากรูปประกอบ 2.12 แสดงแผ่นชิ้นงานซึ่งถูกทำเครื่องหมายที่มีเส้นรัศมีและวงกลมร่วมศูนย์กลางหากเอเดิมเนตมีจำนวนตัวเลขเป็นกลุ่ม m และผิวถูกขึ้นรูปในลักษณะนี้และเอเดิมเนตบางอย่างถูกตรวจสอบหลังจากการดำเนินการ จากนั้น



ภาพประกอบ 2.13 การเปลี่ยนแปลงของขอบชิ้นงาน ที่มา: (A.M. Zaky, A.B. Nassr and M.G. El Sebail, 1997)

การกระจายตัวของความสูงของถ้วยสามารถคำนวณได้ที่ขนาดของแผ่นชิ้นงาน พื้นที่และด้วยที่มีและค่าของแอนโอลิคทรอปิกติ $R (\theta)$ เป็นที่ทราบว่าสมบูรณ์กว่าทั้งหมดของการวางตัวในทิศทาง จากภาพประกอบ 2.13 แสดงรูปร่างทรงกลมเริ่มต้นของแผ่นชิ้นงานที่มีรอยตัด ระยะห่างระหว่างช่องว่างระหว่างด้วยและขอบชิ้นงานจะถูกลดลงเพื่อให้ได้รูปร่างที่เหมาะสมของแผ่นชิ้นงาน ซึ่งรูปทรงแผ่นชิ้นงานถูกกำหนดเป็นรูข่ายคันติเช่นว่า จุดตามขอบแผ่นชิ้นงานไปถึงพร้อมกันที่ท่อว่างระหว่างด้วยที่จุด O_1 ถึงจุด I_1 บนปากด้วยและจุดโดยนัก O_2 ย้ายไปยังตำแหน่งสูกครั้ง Q_2 เราใช้จุดตัดของการขยายของเส้นตรง O_2Q_2 กับเส้นโค้งของปากด้วยเป็น I_2 จะได้นัยใหม่ของขอบแผ่นชิ้นงานอาจจะได้มาเป็น M_2

$$O_2M_2 = \frac{I_2Q_2}{DR} \quad (2.16)$$

โดยที่	O_2	คือ รัศมีชิ้นงานจริง
	M_2	คือ รัศมีชิ้นงานที่ผ่านการปรับแก้
	I_1	คือ ระยะขอบภายนอกของด้วย
	Q_2	คือ รอยคลื่นที่ขอบบนสุด
	DR	คือ อัตราส่วนการสาขาชิ้นรูป

รัศมีของแผ่นชิ้นงานทรงกลมเป็น $r_b = \text{OO}_2$ และรัศมีของรูปทรงที่เหมาะสมเป็น $r_{opt} = \text{OM}^2$
ความสูงของรอยตื้นเป็น $E(\phi) = \text{I}_2\text{Q}_2$ แต่ $\text{OM}^2 = \text{OO}_2 - \text{M}_2\text{O}_2$ จากนั้น

$$r_{opt} = r_b \frac{E(\phi)}{DR} \quad (2.17)$$

โดยที่ r_{opt} คือ ระยะรัศมีของแผ่นชิ้นงาน

r_b คือ รัศมีแผ่นชิ้นงาน

$E(\phi)$ คือ ความสูงครึ่ง

DR คือ อัตราส่วนการลากขึ้นรูป

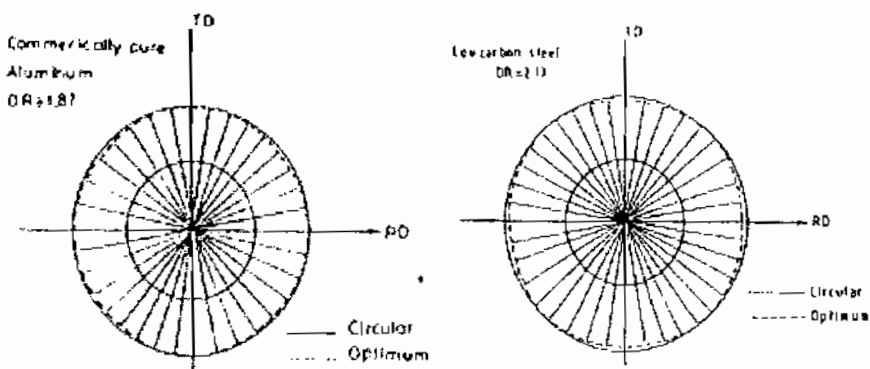
จากการวิเคราะห์ข้างต้นค่าแอนไโอโซทรอปิกเป็นสิ่งจำเป็นสำหรับการแยกจำแนกความแตกต่างระหว่างโลหะแผ่นที่แตกต่างกันในกระบวนการลากขึ้นรูปพิมพ์ล็อก ค่านี้จะสามารถแบ่งเป็น

$$RRM = \frac{R(\phi)_{max}}{R(\phi)_{min}} \quad (2.18)$$

โดยที่ RRM คือ อัตราส่วนขั้นต่ำของแอนไโอโซทรอปิกปกติ

$R(\phi)_{max}$ คือ ค่าสูงสุดของแอนไโอโซทรอปิก

$R(\phi)_{min}$ ค่าต่ำสุดของแอนไโอโซทรอปิก



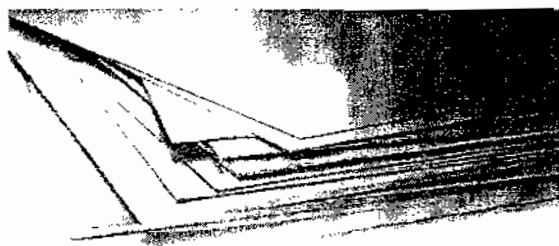
ภาพประกอบ 2.14 การปรับแก้ชิ้นงานแผ่นเปล่า ที่มา: (A.M. Zaky, A.B. Nassr and M.G. ElSebaie, 1997)

บทที่ 3

ขั้นตอนการดำเนินงาน

การเตรียมอุปกรณ์และชิ้นงานในการทดลอง

3.1 เหล็กกล้าไร้สนิม (SUS 304) ใช้เพื่อเป็นสัดส่วนเครื่องจักรและอุปกรณ์แปรรูปอาหาร (food processing equipment) เนื่องจากมีความแข็งแรงทนทาน และทนต่อการกัดกร่อน พื้นผิวสัมผัสกับอาหารได้ (food contact surface) มีความปลอดภัยและถูกสุขลักษณะทำความสะอาดง่าย เป็นกลางไม่ทำปฏิกิริยากับอาหาร



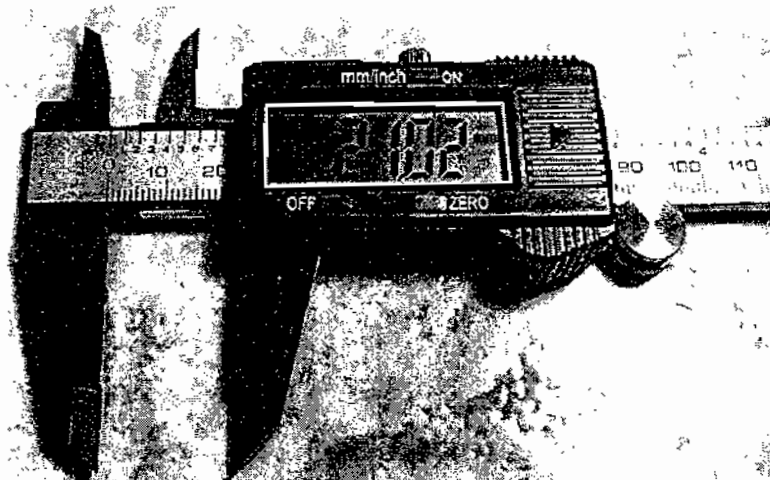
ภาพประกอบ 3.1 การเตรียมเหล็กกล้าไร้สนิม (SUS 304)

3.2 ตะไบแบบ ใช้ในการตะไบขอบของชิ้นงานที่จะทำการทดลอง เพื่อจะทำให้ผิวขอบชิ้นงานเรียบได้ขนาดและง่ายต่อการทดลองชิ้นงานในการลากขึ้นรูป



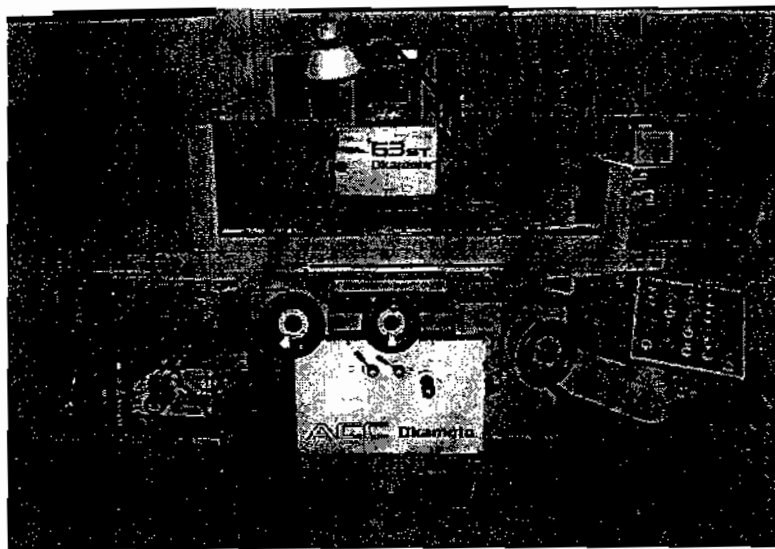
ภาพประกอบ 3.2 การเตรียมตะไบแบบ

3.3 เวอร์เนียคลิปเปอร์แบบดิจิตอล ยี่ห้อ mitutoyo ใช้ในการวัดชิ้นงานอะลูมิเนียม SUS304 ที่จะใช้ในการทดลอง ทั้งได้มิเตอร์และความหนาชิ้นงานใช้วัดค่าความละเอียดได้ 0.01 มิลลิเมตรเพื่อใช้ในการวัดชิ้นงานเบน汉น ๆ



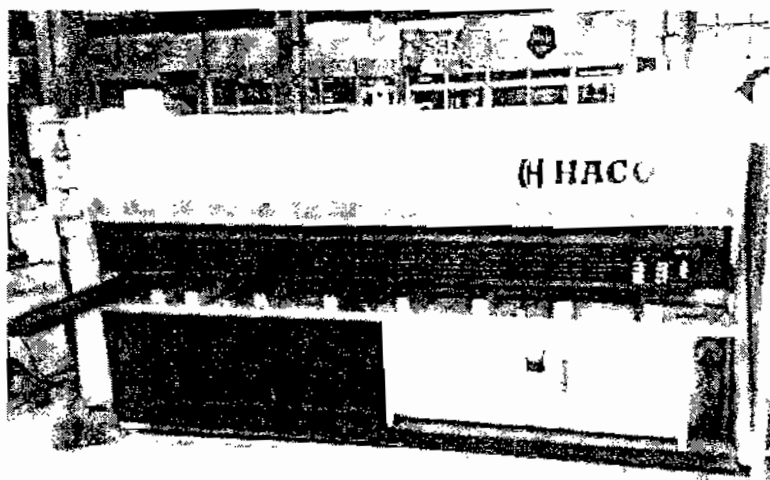
ภาพประกอบ 3.3 การเตรียมเวอร์เนียคลิปเปอร์แบบดิจิตอล

3.4 เครื่องเจียร์ในแนวราบ เพื่อขัดผิวแผ่นโลหะให้มีความเรียบ



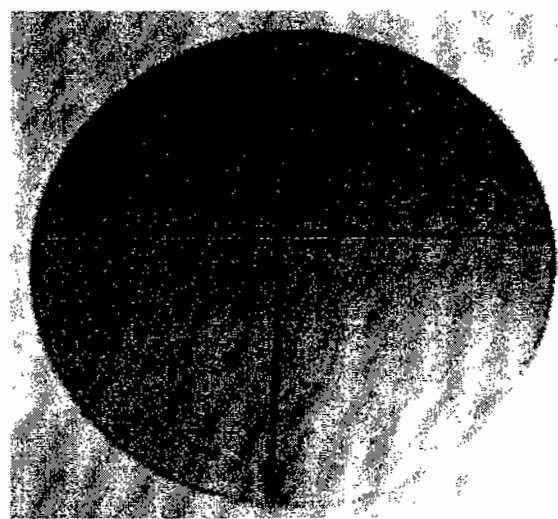
ภาพประกอบ 3.4 การเตรียมเครื่องเจียร์ใน

3.5 เครื่องตัดแผ่นโลหะ รุ่น HACO ใช้ในการตัดแผ่นสแตนเลส ให้ได้ขนาดขั้นงานที่เหมาะสม เพื่อ ใช้ในการลากขึ้นรูปแผ่นสแตนเลส



ภาพประกอบ 3.5 การเตรียมเครื่องตัดแผ่นโลหะ

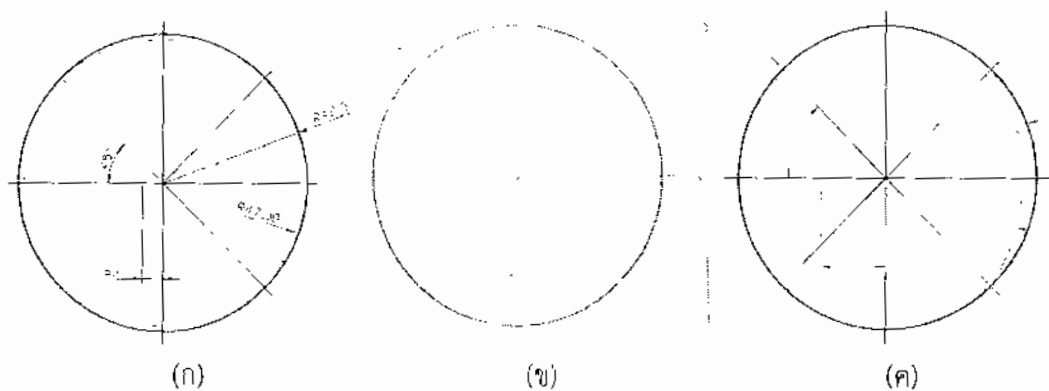
3.6 แผ่นขั้นงานสแตนเลส ถูกตัดด้วยเครื่องตัดแผ่นโลหะ รุ่น HACO ความหนา 2 มิลลิเมตร เส้นผ่านศูนย์กลาง 85 มิลลิเมตร



ภาพประกอบ 3.7 การเตรียมขั้นงานก่อนทำการตัดใบคลบมุน

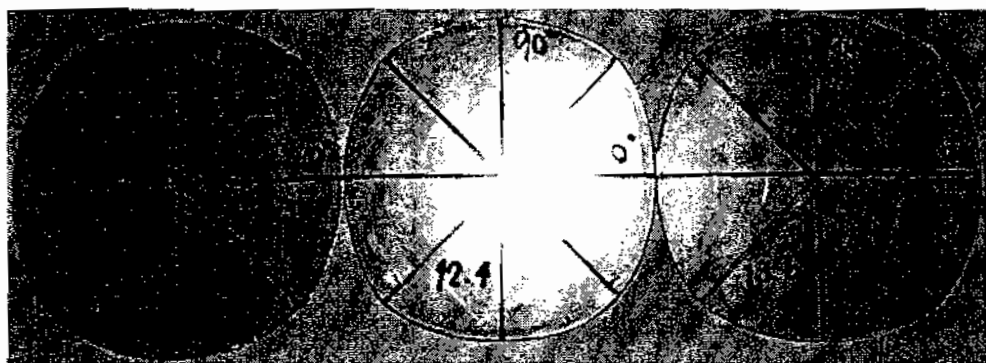
แผ่นชิ้นงานตามหุญวีและสมการของ Kishor N. และ Kumar D.R.

ทำการเขียนแบบด้วยโปรแกรม Auto Cad ให้มีขนาดเท่าชิ้นงานจริงคือเส้นผ่านศูนย์กลาง 85 มิลลิเมตร ตามภาพประกอบ 3.7 (ก) ย้ายจุดศูนย์กลางออกไป 6.2 มิลลิเมตร ตามทิศทางการรีด 0 องศา และ 90 องศา (ข) ย้ายจุดศูนย์กลางออกไป 12.4 มิลลิเมตร ตามทิศทางการรีด 0 องศาและ 90 องศา (ค) ย้ายจุดศูนย์กลางออกไป 18.6 มิลลิเมตร ตามทิศทางการรีด 0 องศาและ 90 องศา



ภาพประกอบ 3.7 แบบที่ทำการเขียนขึ้นมาจากการโปรแกรม Auto Cad (Kishor N. และ Kumar D.R.)

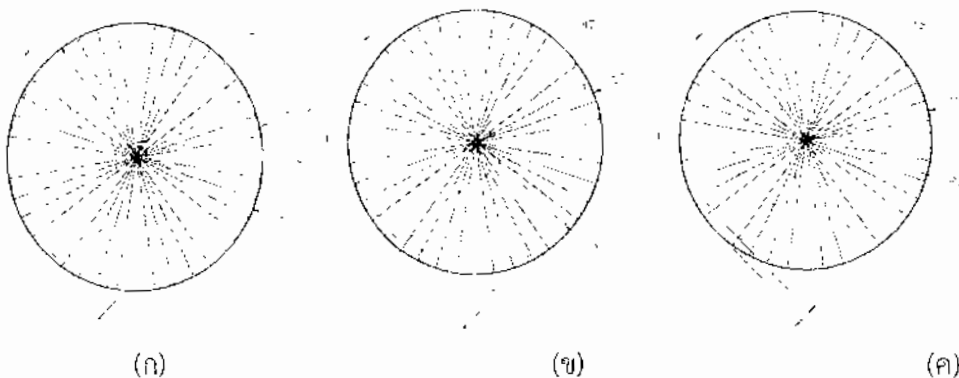
ติดแบบลงไปบนแผ่นชิ้นงาน แล้วทำการตะปบชิ้นงานออกจนไปถึงรอยเส้นประที่อยู่ในแบบ ทำให้ครบทั้ง 4 ด้าน ดังภาพประกอบที่ 3.8



ภาพประกอบ 3.8 ชิ้นงานที่ได้ผ่านการตะปบจนไปถึงรอยเส้นประแล้ว (Kishor N. และ Kumar D.R.)

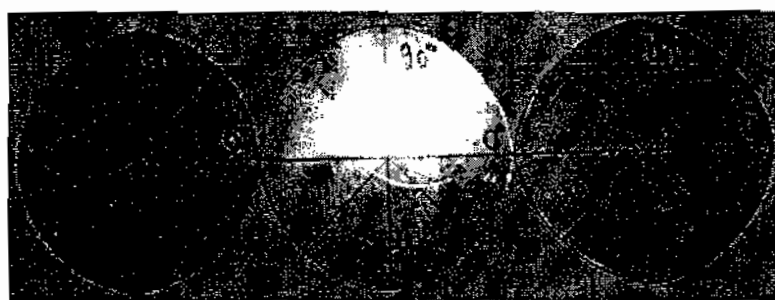
ແຜ່ນຂັ້ນຈານດາມທຸກຝີແລະສ່າງຂອງ A.M. Zaky, A.B. Nassr and M.G. El-Sebaie

ທຳການເຂົ້ານແບບດ້ວຍໂປຣແກຣມ Auto Cad ໃຫ້ມີຂັ້ນຈານທີ່ຈົດຕະວິດສັນພ່ານຫຼຸງກລາງ 85 ມີລັບມືດ ຕາມກາພປະກອບທີ່ 3.9 (ກ) ທຳການລົດຂັ້ນຈານທີ່ຈົດຕະວິດ 45 ອົງຄາ ລົງມາ 1.2 ມີລັບມືດຈາກຂອບຂັ້ນຈານ (ຂ) ທຳການລົດຂັ້ນຈານທີ່ຈົດຕະວິດ 45 ອົງຄາ ລົງມາ 2.4 ມີລັບມືດຈາກຂອບຂັ້ນຈານ (ຄ) ທຳການລົດຂັ້ນຈານທີ່ຈົດຕະວິດ 45 ອົງທາ ລົງມາ 3.6 ມີລັບມືດຈາກຂອບຂັ້ນຈານ



ກາພປະກອບ 3.9 ແບບທີ່ທຳການເຂົ້ານຂັ້ນຈານໄປໂປຣແກຣມ Auto Cad (A.M. Zaky, A.B. Nassr and M.G. El-Sebaie)

ດີດແບບສົງໄປບົນແຜ່ນຂັ້ນຈານ ແລ້ວທຳການຕະໄບຂັ້ນຈານອອກຈນໄປດຶງຮອຍເສັນປະທິວູໃນແບບ ທຳໃໝ່ ຄຽບທັງ 4 ດ້ານ ຕັ້ງກາພປະກອບທີ່ 3.10



ກາພປະກອບ 3.10 ຂັ້ນຈານທີ່ໄດ້ຜ່ານການຕະໄບຈນໄປດຶງຮອຍເສັນປະແລ້ວ (A.M. Zaky, A.B. Nassr and M.G. El-Sebaie)

วิธีการวิจัยและดำเนินการ

ทำการศึกษาปัจจุบันและแนวทางการวิจัย

ทำการศึกษาและรวบรวมข้อมูลที่เกี่ยวข้องกับการวิจัย

ทำการออกแบบชิ้นงานตามที่เราต้องการคือ

- 1) ชิ้นงานขนาดเส้นผ่านศูนย์กลาง 85 มิลลิเมตร ความหนา 2 มิลลิเมตร
- 2) ชิ้นงานขนาดเส้นผ่านศูนย์กลาง 85 มิลลิเมตร ความหนา 2 มิลลิเมตร การปรับเปลี่ยนรูปร่างชิ้นงานแผ่นเปล่าตามสมการของ Kishor N. และ Kumar D.R. โดยการย้ายจุดศูนย์กลาง 6.2 มิลลิเมตร ในทิศทางการรีด 0 และ 90 องศา
- 3) ชิ้นงานขนาดเส้นผ่านศูนย์กลาง 85 มิลลิเมตร ความหนา 2 มิลลิเมตร การปรับเปลี่ยนรูปร่างชิ้นงานแผ่นเปล่าตามสมการของ Kishor N. และ Kumar D.R. โดยการย้ายจุดศูนย์กลาง 12.4 มิลลิเมตร ในทิศทางการรีด 0 และ 90 องศา
- 4) ชิ้นงานขนาดเส้นผ่านศูนย์กลาง 85 มิลลิเมตร ความหนา 2 มิลลิเมตร การปรับเปลี่ยนรูปร่างชิ้นงานแผ่นเปล่าตามสมการของ Kishor N. และ Kumar D.R. โดยการย้ายจุดศูนย์กลาง 18.6 มิลลิเมตร ในทิศทางการรีด 0 และ 90 องศา
- 5) การปรับเปลี่ยนรูปร่างชิ้นงานแผ่นเปล่าตามสมการของ A.M. Zaky, A.B. Nassr และ M.G. El-Sebaie โดยการปรับลดขนาดจากขอบของชิ้นงาน 1.2 มิลลิเมตร ในทิศทางการรีด 45 องศา
- 6) การปรับเปลี่ยนรูปร่างชิ้นงานแผ่นเปล่าตามสมการของ A.M. Zaky, A.B. Nassr และ M.G. El-Sebaie โดยการปรับลดขนาดจากขอบของชิ้นงาน 2.4 มิลลิเมตร ในทิศทางการรีด 45 องศา
- 7) การปรับเปลี่ยนรูปร่างชิ้นงานแผ่นเปล่าตามสมการของ A.M. Zaky, A.B. Nassr และ M.G. El-Sebaie โดยการปรับลดขนาดจากขอบของชิ้นงาน 3.6 มิลลิเมตร ในทิศทางการรีด 45 องศา

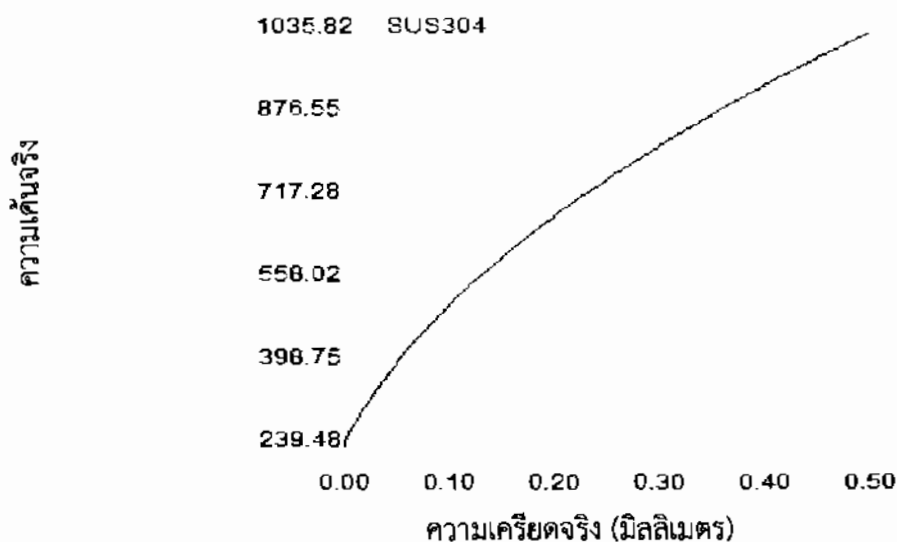
บทที่ 4

ผลและการวิเคราะห์ผลการทดสอบ

ผลการศึกษาเงื่อนไขและปัจจัย

การศึกษาการเปลี่ยนแปลงรูปร่างชิ้นงานเริ่มต้น ที่มีผลต่อการเกิดรอยคลื่นที่น้อยที่สุดของถ้วย ทรงกระบอกในกระบวนการらくขึ้นรูปลีก ซึ่งจะเกิดความไม่สม่ำเสมอของขอบถ้วยเป็นพื้นที่ 4 หู หรือที่เรียกว่าเอียริง (Earing) เป็นส่วนที่ไม่ต้องการ เพราะต้องเพิ่มชั้นตอนในการตัดเอาส่วนนี้ออก ทำให้สิ้นเปลืองวัสดุ รวมถึงความหนาของผนังถ้วยจะทำให้มีเท่ากัน เอียริงเกิดจากสมบัติทางด้านพิศทักษะของวัสดุ ความสูงของวัสดุจะเพิ่มขึ้นเมื่อโลหะแผ่นมีค่า Planer anisotropyสูง โลหะแผ่นซึ่งผ่านกระบวนการการรีดโลหะจะมีสมบัติเฉพาะทางด้านพิศทักษะคือความสามารถในการรับแรงและการยืดตัวจะไม่เท่ากันในแต่ละพิศทักษะค่าความสามารถในการยืดตัวหรือหดตัวในแต่ละพิศทักษะแสดงโดยค่า Plastic strain ratio (r) ดังนั้นในโครงงานวิจัยชุดนี้จึงได้มุ่งเน้นที่จะศึกษาขนาดของแผ่นเหล็กที่เหมาะสม ก่อนการปรับเปลี่ยนรูปร่างเพื่อลดขั้นตอนในการตัดส่วนปลายขอบถ้วยทึ้งไป โดยการศึกษาด้วยโปรแกรมไฟโนเอลิเมนต์ ก่อนการทดลองจริง ซึ่งเป็นหนทางหนึ่งที่ทำให้ต้นทุนการผลิตของโรงงานสามารถลดลงได้

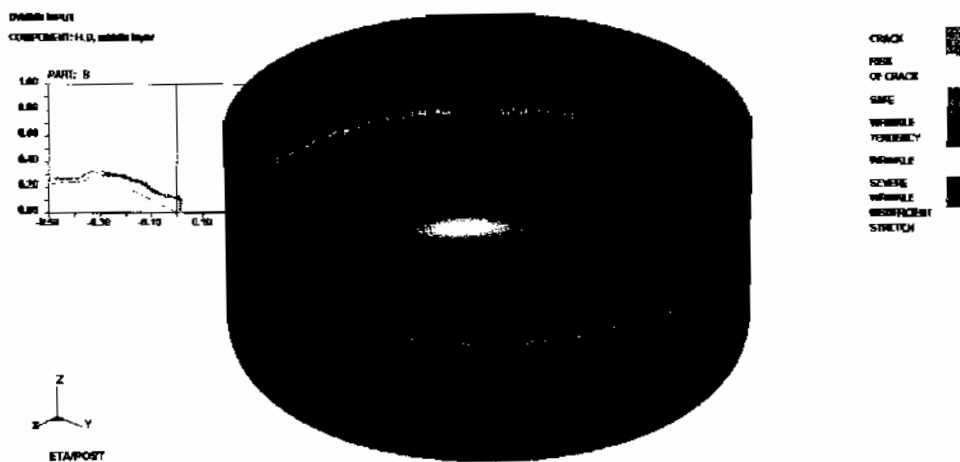
4.1 ความเค้นและความเครียดที่แท้จริง



ภาพประกอบ 4.1 ความสัมพันธ์ระหว่างความเค้นจริงและความเครียดจริง

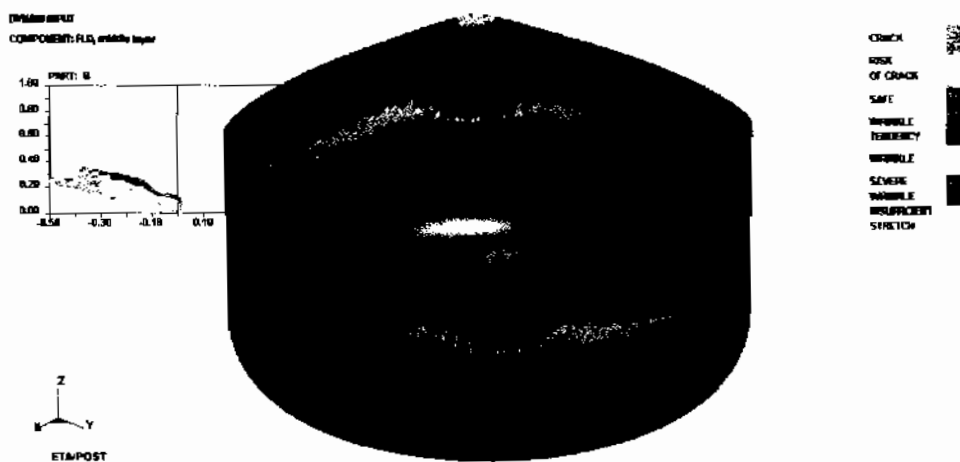
4.2 ขีดจำกัดการลอกขึ้นรูปสิ่งที่มีผลต่อวัสดุเหล็กกล้าไร้สนิม SUS 304

4.2.1 ขนาดเส้นผ่านศูนย์กลางแผ่นเปล่า 85 มิลลิเมตร ความหนา 2 มิลลิเมตร



ภาพประกอบ 4.2 กราฟแสดงขีดจำกัดการลอกขึ้นรูปแผ่นเปล่าเส้นผ่านศูนย์กลาง 85 มิลลิเมตร

4.2.2 ขนาดเส้นผ่านศูนย์กลางแผ่นเปล่า 85 มิลลิเมตร ลงมุมที่ทิศทางการรีด 0 และ 90 องศา ทำการย้ายจุดศูนย์กลาง 6.2 มิลลิเมตร (ทฤษฎีของ Kishor N. และ Kumar D.R.)



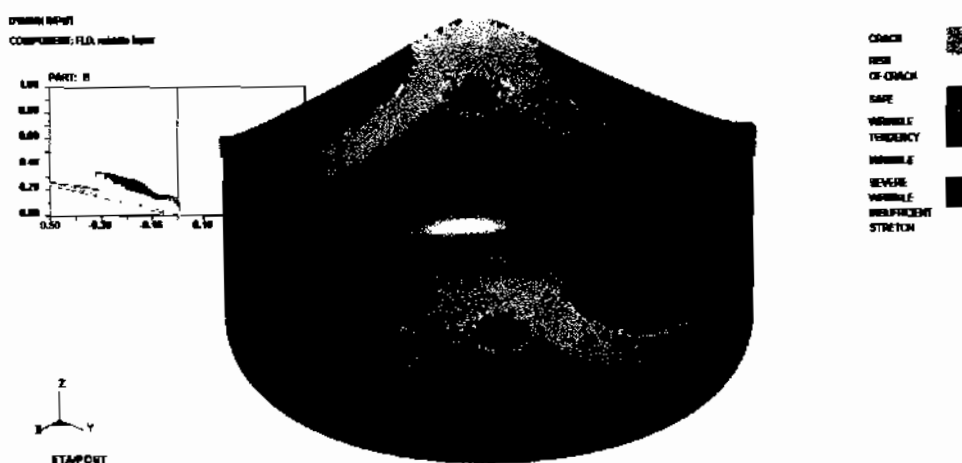
ภาพประกอบ 4.3 กราฟแสดงขีดจำกัดการลอกขึ้นรูปแผ่นเปล่าเส้นผ่านศูนย์กลาง 85 มิลลิเมตร ลงมุมที่ทิศทางการรีด 0 และ 90 องศา ย้ายจุดศูนย์กลาง 6.2 มิลลิเมตร

4.2.3 ขนาดเส้นผ่านศูนย์กลางแผ่นเปล่า 85 มิลลิเมตร ลบมุมที่ทิศทางการรีด 0 และ 90 องศา ทำการย้ายจุดศูนย์กลาง 12.4 มิลลิเมตร (ทฤษฎีของ Kishor N. และ Kumar D.R.)



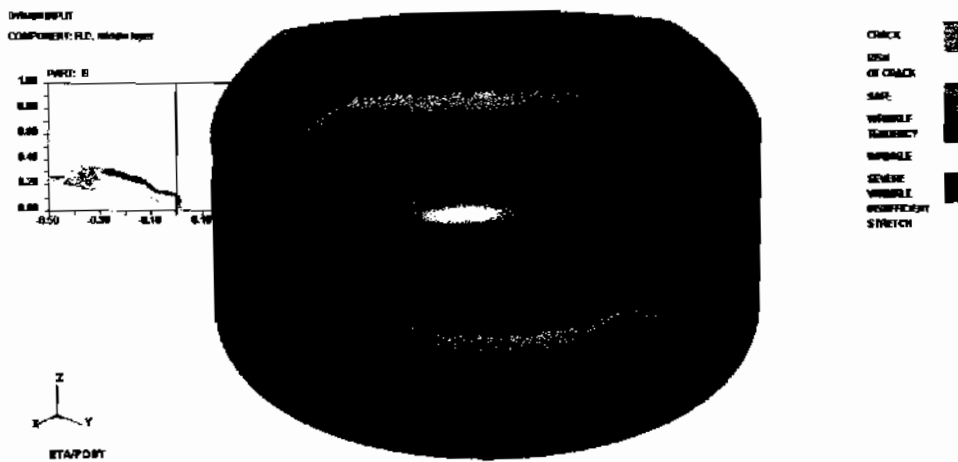
ภาพประกอบ 4.4 กราฟแสดงขีดจำกัดการลากขึ้นรูปแผ่นเปล่าเส้นผ่านศูนย์กลาง 85 มิลลิเมตร ลบมุมที่ทิศทางการรีด 0 และ 90 องศา ย้ายจุดศูนย์กลาง 12.4 มิลลิเมตร

4.2.4 ขนาดเล็บผ่านศูนย์กลางแผ่นเปล่า 85 มิลลิเมตร ลบมุมที่ทิศทางการรีด 0 และ 90 องศา ทำการย้ายจุดศูนย์กลาง 18.6 มิลลิเมตร (ทฤษฎีของ Kishor N. และ Kumar D.R.)



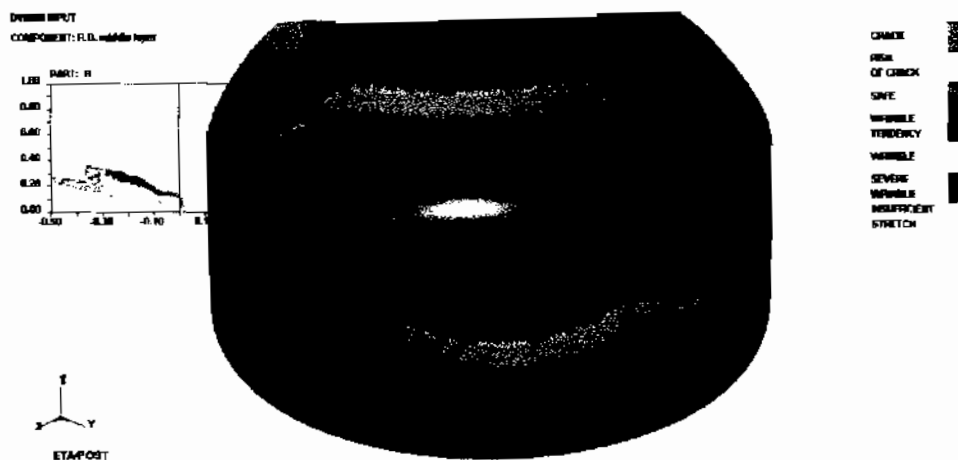
ภาพประกอบ 4.5 กราฟแสดงขีดจำกัดการลากขึ้นรูปแผ่นเปล่าเส้นผ่านศูนย์กลาง 85 มิลลิเมตร ลบมุมที่ทิศทางการรีด 0 และ 90 องศา ย้ายจุดศูนย์กลาง 18.6 มิลลิเมตร

4.2.5 ขนาดเส้นผ่านศูนย์กลางแผ่นเปล่า 85 มิลลิเมตร ลบมุนที่ทิศทางการรีด 45 องศา จากจุดขอบของชิ้นงาน 1.2 มิลลิเมตร (ทฤษฎีของ A.M. Zaky, A.B. Nassr และ M.G. El-Sebaie)



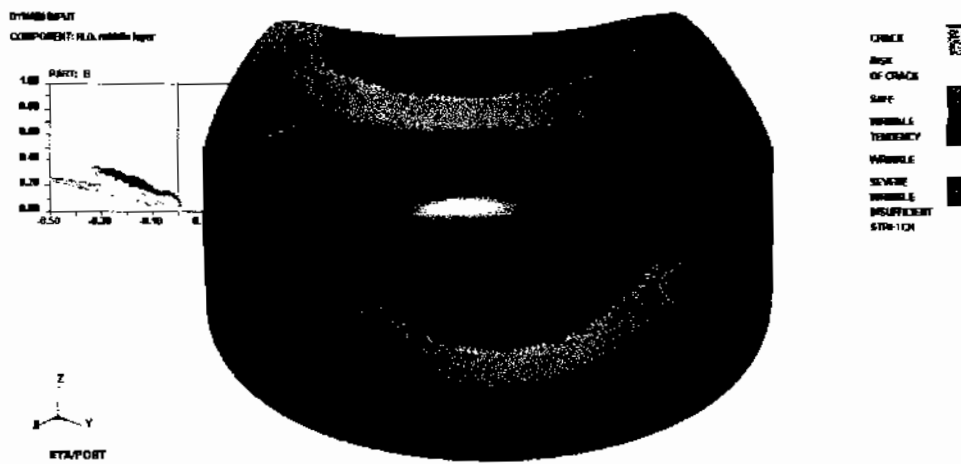
ภาพประกอบ 4.6 กราฟแสดงขีดจำกัดการลากขึ้นรูปแผ่นเปล่าเส้นผ่านศูนย์กลาง 85 มิลลิเมตร ลบมุนที่ทิศทางการรีด 45 องศา จากจุดขอบของชิ้นงาน 1.2 มิลลิเมตร

4.2.6 ขนาดเส้นผ่านศูนย์กลางแผ่นเปล่า 85 มิลลิเมตร ลบมุนที่ทิศทางการรีด 45 องศา จากจุดขอบของชิ้นงาน 2.4 มิลลิเมตร (ทฤษฎีของ A.M. Zaky, A.B. Nassr และ M.G. El-Sebaie)



ภาพประกอบ 4.7 กราฟแสดงขีดจำกัดการลากขึ้นรูปแผ่นเปล่าเส้นผ่านศูนย์กลาง 85 มิลลิเมตร ลบมุนที่ทิศทางการรีด 45 องศา จากจุดขอบของชิ้นงาน 2.4 มิลลิเมตร

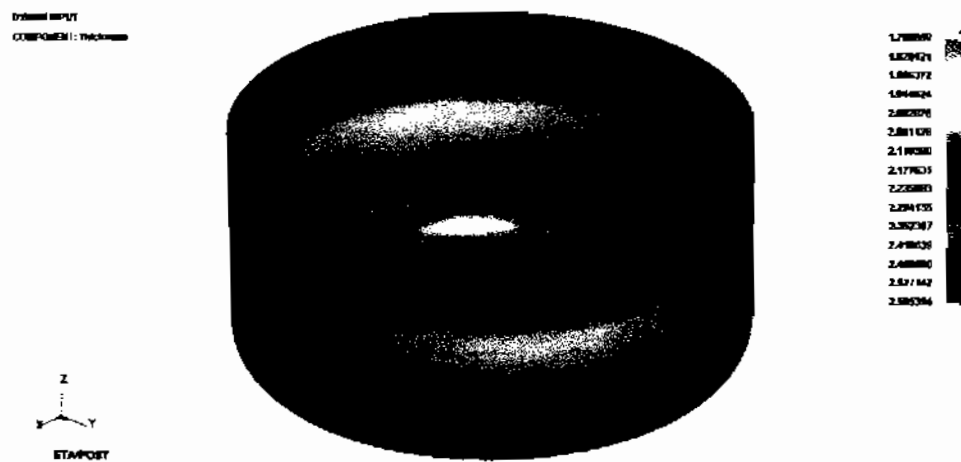
4.2.7 ขนาดเส้นผ่านศูนย์กลางแผ่นเปล่า 85 มิลลิเมตร ลงมุนที่ทิศทางการรีด 45 องศา จากจุดขอบของชิ้นงาน 3.6 มิลลิเมตร (ทฤษฎีของ A.M. Zaky, A.B. Nassr และ M.G. El-Sebaie)



ภาพประกอบ 4.8 กราฟแสดงขีดจำกัดการลากขึ้นรูปแผ่นเปล่าเส้นผ่านศูนย์กลาง 85 มิลลิเมตร ลงมุนที่ทิศทางการรีด 45 องศา จากจุดขอบของชิ้นงาน 3.6 มิลลิเมตร

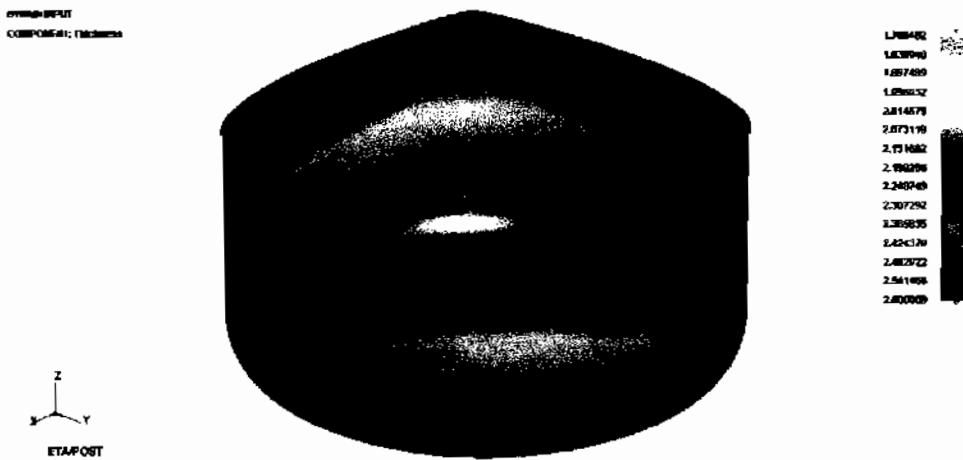
4.3 ผลวิเคราะห์การเปลี่ยนแปลงความหนาของผนังชิ้นงาน

4.3.1 ขนาดเส้นผ่านศูนย์กลางแผ่นเปล่า 85 มิลลิเมตร



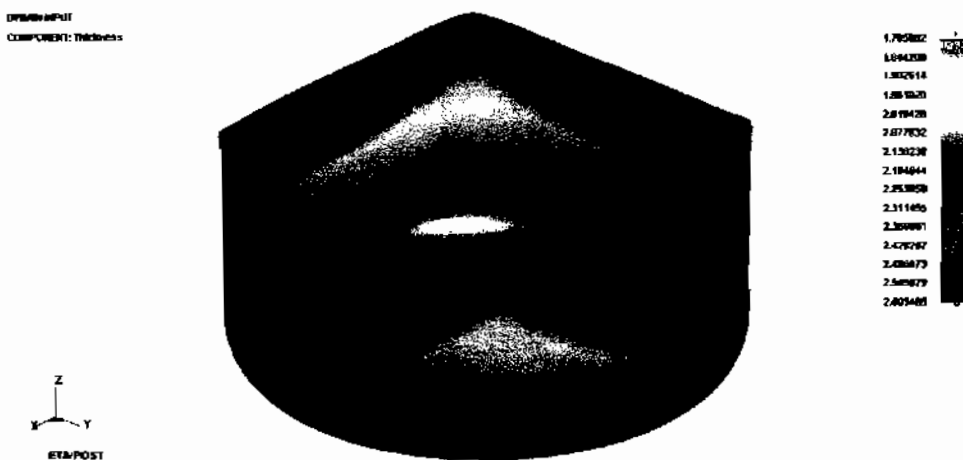
ภาพประกอบ 4.9 การเปลี่ยนแปลงความหนาของผนังชิ้นงานขนาดเส้นผ่านศูนย์กลางแผ่นเปล่า 85 มิลลิเมตร

4.3.2 ขนาดเส้นผ่านศูนย์กลางแผ่นเปล่า 85 มิลลิเมตร ลบมุ่มที่ทิศทางการรีด 0 และ 90 องศา ทำการย้ายจุดศูนย์กลาง 6.2 มิลลิเมตร (ทฤษฎีของ Kishor N. และ Kumar D.R.)



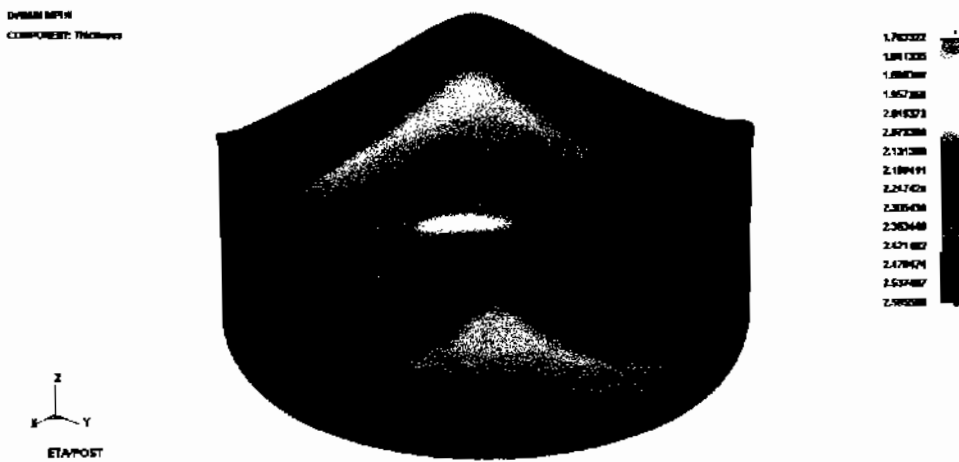
ภาพประกอบ 4.10 การเปลี่ยนแปลงความหนาของผังชิ้นงานขนาดเส้นผ่านศูนย์กลางแผ่นเปล่า 85 มิลลิเมตร ลบมุ่มที่ทิศทางการรีด 0 และ 90 องศา ย้ายจุดศูนย์กลาง 6.2 มิลลิเมตร

4.3.3 ขนาดเส้นผ่านศูนย์กลางแผ่นเปล่า 85 มิลลิเมตร ลบมุ่มที่ทิศทางการรีด 0 และ 90 องศา ทำการย้ายจุดศูนย์กลาง 12.4 มิลลิเมตร (ทฤษฎีของ Kishor N. และ Kumar D.R.)



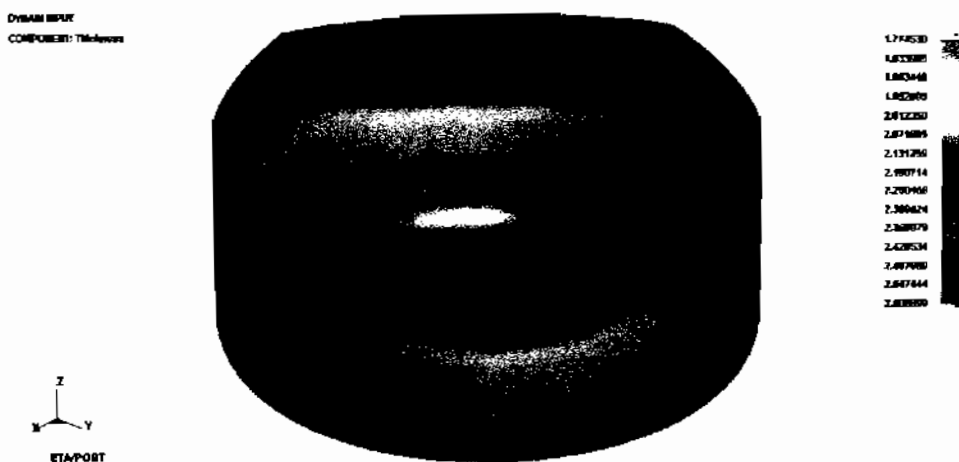
ภาพประกอบ 4.11 การเปลี่ยนแปลงความหนาของผังชิ้นงานขนาดเส้นผ่านศูนย์กลางแผ่นเปล่า 85 มิลลิเมตร ลบมุ่มที่ทิศทางการรีด 0 และ 90 องศา ย้ายจุดศูนย์กลาง 12.4 มิลลิเมตร

4.3.4 ขนาดเส้นผ่านศูนย์กลางแผ่นเปล่า 85 มิลลิเมตร ลบมุ่มที่ทิศทางการรีด 0 และ 90 องศา ทำการย้ายจุดศูนย์กลาง 18.6 มิลลิเมตร (ทฤษฎีของ Kishor N. และ Kumar D.R.)



ภาพประกอบ 4.12 การเปลี่ยนแปลงความหนาของผังชิ้นงานขนาดเส้นผ่านศูนย์กลางแผ่นเปล่า 85 มิลลิเมตร ลบมุ่มที่ทิศทางการรีด 0 และ 90 องศา ย้ายจุดศูนย์กลาง 18.6 มิลลิเมตร

4.3.5 ขนาดเส้นผ่านศูนย์กลางแผ่นเปล่า 85 มิลลิเมตร ลบมุ่มที่ทิศทางการรีด 45 องศา จากจุดขอบของชิ้นงาน 1.2 มิลลิเมตร (ทฤษฎีของ A.M. Zaky, A.B. Nassr และ M.G. El-Sebaie)



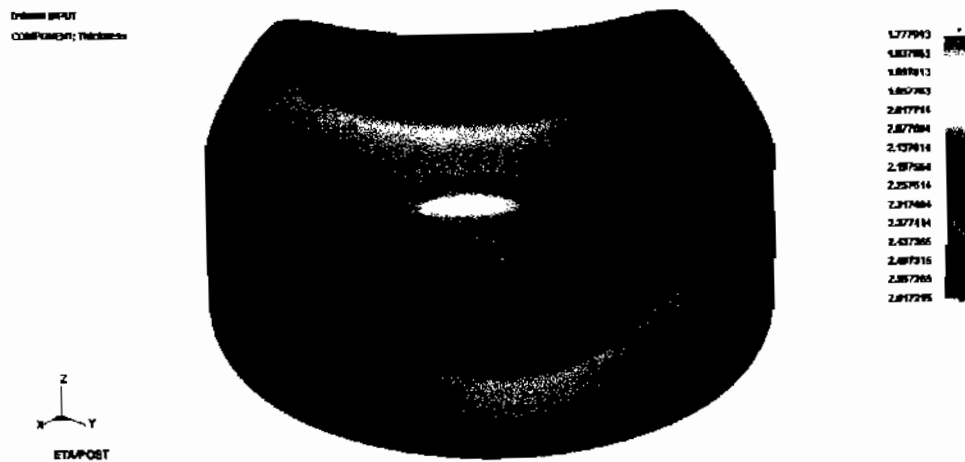
ภาพประกอบ 4.13 การเปลี่ยนแปลงความหนาของผังชิ้นงานขนาดเส้นผ่านศูนย์กลางแผ่นเปล่า 85 มิลลิเมตร ลบมุ่มที่ทิศทางการรีด 45 องศา จากจุดขอบของชิ้นงาน 1.2 มิลลิเมตร

4.3.6 ขนาดเส้นผ่านศูนย์กลางแผ่นเปล่า 85 มิลลิเมตร ลบมุมที่พิเศษทางการรีด 45 องศา จากจุดขอบของชิ้นงาน 2.4 มิลลิเมตร (ทฤษฎีของ A.M. Zaky, A.B. Nassr และ M.G. El-Sebaie)



ภาพประกอบ 4.14 การเปลี่ยนแปลงความหนาของผังชิ้นงานขนาดเส้นผ่านศูนย์กลางแผ่นเปล่า 85 มิลลิเมตร ลบมุมที่พิเศษทางการรีด 45 องศา จากจุดขอบของชิ้นงาน 2.4 มิลลิเมตร

4.3.7 ขนาดเส้นผ่านศูนย์กลางแผ่นเปล่า 85 มิลลิเมตร ลบมุมที่พิเศษทางการรีด 45 องศา จากจุดขอบของชิ้นงาน 3.6 มิลลิเมตร (ทฤษฎีของ A.M. Zaky, A.B. Nassr และ M.G. El-Sebaie)



ภาพประกอบ 4.15 การเปลี่ยนแปลงความหนาของผังชิ้นงานขนาดเส้นผ่านศูนย์กลางแผ่นเปล่า 85 มิลลิเมตร ลบมุมที่พิเศษทางการรีด 45 องศา จากจุดขอบของชิ้นงาน 3.6 มิลลิเมตร

บทที่ 5

สรุปผลและข้อเสนอแนะ

สรุปผลการศึกษา

จากการจำลองด้วยโปรแกรมไฟโนเอลิเมนต์ เพื่อศึกษาการเกิดรอยคลื่นที่ขอบปลายถ้วยทรงกระบอก ด้วยวิธีการปรับเปลี่ยนลักษณะรูปร่างแผ่นเปล่าให้มีความเหมาะสมของกระบวนการลากขึ้นรูปสัก ทั้งนี้เพื่อให้ได้ชิ้นงานสำเร็จที่มีคุณภาพและลดขั้นตอนการผลิต ซึ่งจะสามารถทำให้ลดต้นทุนการผลิตลงได้เกิดผลตีแก่ลักษณะประภากอง การผลการทดลองสรุปได้ดังนี้

1. เหล็กกล้าไร้สนิม SUS 304 ทิศทางการรีดที่ 90 องศา มีผลกระทบมากกว่าทิศทางการรีดที่ 45 องศา
2. รูปร่างแผ่นเปล่าที่ถูกปรับเปลี่ยนจากวงกลมเป็นรูปร่างที่เหมาะสมด้วยกระบวนการลากขึ้นรูป จะทำให้ความลึกของรอยคลื่นดันขึ้น
3. การปรับเปลี่ยนรูปร่างแผ่นเปล่าที่เหมาะสมด้วยกระบวนการลากขึ้นรูปถ้วยโดยสมการของ A.M. Zaky, A.B. Nassr และ M.G. El-Sebaie จะทำให้รอยคลื่นบนขอบปลายถ้วยมีความตื้นมากกว่าสมการของ Kishor N. และ Kumar D.R.
4. จากทั้งสองหฤทัยที่นำมาเปรียบเทียบ เมื่อเทียบทำการปรับเปลี่ยนรูปร่างชิ้นงานให้ลดลงตามทิศทางการรีดก็ยิ่งทำให้เกิดริ้วรอย(Wrinkle)เพิ่มมากขึ้น แต่รอยแตก(Crack)ลดลง
5. จากสมการของ A.M. Zaky, A.B. Nassr และ M.G. El-Sebaie ทิศทางการรีด 45 องศา เมื่อทำการลดขนาดมากกว่า 2.4 มิลลิเมตร จะทำให้ความหนาของผนังชิ้นงานลดลง เช่นเดียวกับสมการของ Kishor N. และ Kumar D.R. ทิศทางการรีด 0 องศา และ 90 องศา เมื่อทำการลดขนาดมากกว่า 12.4 มิลลิเมตร จะทำให้ความหนาของผนังชิ้นงานลดลง

ข้อเสนอแนะ

เนื่องจากการทดลองในครั้งนี้ได้ทำการทดลองโดยการใช้โปรแกรมคำนวณทางคอมพิวเตอร์ เพียงอย่างเดียว ทำให้ไม่ได้ผลของการเปรียบเทียบระหว่างการใช้โปรแกรมคำนวณทางคอมพิวเตอร์และ การทดลองจริง จึงทำให้ไม่ได้ทราบถึงอุปสรรคและปัญหาที่เกิดขึ้นจริง

บรรณานุกรม

บรรณานุกรม

- ยังคงศักดิ์ ธรรมโขติ. โลหวิทยา พิมพ์ครั้งที่ 1. กรุงเทพฯ : สำนักพิมพ์จุฬาลงกรณ์, 2556.
- วรุณ พลบุพพา และคณะ. รูปร่างที่เหมาะสมของชิ้นงานในการออกแบบแม่พิมพ์ชิ้นรูปลักษณ์ ปริญญาบัณฑิต วศ.บ. ขอนแก่น : มหาวิทยาลัยขอนแก่น, 2553.
- พิทักษ์ โสนีราช และวีระพงษ์ ปลื้มขัยภูมิ. อิทธิพลของรัศมีพื้นที่และด้วยต่อคุณภาพชิ้นงานในกระบวนการผลิตชิ้นรูป. ปริญญาบัณฑิต วศ.บ. มหาสารคาม : มหาวิทยาลัยมหาสารคาม, 2555.
- Kishor N. and Kumar D.R. "Optimization of initial blank shape to minimize earing in deep drawing using finite element method". Journal of Materials Processing Technology 2002; 130-131: 20-30.
- Zaky A.M et al. "Optimum blank shape of cylindrical cups in deep drawing of anisotropic sheet metals". Journal of Materials Processing Technology 1998, 76: 203-211.

ภาคผนวก

ภาคผนวก ก

การคำนวณและแบบงานผลิตภัณฑ์ที่ใช้ในการศึกษา

การคำนวณ

1. ขนาดเส้นผ่านศูนย์กลางแผ่นเปล่า 85 มิลลิเมตร ความหนา 2 มิลลิเมตร

2. หาขนาดอัตราส่วนการดึงขึ้นรูป

$$\begin{aligned} \text{Ratio (Drawing } \beta) &= \frac{d_0}{d_1} \\ &= \frac{85}{45} = 1.89 \end{aligned}$$

3. หาระยะห่างระหว่างช่องว่างแม่พิมพ์

$$\begin{aligned} CL &= T + 0.07 \sqrt{10T} \\ &= 2 + 0.07 \sqrt{10(2)} = 2.31 \text{ mm.} \end{aligned}$$

4. แรงในการจับยืดชิ้นงาน

$$\begin{aligned} P_{BH} &= 10^{-3} c [(\beta - 1)^3 + \frac{0.005d_0}{T} \sigma_u] \\ &= 10^{-3} \times 2.31 [(1.89 - 1)^3 + \frac{0.005 \times 85}{2} \times 515] \\ &= 1.09 \text{ N/mm}^2 \end{aligned}$$

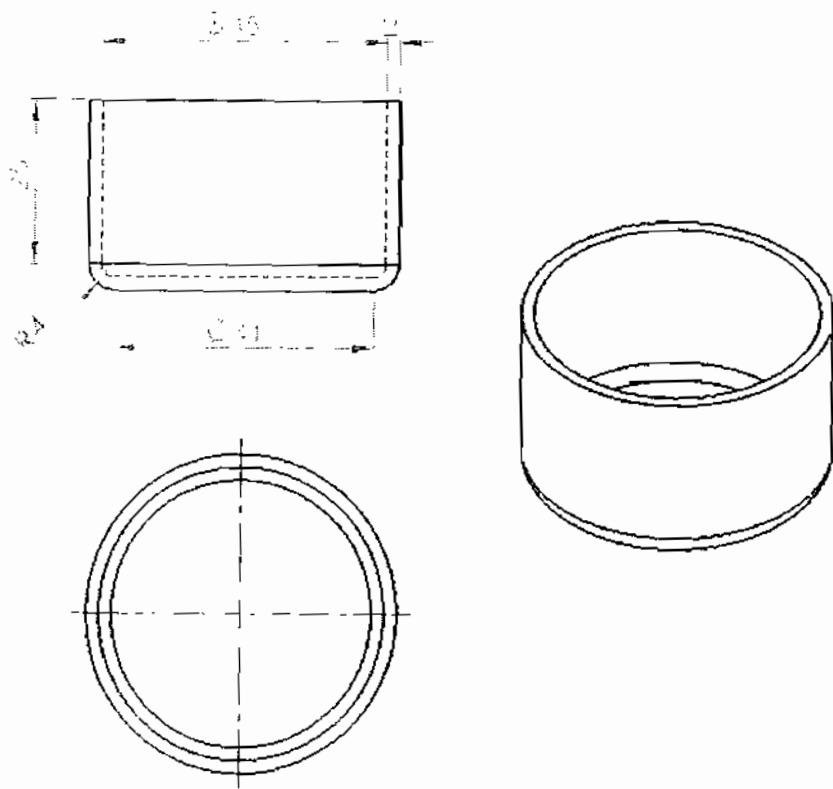
$$\begin{aligned} A_{BH} &= \frac{\pi d_0^2}{4} - \frac{\pi d_1^2}{4} \\ &= \frac{\pi(85)^2}{4} - \frac{\pi(45)^2}{4} = 4084.07 \text{ mm}^2 \end{aligned}$$

$$\begin{aligned} F_{BH} &= P_{BH} \times A_{BH} \\ &= 1.09 \times 4084.07 = 4453.26 \text{ N} \end{aligned}$$

5. รัศมีพื้นที่และรัศมีด้าย

$$\begin{aligned} R_D &= 0.035 [50 + (d_0 - d_1)] \sqrt{T} \\ &= 0.035 [50 + (85 - 45)] \sqrt{2} \\ &= 4 \text{ mm} \end{aligned}$$

แบบงานผลิตวัสดุที่ใช้ศึกษา

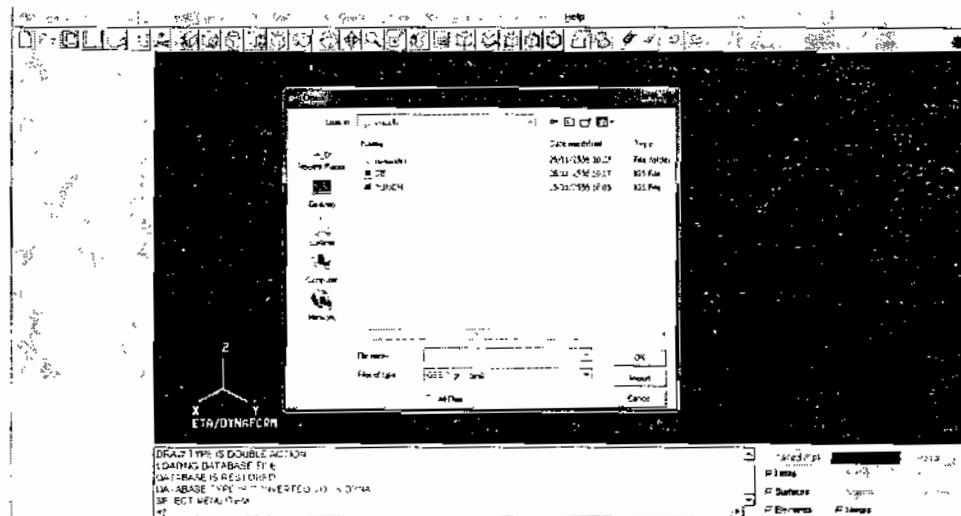


ภาคบุนเดศ
การใช้งานโปรแกรมคำนวณทางคณิตศาสตร์

วิธีการสร้างแบบจำลองสำหรับกระบวนการลากขึ้นรูปโดยใช้โปรแกรมคำนวณทางคอมพิวเตอร์ ประกอบด้วยขั้นตอน ดังนี้

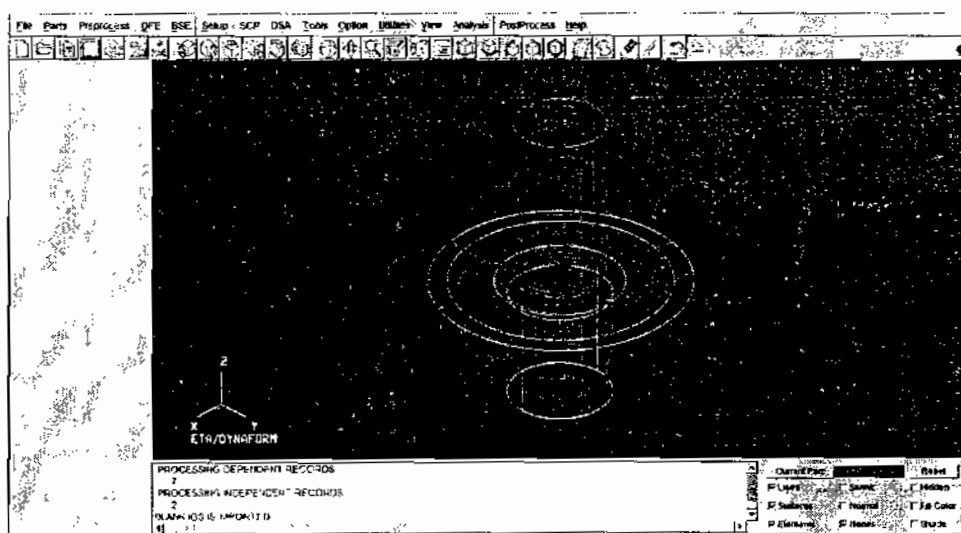
1. ทำการสร้างแบบจำลองที่ใช้เป็นแม่พิมพ์และชิ้นงาน

Run โปรแกรมที่คำว่า Dynaform.exe เมื่อเปิดโปรแกรมเสร็จแล้ว ให้คลิก Import เพื่อที่จะเลือก Punch และคลิก Import ส่วน Die และ Blank ทำเข่นเดียวกันตามลำดับ



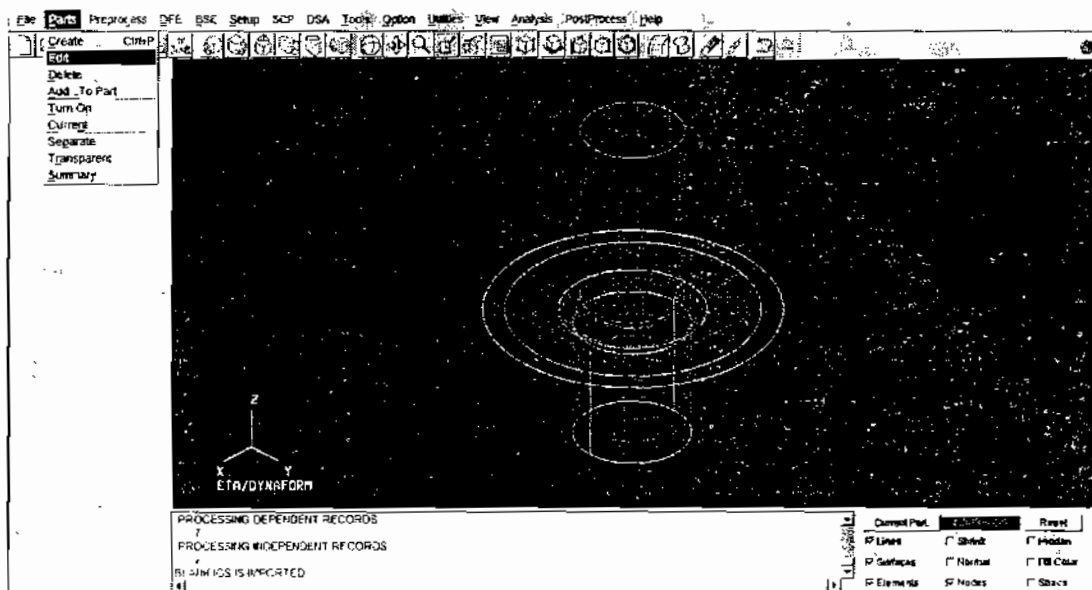
ภาพประกอบ ข.1 การ Import Punch Die และ Blank

เมื่อคลิกเลือกจนครบแล้วจะปรากฏตั้งภาพด้านล่าง



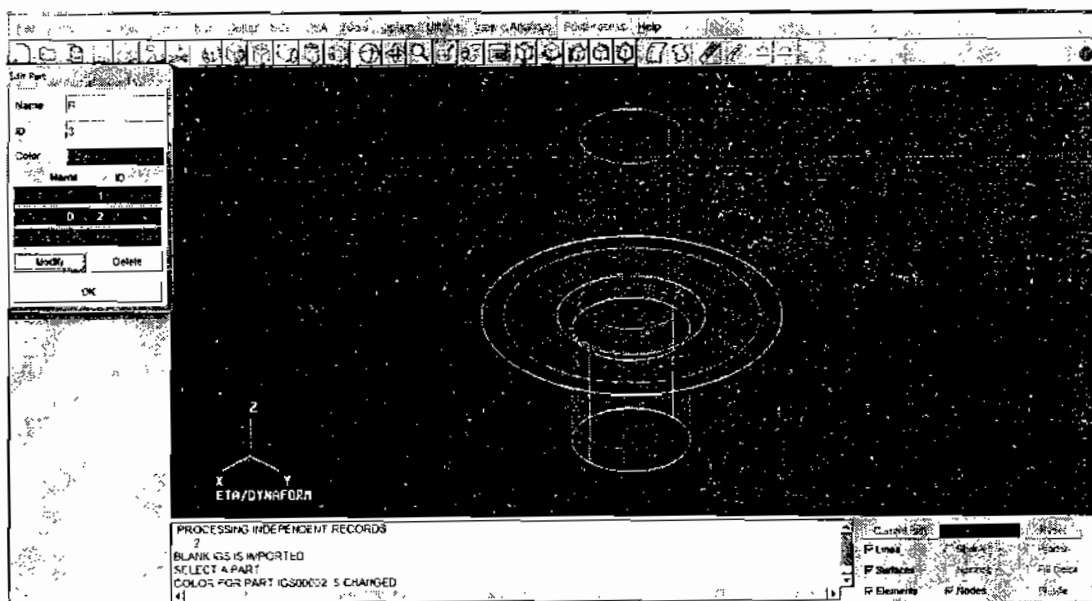
ภาพประกอบ ข.2 หลังการ Import เสร็จ

คลิก Part แล้วคลิก Edit เพื่อทำการลบเส้นที่ไม่จำเป็นออก โดยการลบเส้นให้คลิกที่ชื่อของเส้น แล้ว คลิก Delete จะปรากฏเส้นที่ต้องการลบ ถ้าต้องการลบให้คลิก Yes แต่ถ้าไม่ต้องการลบให้คลิก No



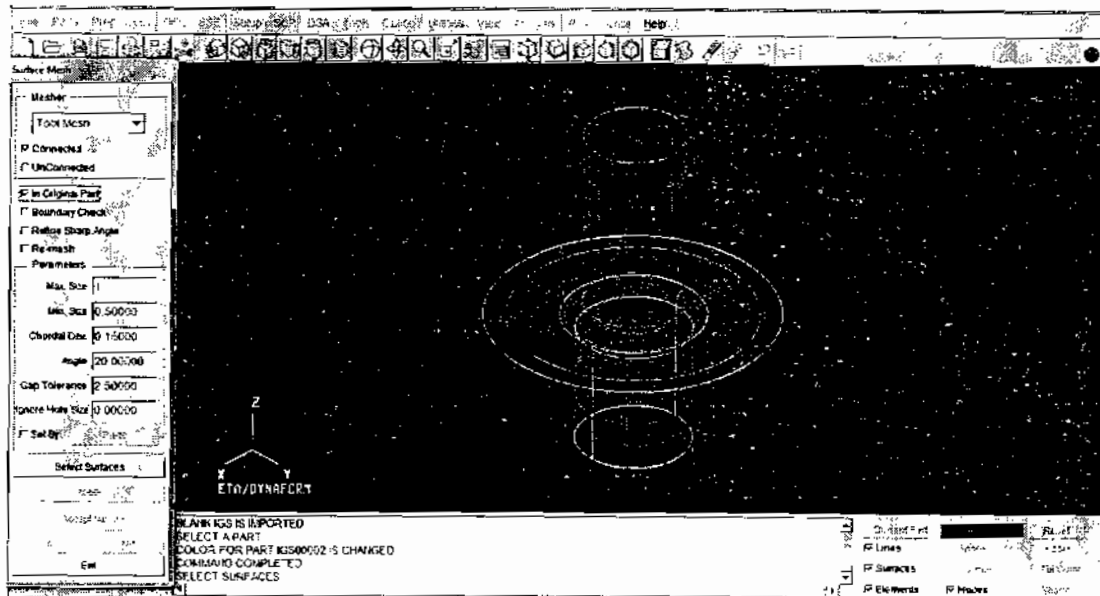
ภาพประกอบ ข.3 ขั้นตอนการลบเส้นส่วนเกิน

เมื่อลบเส้นที่ไม่จำเป็นออกแล้วให้ตั้งชื่อพาร์ทชิ้นงาน โดยการคลิกที่ชื่อเดิมแล้วพิมป์เปลี่ยนชื่อ เปเลี่ยนเลข เปเลี่ยนสีได้ตามต้องการ แล้วก็คลิก Modify ทำซ้ำเดียวกันจนครบทุกชิ้นแล้วคลิก OK



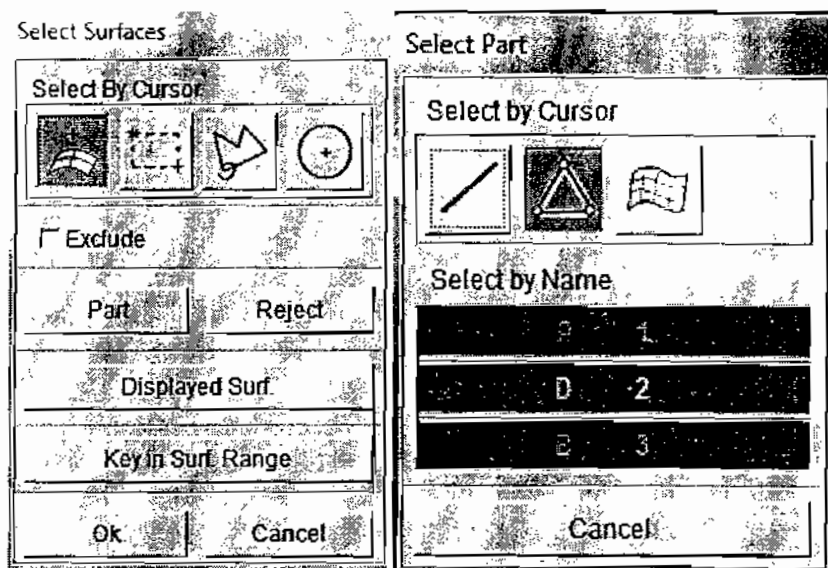
ภาพประกอบ ข.4 เมื่อลบเส้นส่วนเกินเสร็จ

คลิกเลือกคำสั่ง Surface mesh แล้วคลิก In Original Part มองหาคำว่า Max. Size พิมพ์ลงในกรอบเป็น 1 แล้วกด Select Surfaces



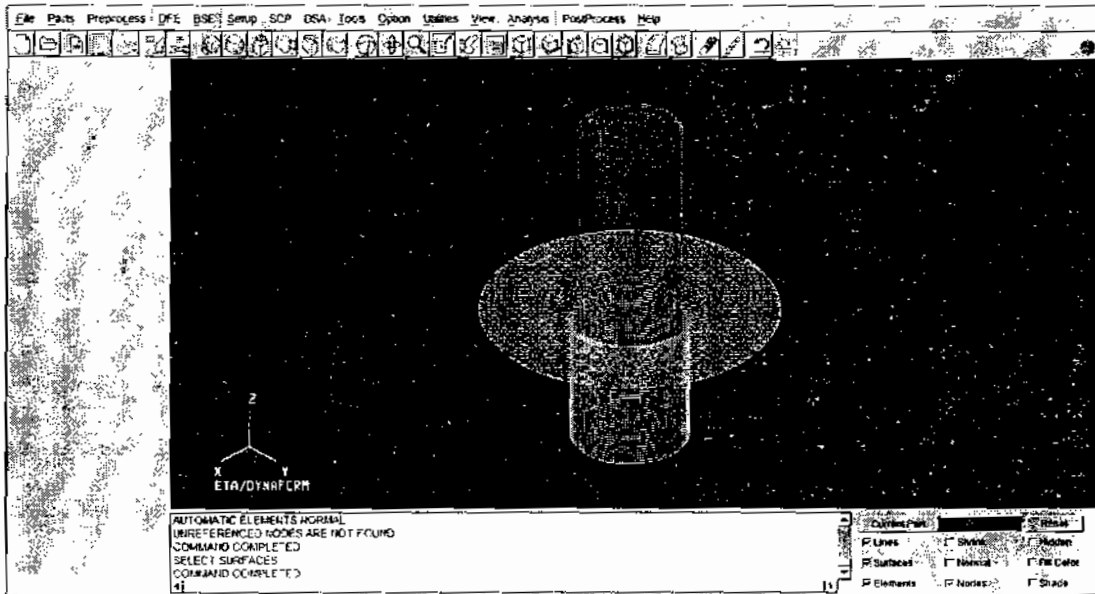
ภาพประกอบ ข.5 การทำ Surface mesh

จะปรากฏกรอบคำสั่ง Select Surface ขึ้นมา แล้วให้คลิกที่ Part จะปรากฏกรอบคำสั่ง Select Part ให้คลิกที่ P 1 จะกลับมาที่กรอบคำสั่ง Select Surface แล้วคลิก OK



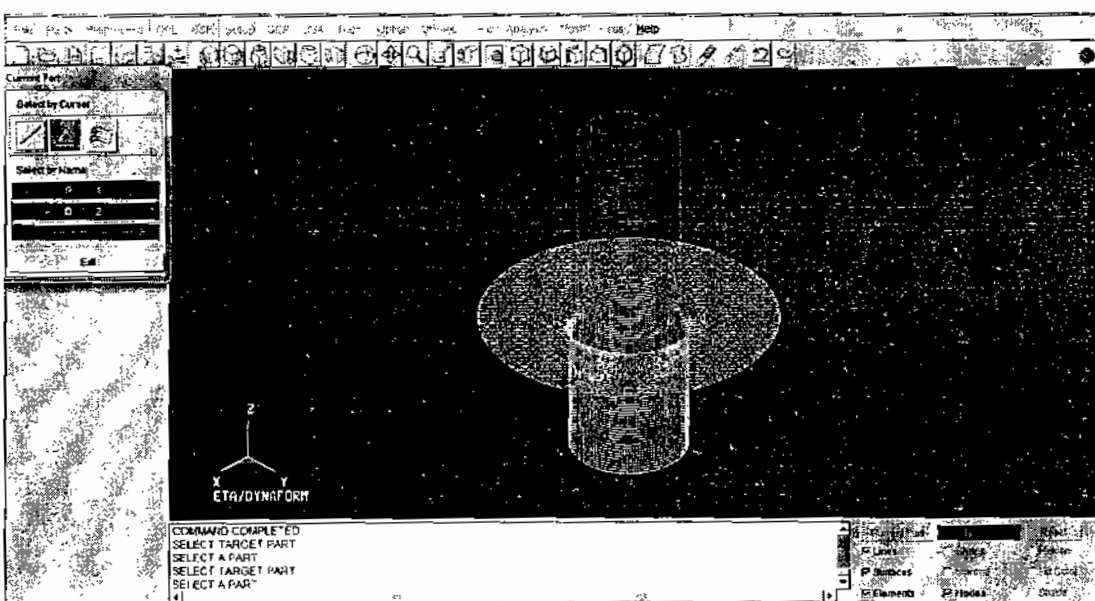
ภาพประกอบ ข.6 คำสั่งในการ Surface mesh

ให้คลิก Apply แล้วก็คลิก Yes กារขึ้นงานที่เลือกจะถูกลบเป็นเส้นตามที่ปุ่มปิดลักษณะเดียวกัน ส่วน DIE 2 ที่ทำเข่นเดียวกัน



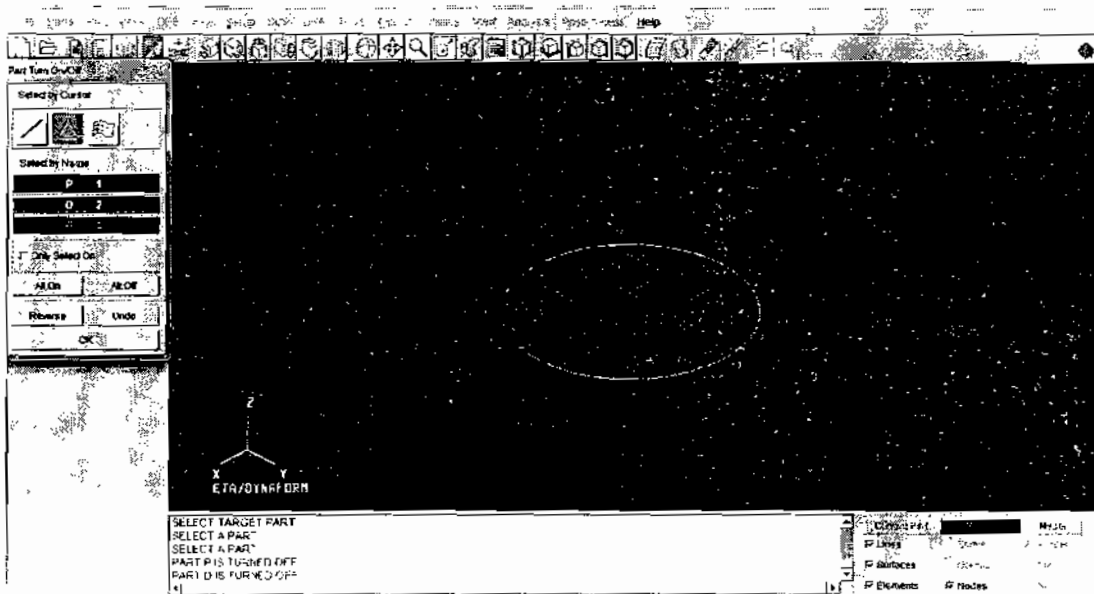
ภาพประกอบ ข.7 เมื่อ Surface mesh เสร็จ

คลิกที่ Current Part จะปรากฏกรอบคำสั่งขึ้นมา ให้คลิกที่ B 3 แล้วคลิก Exit



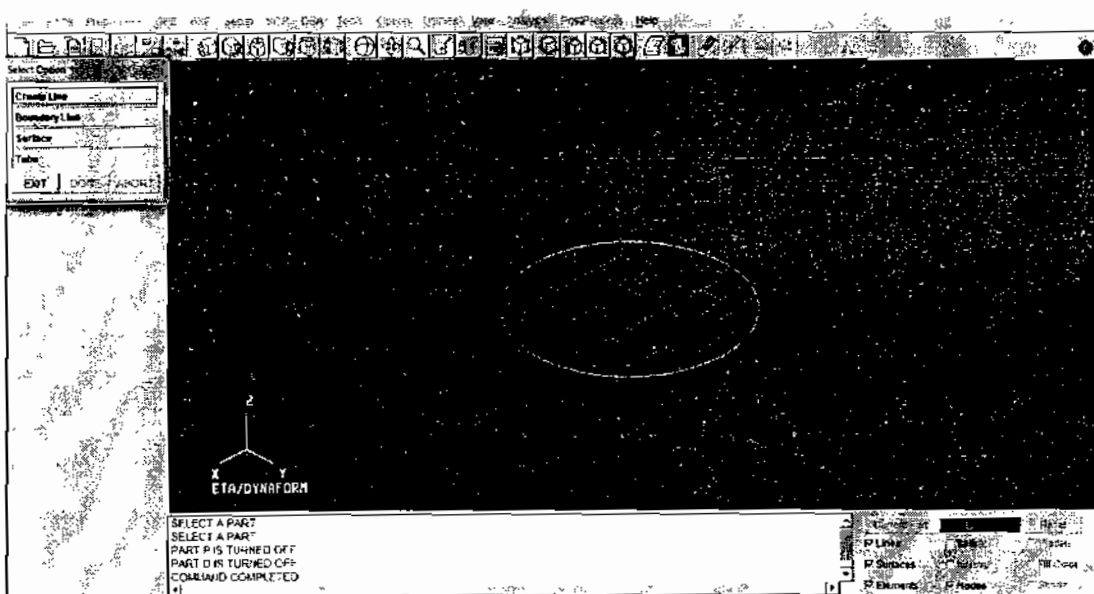
ภาพประกอบ ข.8 การทำ Select by Cursor โดยไม่มีขึ้นงาน

คลิกที่ Turn Part on/off จะปรากฏกรอบคำสั่งขึ้น ให้คลิกที่ Punch 1 และ Die 2 แล้วคลิก OK เพื่อปิด Punch และ Die



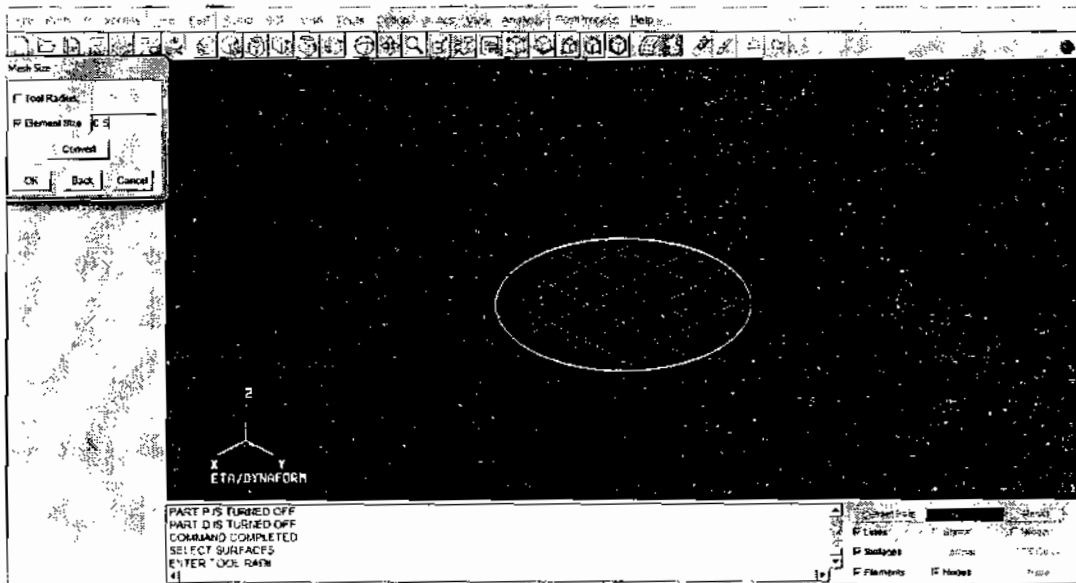
ภาพประกอบ ข.9 การทำ Turn Part on/off ให้ Punch 1 และ Die 2 หายไป

คลิกเลือกคำสั่ง : Blank generator จะปรากฏกรอบคำสั่ง Select Option คลิกที่ Surface



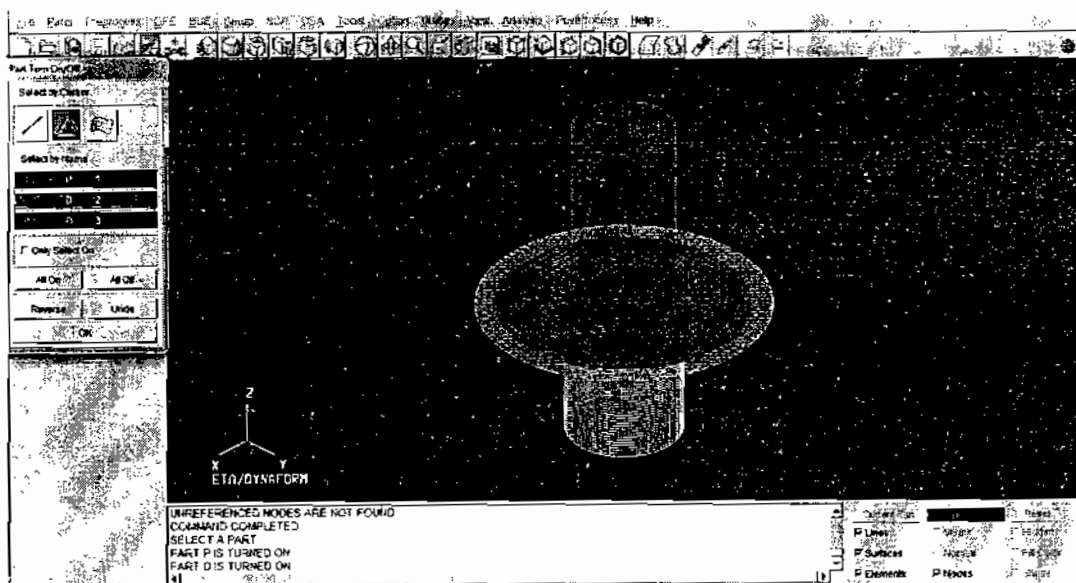
ภาพประกอบ ข.10 การทำ Blank generator

ให้ไปคลิกที่ชิ้นงานจะปรากฏกรอบคำสั่ง Mesh Size ทำเครื่องหมาย ✓ ที่ช่อง Element Size แล้วพิมพ์ลงไปในช่องว่าง 0.5 แล้วคลิก OK และ Yes ตามลำดับ



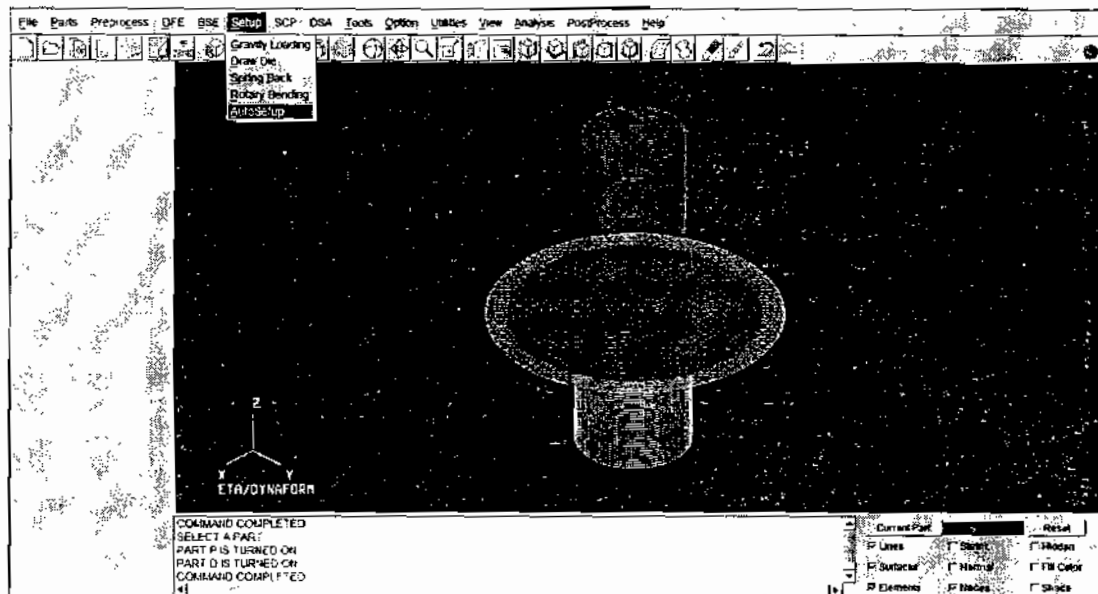
ภาพประกอบ ข.11 การปรับแก้ Element Size

คลิกที่ Turn Part on/off จะปรากฏกรอบคำสั่งขึ้น ให้คลิกที่ Punch 1 และ Die 2 เพื่อเปิด PUNCH และ DIE แล้วคลิก OK



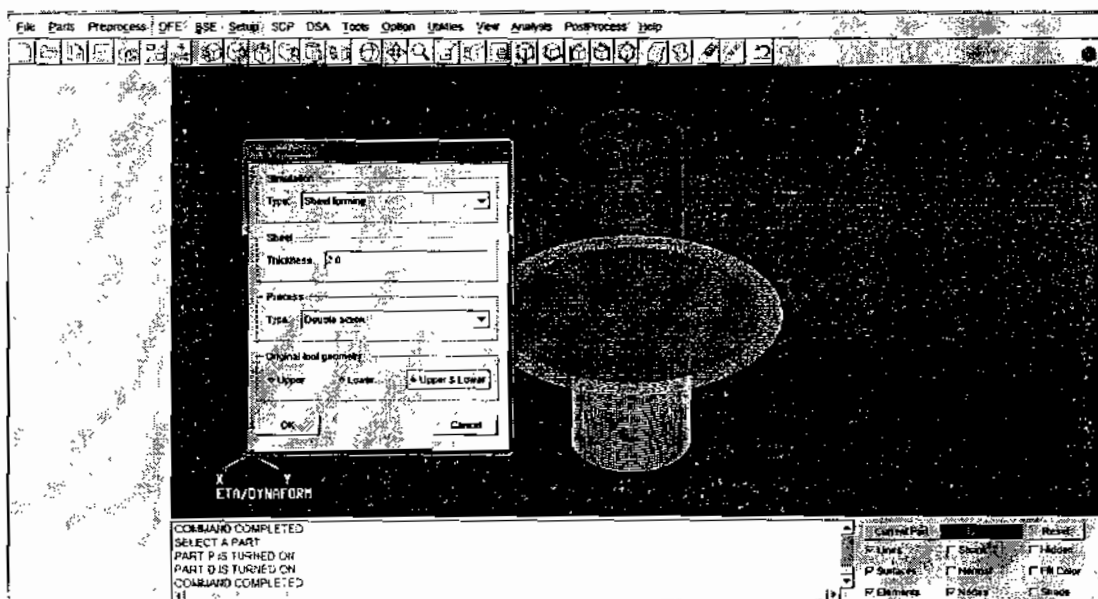
ภาพประกอบ ข.12 เปิด PUNCH และ DIE

คลิกเลือกที่คำสั่ง Setup แล้วคลิกที่ Auto Setup



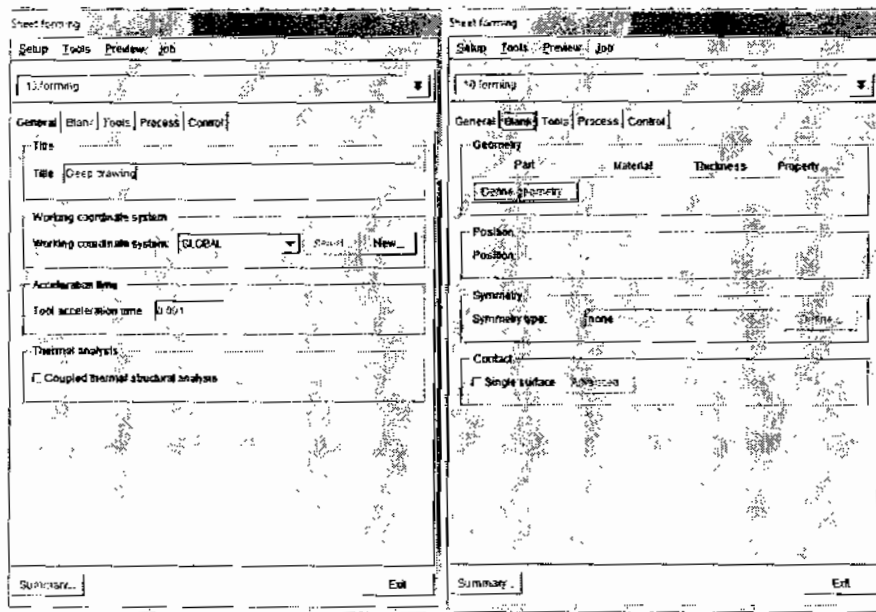
ภาพประกอบ ข.13 การทำ Auto Setup

จะปรากฏกรอบคำสั่ง New simulation ไปเลื่อน Thickness (ความหนา) ให้เท่ากับชิ้นงาน ให้คลิกที่ Type เปลี่ยนเป็น Double action แล้วคลิกที่ Upper & Lower และคลิก OK



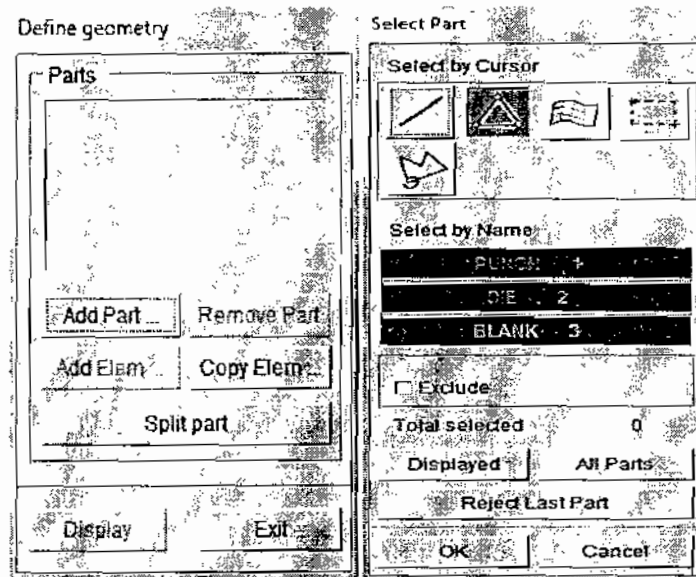
ภาพประกอบ ข.14 การทำ New simulation

จะปรากฏกรอบคำสั่ง Sheet forming คลิกที่ช่องว่าง Title เปลี่ยนชื่อเป็น Deep drawing ให้คลิกเลือก Blank แล้วคลิกที่ Define geometry



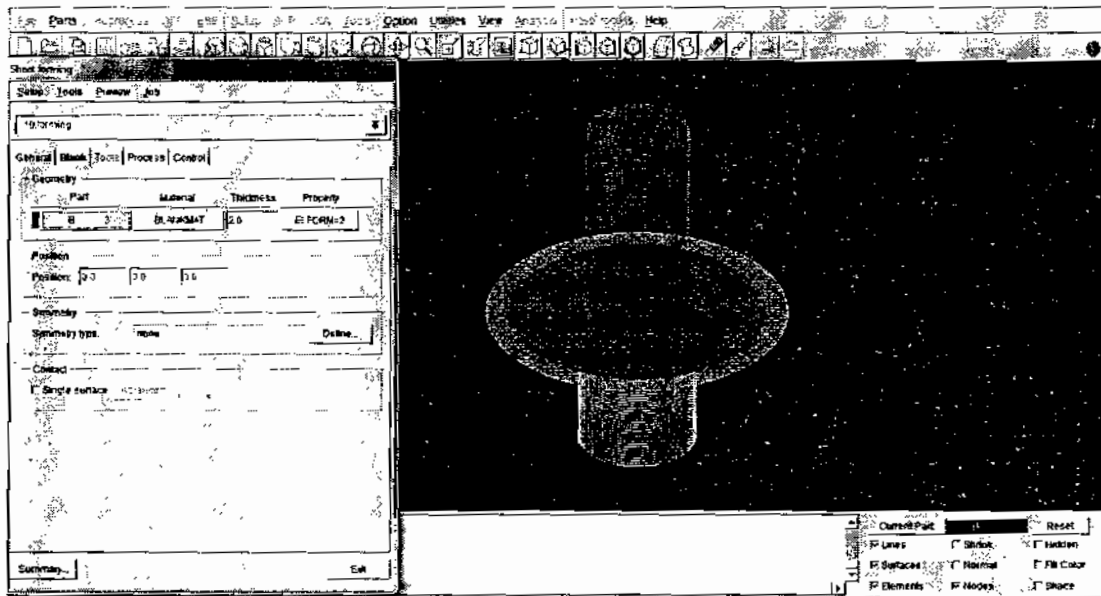
ภาพประกอบ ข.15 การทำ Sheet forming และ BLANK

จะปรากฏกรอบคำสั่ง Define geometry คลิกที่ Add Part... จะปรากฏกรอบคำสั่ง Select Part ให้คลิกที่ BLANK 3 แล้วคลิก OK จะกลับมาที่กรอบคำสั่ง Define geometry ให้คลิก Exit



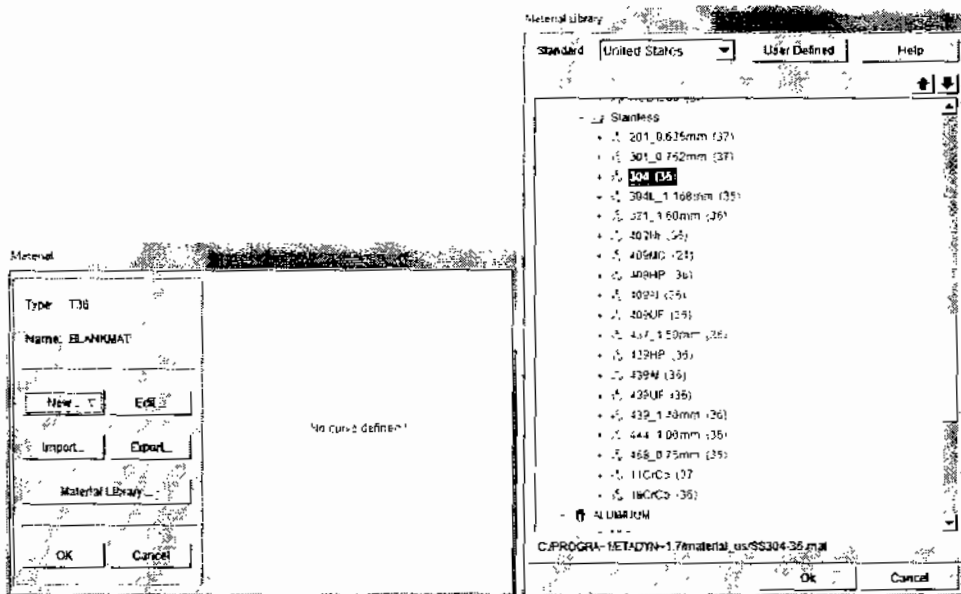
ภาพประกอบ ข.16 การทำ Define geometry เพื่อที่จะ Add Blank เข้า

จะปรากฏกรอบคำสั่ง Sheet forming ให้คลิกที่ BLANKMAT



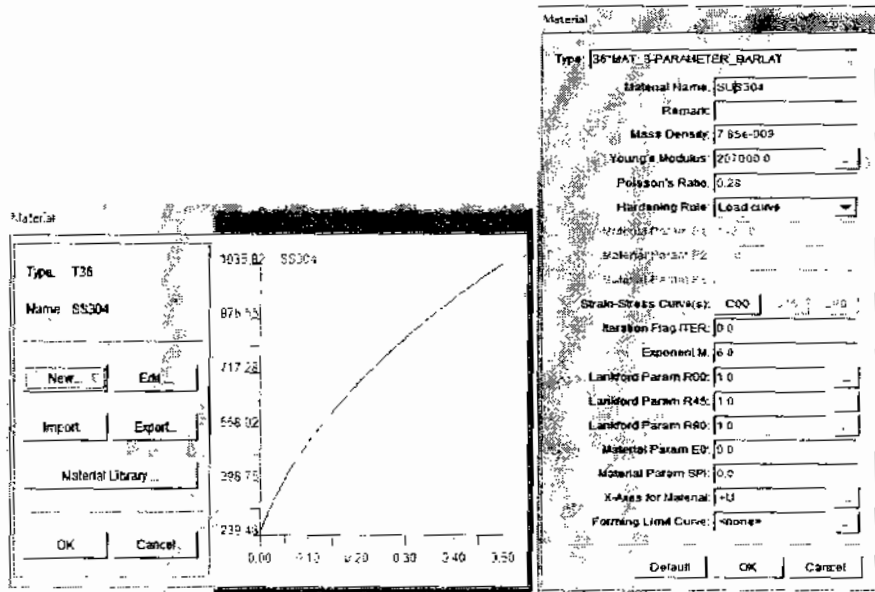
ภาพประกอบ ข.17 การทำ BI ANKMAI

จะปรากฏกรอบคำสั่ง Material ให้คลิกที่ Material Library... จะปรากฏกรอบคำสั่ง Material Library ให้ไปเลือกคลิกที่วัสดุที่ต้องการ Stainless (SUS 304) แล้วคลิก OK



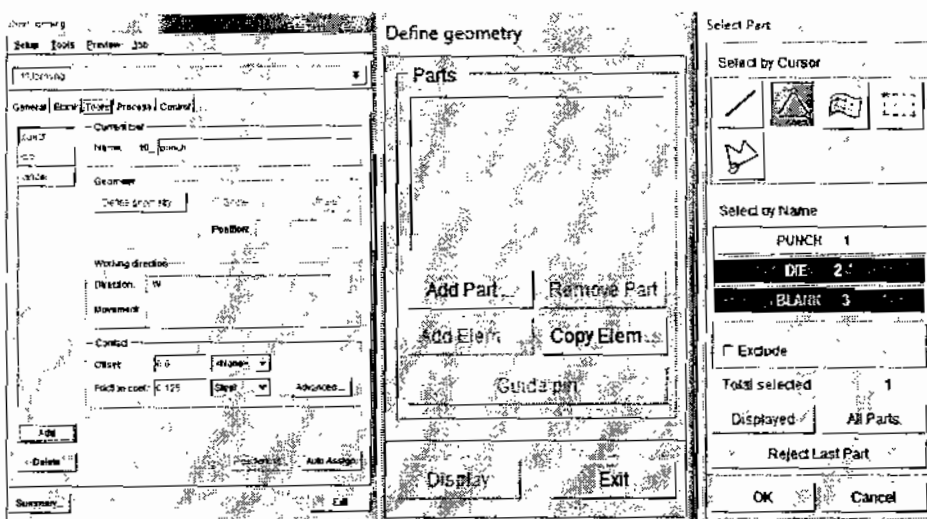
ภาพประกอบ ข.18 การเลือกวัสดุของชิ้นงาน

จะปรากฏกรอบคำสั่ง Material ที่มีกราฟ คลิกที่ Edit... จะปรากฏกรอบคำสั่ง Material ขึ้นมาอีกหนึ่ง กรอบ ให้ตรวจสอบความถูกต้อง แล้วคลิก OK



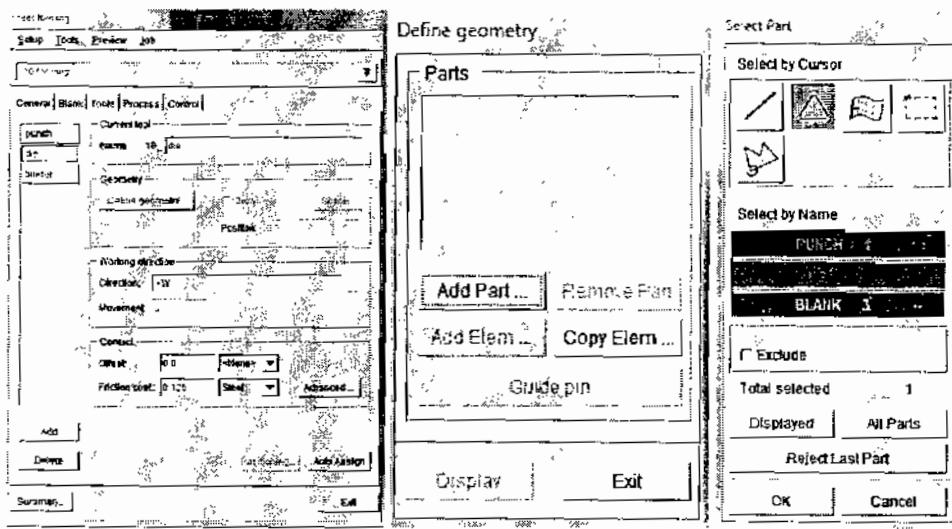
ภาพประกอบ ข.19 การตรวจสอบความถูกต้องคุณสมบัติของวัสดุ

คลิกเลือกที่ Tool แล้วคลิกที่ Define geometry จะปรากฏกรอบคำสั่ง Define geometry ให้คลิก Add Part... จะปรากฏกรอบคำสั่ง Select Part ให้คลิกเลือก PUNCH 1 แล้วคลิก OK จะกลับมาที่ กรอบคำสั่ง Define geometry แล้วให้คลิก Exit



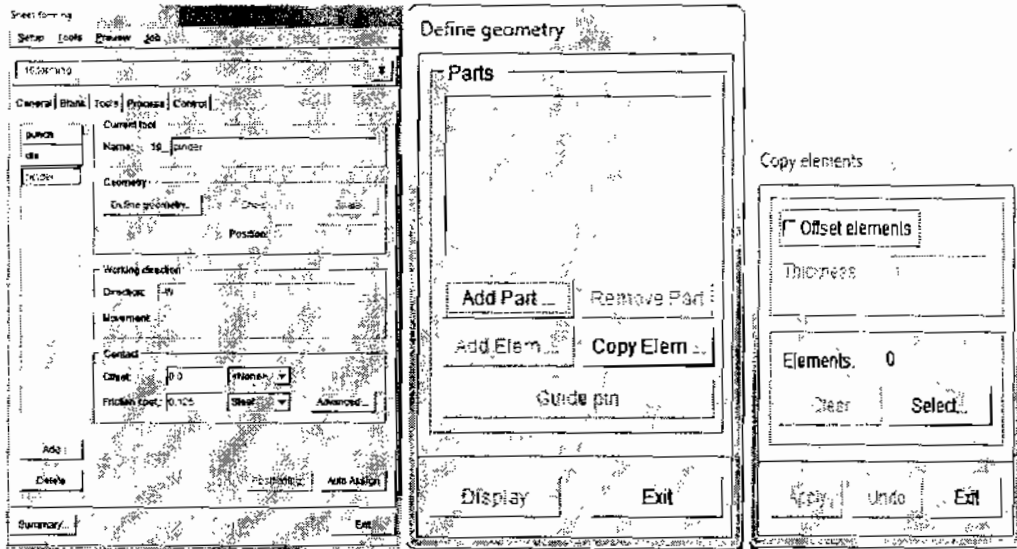
ภาพประกอบ ข.20 การ Add PUNCH

คลิกเลือก die แล้วคลิก Define geometry จะปรากฏกรอบคำสั่ง Define geometry ให้คลิก Add Part... จะปรากฏกรอบคำสั่ง Select Part ให้คลิกที่ DIE 2 แล้วคลิก OK จะกลับมาที่กรอบคำสั่ง Define geometry แล้วให้คลิก Exit



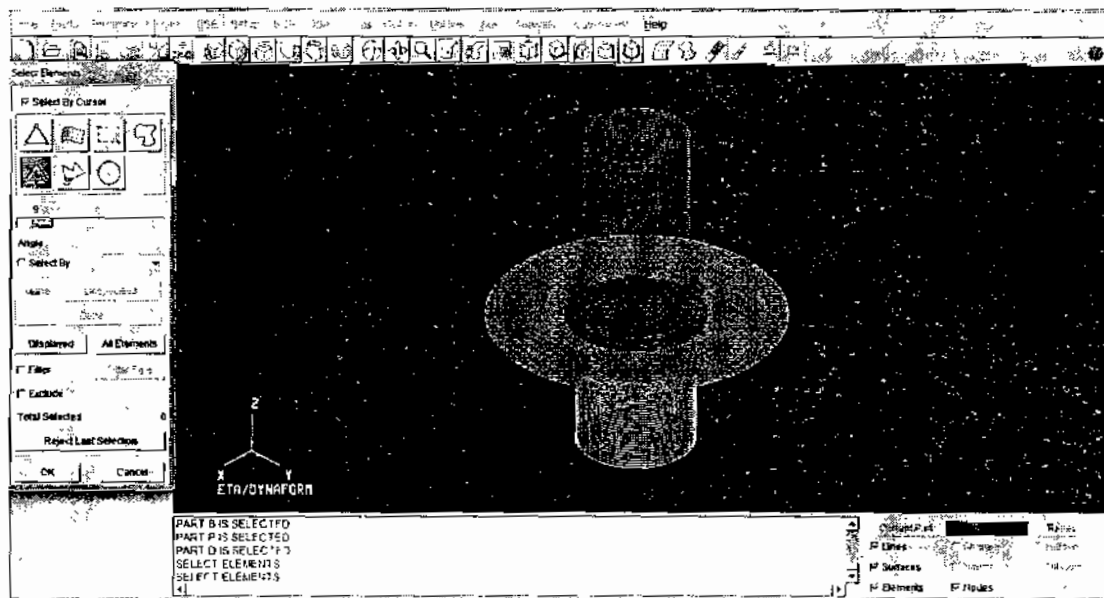
ภาพประกอบ ข.20 การ Add Die

คลิกเลือก Binder แล้วคลิก Define geometry จะปรากฏกรอบคำสั่ง Define geometry ให้คลิก Copy Elem... แล้วคลิกที่ Select...



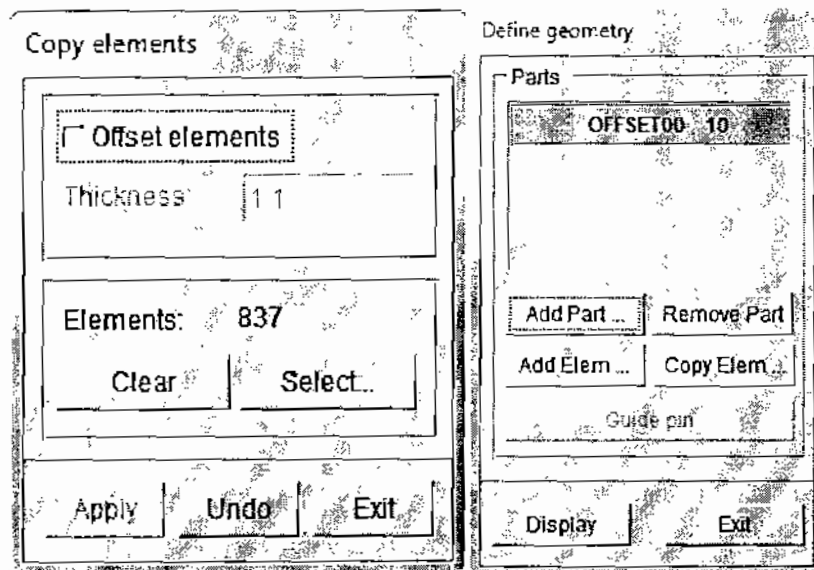
ภาพประกอบ ข.21 การทำ Copy Elements Binder

จะปรากฏกรอบคำสั่ง Select Elements ให้คลิกเลือกที่ Spread ปรับที่ Angle ให้มีมุมเท่ากับ 0 แล้วไปคลิกที่บริเวณบ่าของ Die ให้เกิดเป็นเส้นขาวเฉพาะที่บริเวณบ่าด้วย แล้วคลิก OK



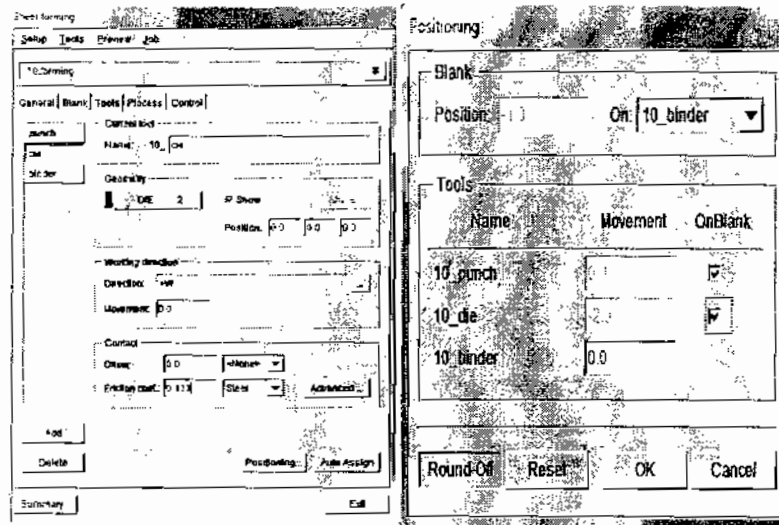
ภาพประกอบ ข.22 การทำ Copy Elements Binder (ต่อ)

จะปรากฏกรอบคำสั่ง Select Elements ให้คลิกที่ Apply แล้วคลิกที่ Exit จะกลับมาที่กรอบคำสั่ง Define geometry แล้วให้คลิก Exit



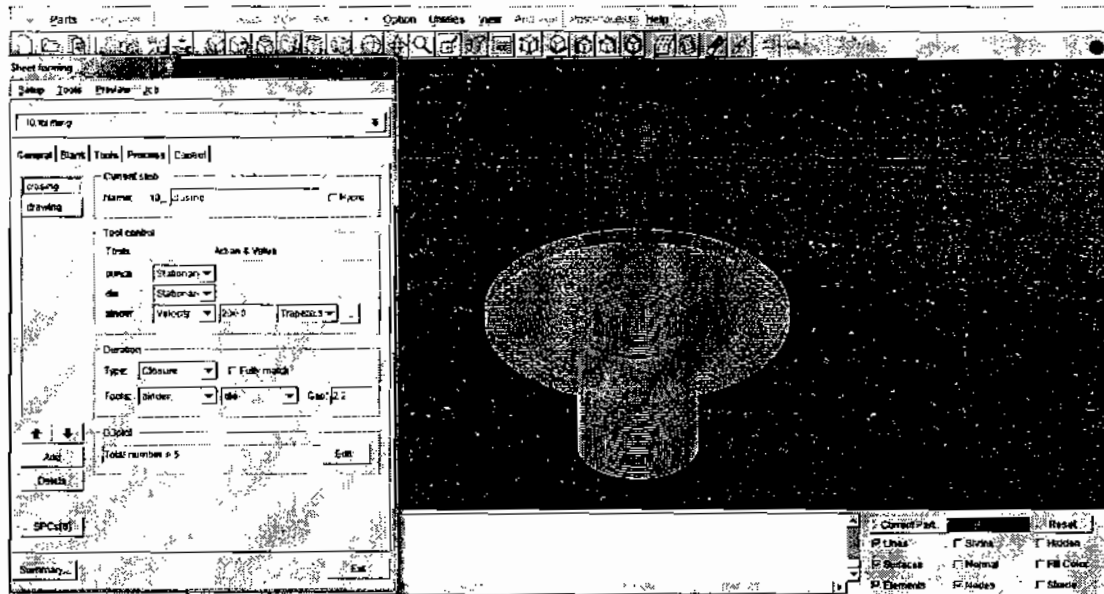
ภาพประกอบ ข.23 การทำ Copy Elements Binder (ต่อ)

จะปรากฏกรอบคำสั่ง แล้วคลิกที่ Positioning... จะปรากฏกรอบคำสั่ง Positioning ที่ช่อง On ให้เปลี่ยนเป็น 10_binder และให้ทำเครื่องหมาย v ในช่องว่างใต้คำว่า OnBlank ทั้งสองช่อง แล้วคลิก OK



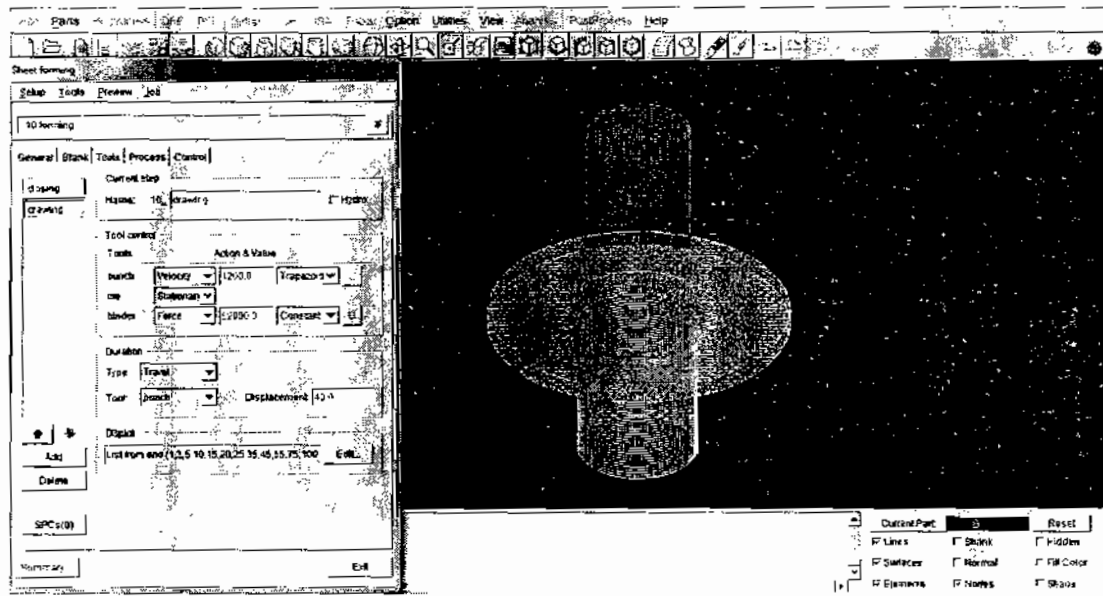
ภาพประกอบ ข.23 การทำ Positioning ให้ Punch Die และ Blank แยกออกจากกันอัตโนมัติ

จะกลับมาที่กรอบคำสั่ง Sheet forming ที่คำสั่ง Closing ให้เปลี่ยน Velocity ของ binder ตามที่ได้คำนวณ



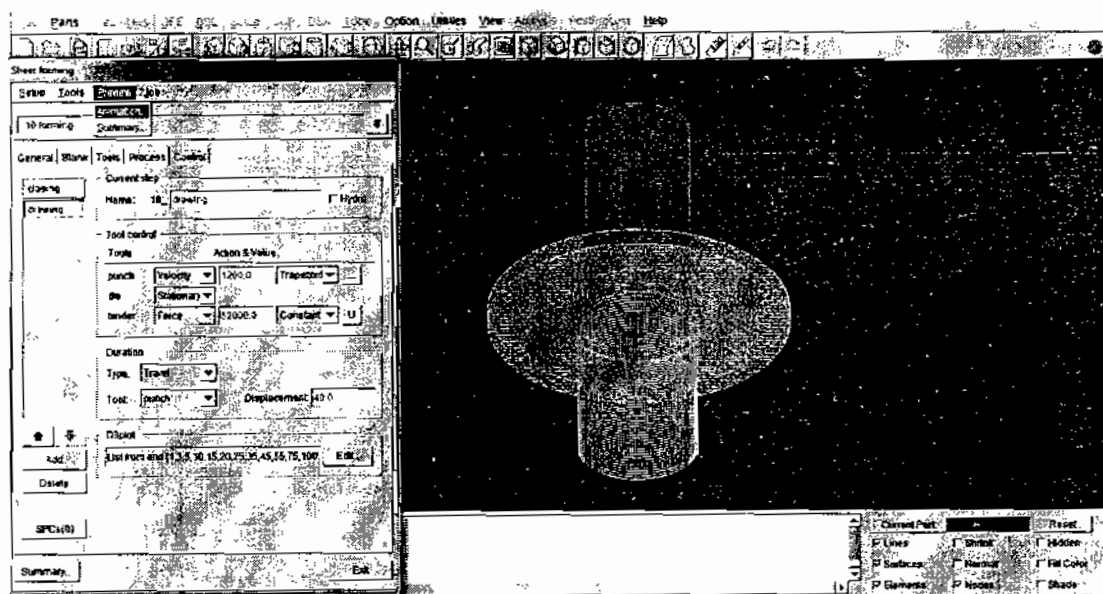
ภาพประกอบ ข.24 การเปลี่ยน Velocity ของ binder ในการ Closing

คลิกที่คำสั่ง drawing ให้เปลี่ยน Velocity ของ punch ตามที่ได้กำหนด ที่ binder ให้เปลี่ยนเป็น Force แล้วใส่ตัวเลขตามที่ได้กำหนด จากนั้นที่ Type ให้เปลี่ยนเป็น Travel แล้วเปลี่ยนตัวเลขที่ Displacement เป็น 40



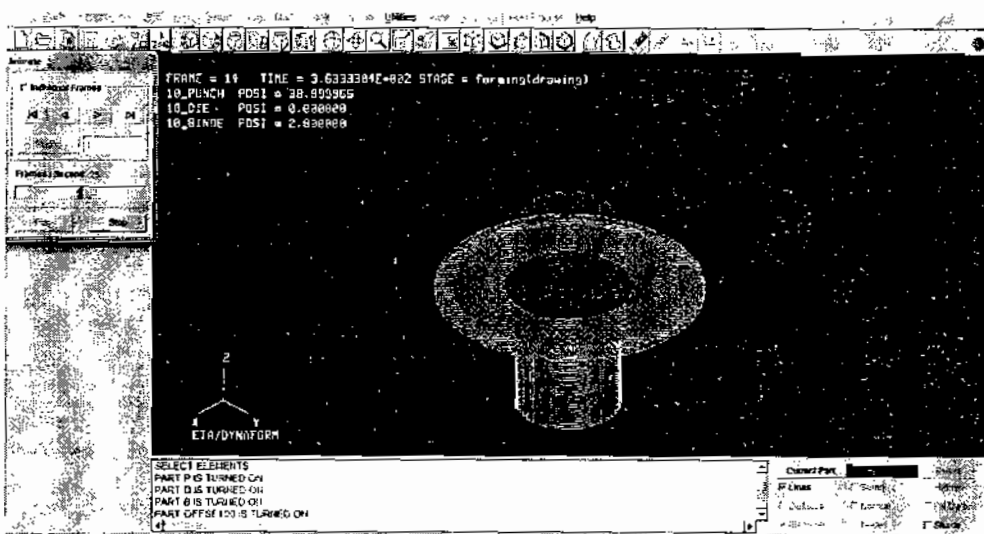
ภาพประกอบ ข.25 การทำ Process ในการ drawing

คลิกที่คำสั่ง Preview ไปคลิกที่ Animation จะปรากฏกรอบคำสั่ง Animation



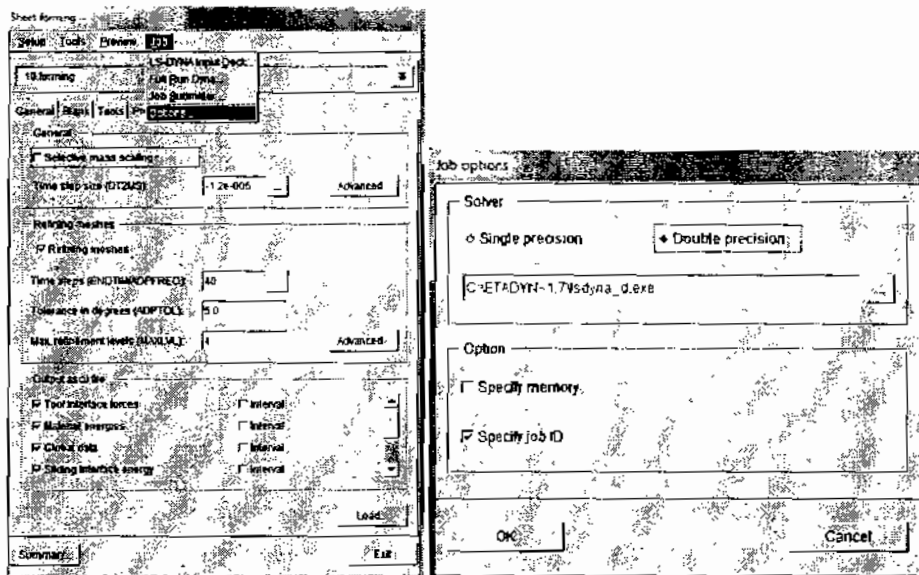
ภาพประกอบ ข.26 การทำ Animation

คลิกที่ Play จะเกิดเป็นภาพการเคลื่อนที่ของ Punch ในการลากเข็มรูป และเมื่อตรวจสอบดูความถูกต้องเรียบร้อยแล้วให้คลิกที่ Stop



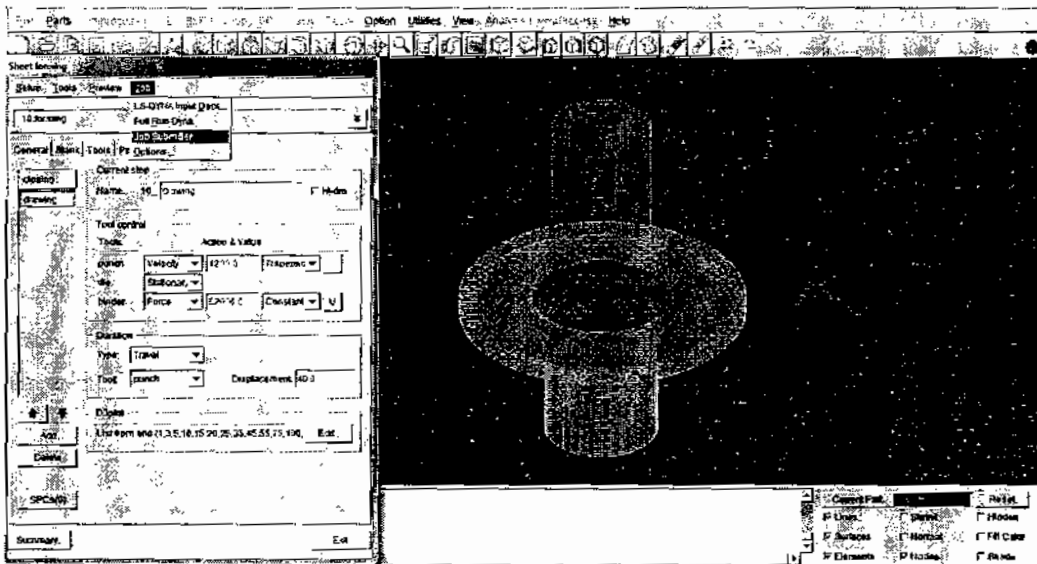
ภาพประกอบ ข.27 การทำ Animation (ต่อ)

จะกลับมาที่กรอบคำสั่ง Sheet forming เลือกคำสั่ง Job ไปคลิกที่ Option... จะปรากฏกรอบคำสั่ง Job Option ให้ไปคลิกที่ Double precision ตรวจสอบเส้นทางของข้อมูลที่จะทำการบันทึก แล้วคลิกที่ OK



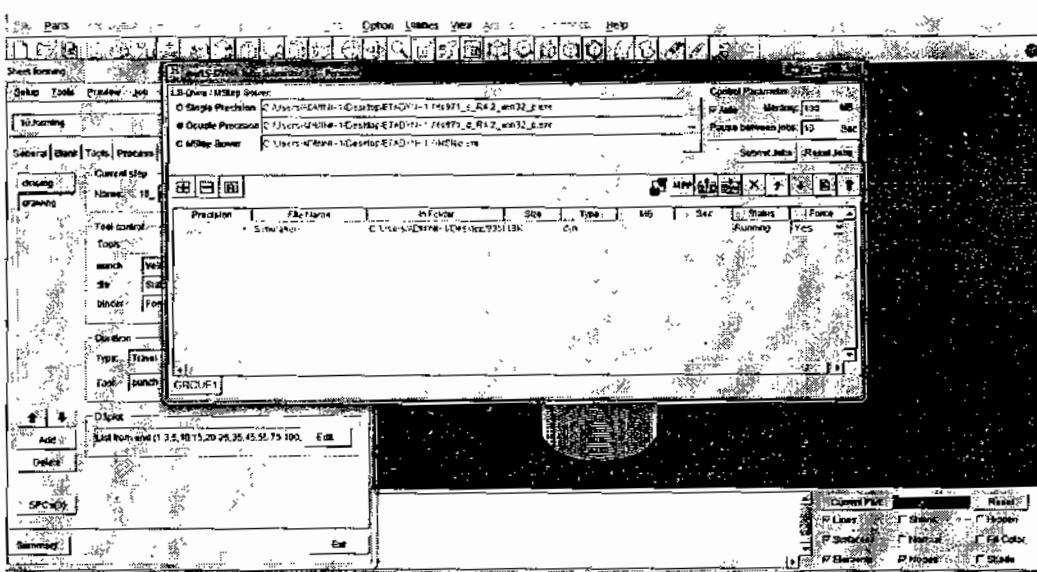
ภาพประกอบ ข.28 การทำ Job Option

จะกลับมาที่กรอบคำสั่ง Sheet forming เลือกคำสั่ง Job ไปคลิกที่ Job Submitter เพื่อทำการบันทึก



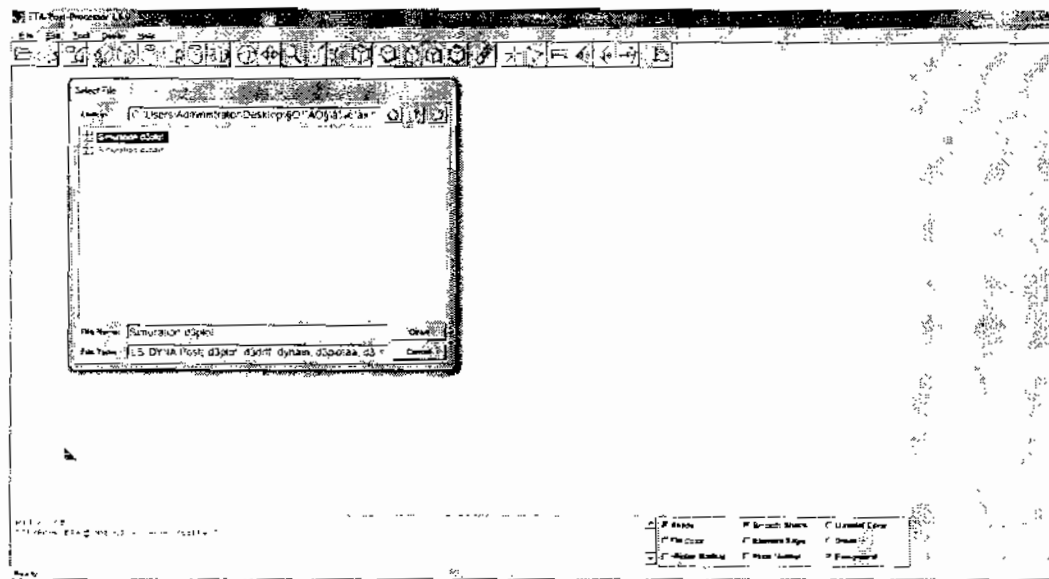
ภาพประกอบ ข.29 การทำการบันทึก

เมื่อทำการบันทึกเสร็จจะปรากฏกรอบคำสั่ง cta/LS-DYNA Job Submitter 3.0 – Personal คลิกเปลี่ยนเป็น Double Precision และที่ I Force คลิกเปลี่ยนเป็น Yes จากนั้นรอจนกว่าโปรแกรมจะประมวลผลจนเสร็จ เมื่อเสร็จที่ I Force จะเปลี่ยนเป็นคำว่า Finish (อาจจะใช้เวลาหลายชั่วโมง)



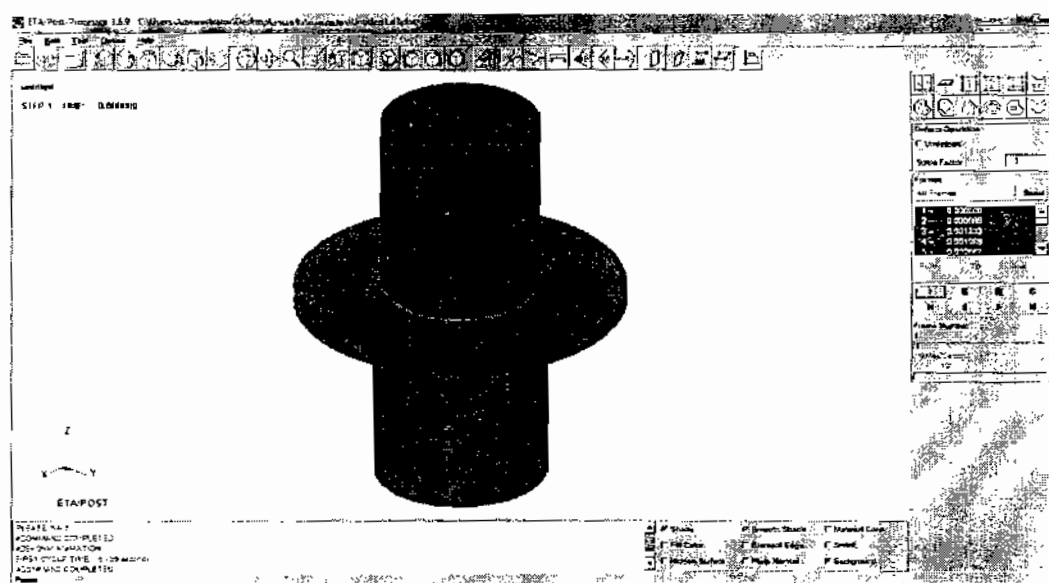
ภาพประกอบ ข.30 การประมวลผล

คลิกที่ Post Process คลิก Yes จะปรากฏโปรแกรม ETA/Post-Processor 1.6.9 คลิก File คลิก Open คลิกเลือกไฟล์ที่นามสกุล .d3plot และคลิก Open



ภาพประกอบ ข.31 การทำ Post Process

จะปรากฏดังภาพด้านล่าง เมื่อต้องการที่จะคุ้มครองเดือนใหม่ให้คลิกเลือกที่กรอบคำสั่ง แล้วต้องการข้อมูลด่างๆให้คลิกเลือกที่กรอบคำสั่ง

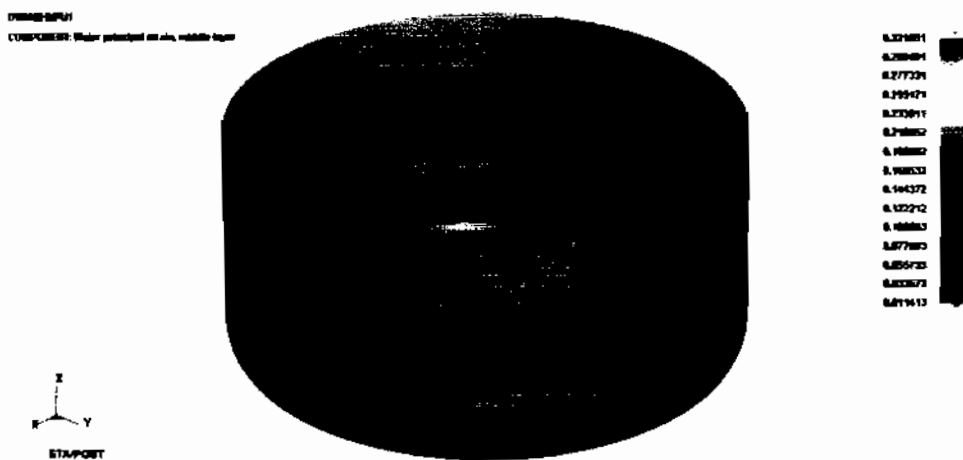


ภาพประกอบ ข.32 การทำ Post Process (ต่อ)

ภาคผนวก ค
ผลการวิเคราะห์และจำลองภาพการลากขึ้นรูป

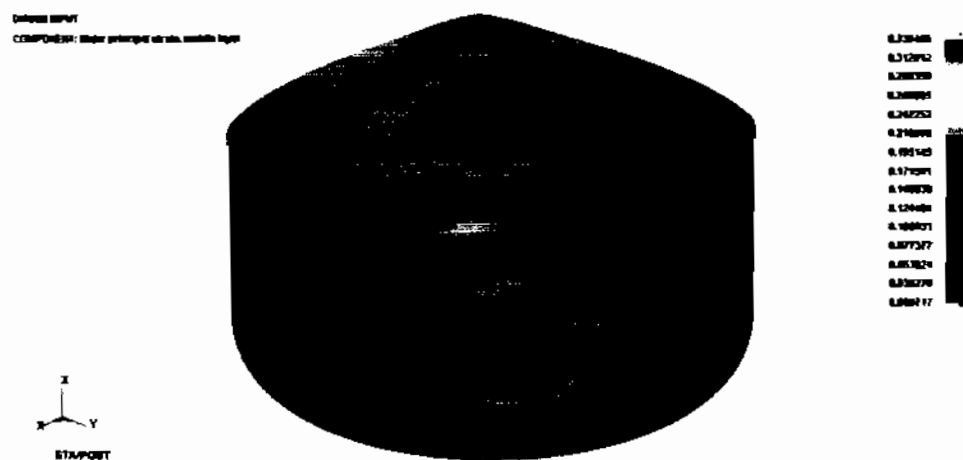
ผลการวิเคราะห์การเปลี่ยนแปลง Major Strain

ขนาดเส้นผ่านศูนย์กลางแผ่นเปล่า 85 มิลลิเมตร



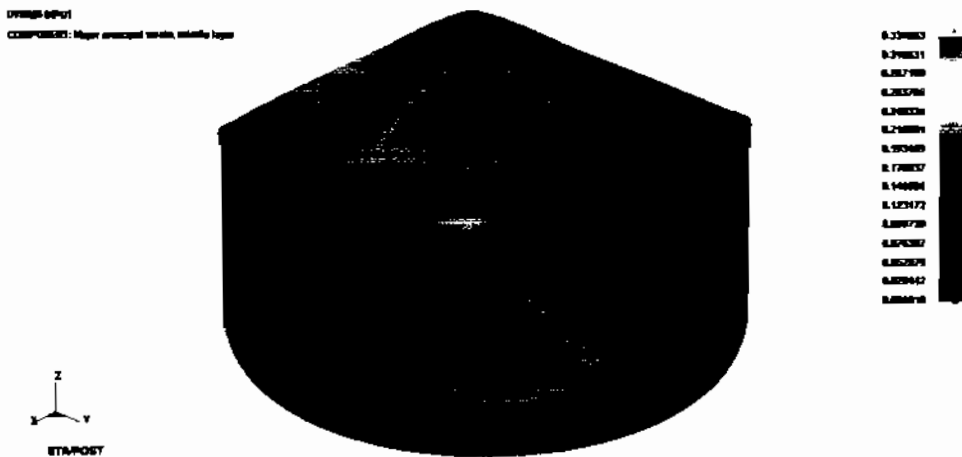
ภาพประกอบ ค.1 การเปลี่ยนแปลง Major Strain ขนาดเส้นผ่านศูนย์กลางแผ่นเปล่า 85 มิลลิเมตร

ขนาดเส้นผ่านศูนย์กลางแผ่นเปล่า 85 มิลลิเมตร ลบมุมที่ทิศทางการรีด 0 และ 90 องศา ทำ
การย้ายจุดศูนย์กลาง 6.2 มิลลิเมตร (ทฤษฎีของ Kishor N. และ Kumar D.R.)



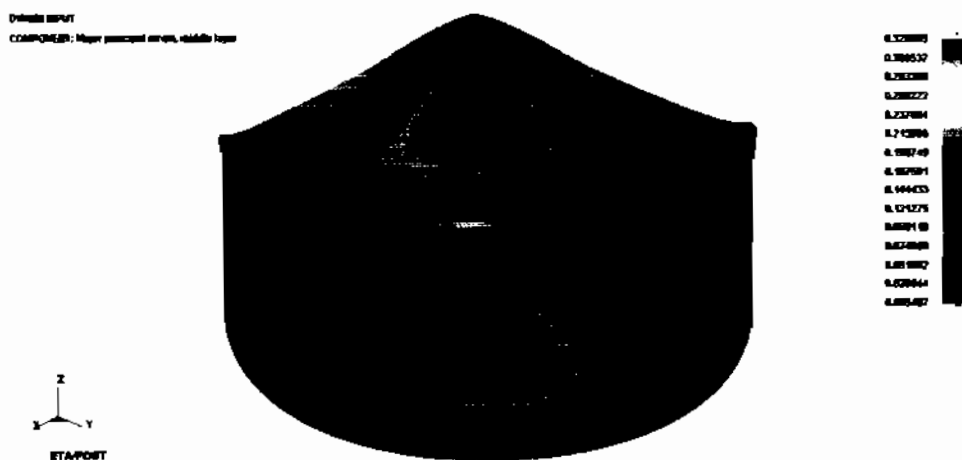
ภาพประกอบ ค.2 การเปลี่ยนแปลง Major Strain ขนาดเส้นผ่านศูนย์กลางแผ่นเปล่า 85 มิลลิเมตร
ลบมุมที่ทิศทางการรีด 0 และ 90 องศา ย้ายจุดศูนย์กลาง 6.2 มิลลิเมตร

ขนาดเส้นผ่านศูนย์กลางแผ่นเปล่า 85 มิลลิเมตร ลบมุมที่ทิศทางการรีด 0 และ 90 องศา ทำ การย้ายจุดศูนย์กลาง 12.4 มิลลิเมตร (หฤษฐ์กีรช Kishor N. และ Kumar D.R.)



ภาพประกอบ ค.3 การเปลี่ยนแปลง Major Strain ขนาดเส้นผ่านศูนย์กลางแผ่นเปล่า 85 มิลลิเมตร ลบมุมที่ทิศทางการรีด 0 และ 90 องศา ย้ายจุดศูนย์กลาง 12.4 มิลลิเมตร

ขนาดเส้นผ่านศูนย์กลางแผ่นเปล่า 85 มิลลิเมตร ลบมุมที่ทิศทางการรีด 0 และ 90 องศา ทำ การย้ายจุดศูนย์กลาง 18.6 มิลลิเมตร (หฤษฐ์กีรช Kishor N. และ Kumar D.R.)



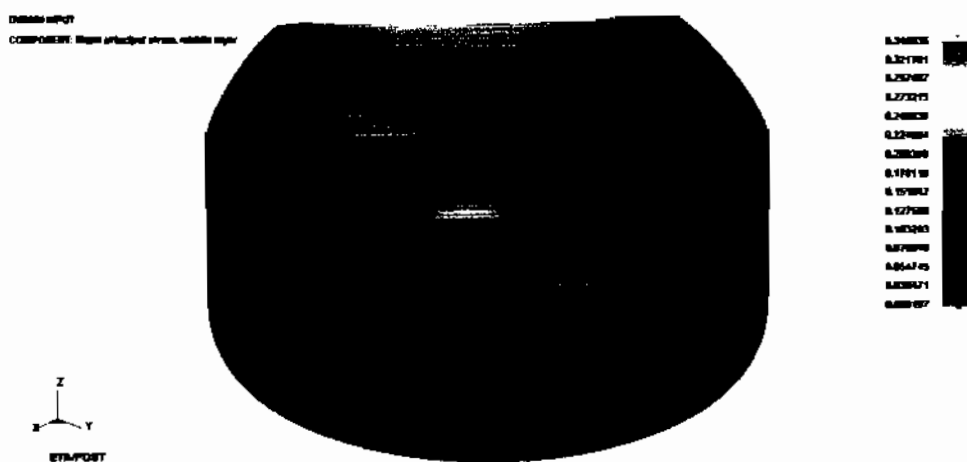
ภาพประกอบ ค.4 การเปลี่ยนแปลง Major Strain ขนาดเส้นผ่านศูนย์กลางแผ่นเปล่า 85 มิลลิเมตร ลบมุมที่ทิศทางการรีด 0 และ 90 องศา ย้ายจุดศูนย์กลาง 18.6 มิลลิเมตร

ขนาดเส้นผ่านศูนย์กลางแผ่นเปล่า 85 มิลลิเมตร ลบมุมที่พิเศษการรีด 45 องศา จากจุดขอบของชิ้นงาน 1.2 มิลลิเมตร (ทฤษฎีของ A.M. Zaky, A.B. Nassr และ M.G. El-Sebaie)



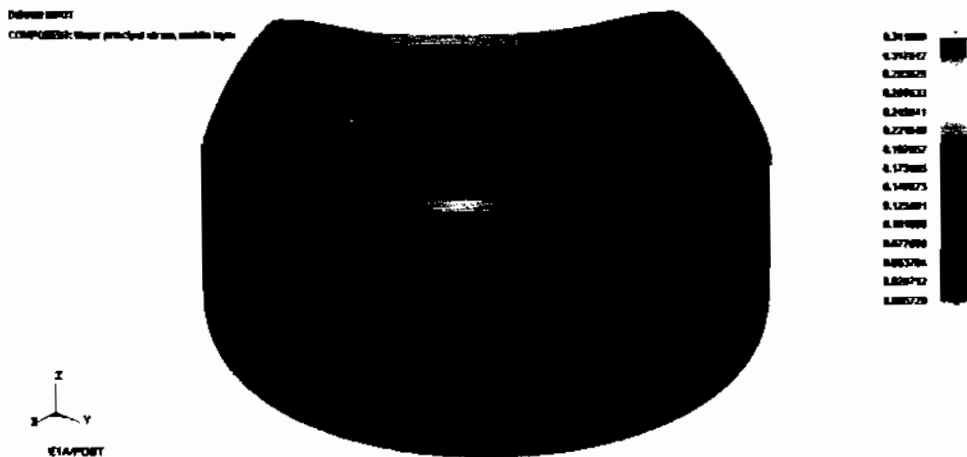
ภาพประกอบ ค.5 การเปลี่ยนแปลง Major Strain ขนาดเส้นผ่านศูนย์กลางแผ่นเปล่า 85 มิลลิเมตร ลบมุมที่พิเศษการรีด 45 องศา จากจุดขอบของชิ้นงาน 1.2 มิลลิเมตร

ขนาดเส้นผ่านศูนย์กลางแผ่นเปล่า 85 มิลลิเมตร ลบมุมที่พิเศษการรีด 45 องศา จากจุดขอบของชิ้นงาน 2.4 มิลลิเมตร (ทฤษฎีของ A.M. Zaky, A.B. Nassr และ M.G. El-Sebaie)



ภาพประกอบ ค.6 การเปลี่ยนแปลง Major Strain ขนาดเส้นผ่านศูนย์กลางแผ่นเปล่า 85 มิลลิเมตร ลบมุมที่พิเศษการรีด 45 องศา จากจุดขอบของชิ้นงาน 2.4 มิลลิเมตร

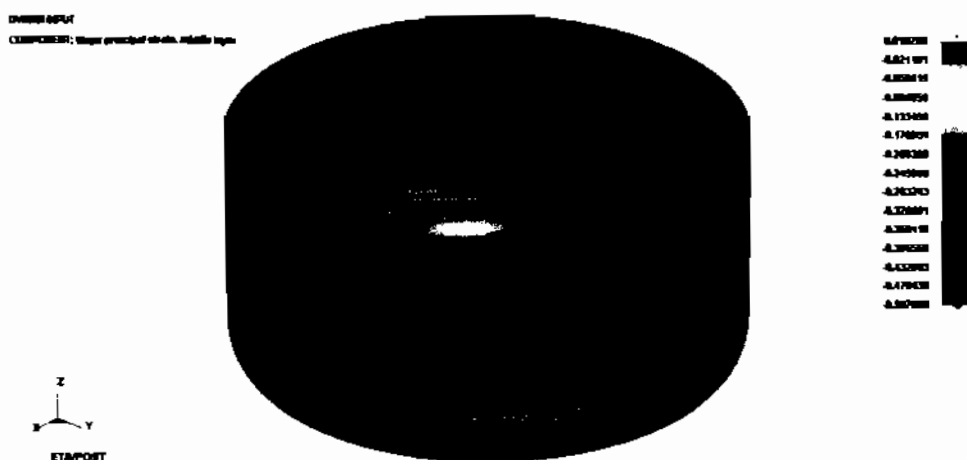
ขนาดเส้นผ่านศูนย์กลางแผ่นเปล่า 85 มิลลิเมตร ลบมุมที่ทิศทางการรีด 45 องศา จากจุดขอบของชิ้นงาน 3.6 มิลลิเมตร (ทฤษฎีของ A.M. Zaky, A.B. Nassr และ M.G. El-Sebaie)



ภาพประกอบ ค.7 การเปลี่ยนแปลง Major Strain ขนาดเส้นผ่านศูนย์กลางแผ่นเปล่า 85 มิลลิเมตร ลบมุมที่ 45 องศา จากจุดขอบของชิ้นงาน 3.6 มิลลิเมตร

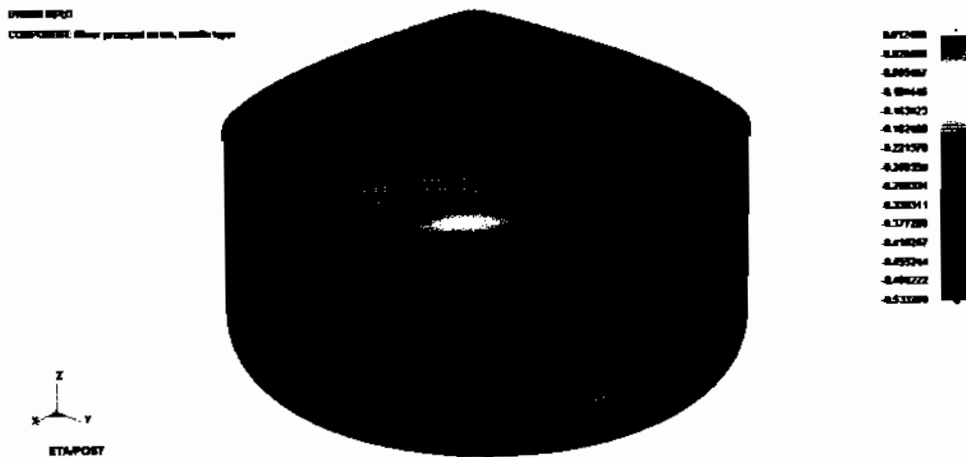
ผลการวิเคราะห์การเปลี่ยนแปลง Minor Strain

ขนาดเส้นผ่านศูนย์กลางแผ่นเปล่า 85 มิลลิเมตร



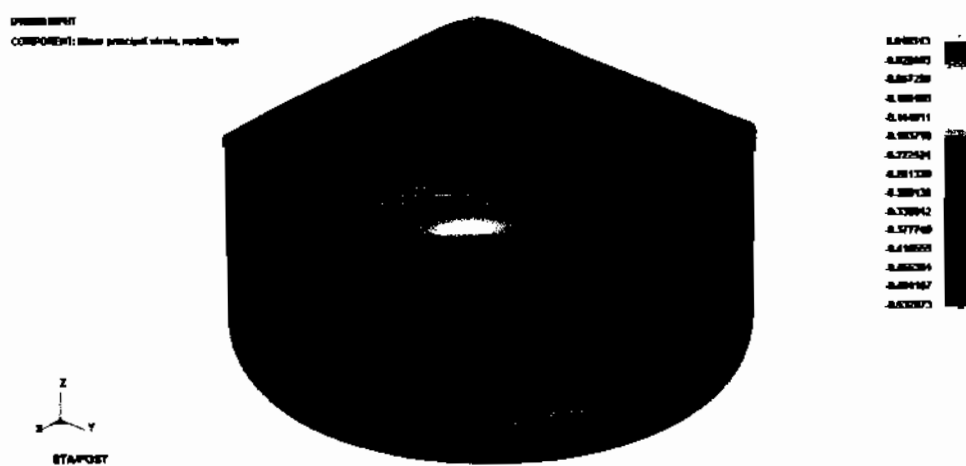
ภาพประกอบ ค.8 การเปลี่ยนแปลง Minor Strain ขนาดเส้นผ่านศูนย์กลางแผ่นเปล่า 85 มิลลิเมตร

ขนาดเส้นผ่านศูนย์กลางแผ่นเปล่า 85 มิลลิเมตร ลบมุนท์ที่ศีหทางการรีด 0 และ 90 องศา ทำ การย้ายจุดศูนย์กลาง 6.2 มิลลิเมตร (ทฤษฎีของ Kishor N. และ Kumar D.R.)



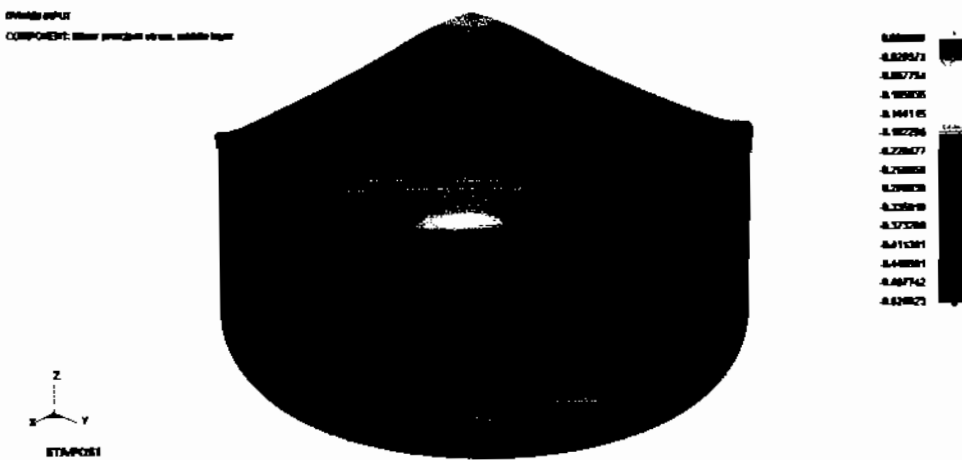
ภาพประกอบ ค.9 การเปลี่ยนแปลง Minor Strain ขนาดเส้นผ่านศูนย์กลางแผ่นเปล่า 85 มิลลิเมตร ลบมุนท์ที่ศีหทางการรีด 0 และ 90 องศา ย้ายจุดศูนย์กลาง 6.2 มิลลิเมตร

ขนาดเส้นผ่านศูนย์กลางแผ่นเปล่า 85 มิลลิเมตร ลบมุนท์ที่ศีหทางการรีด 0 และ 90 องศา ทำ การย้ายจุดศูนย์กลาง 12.4 มิลลิเมตร (ทฤษฎีของ Kishor N. และ Kumar D.R.)



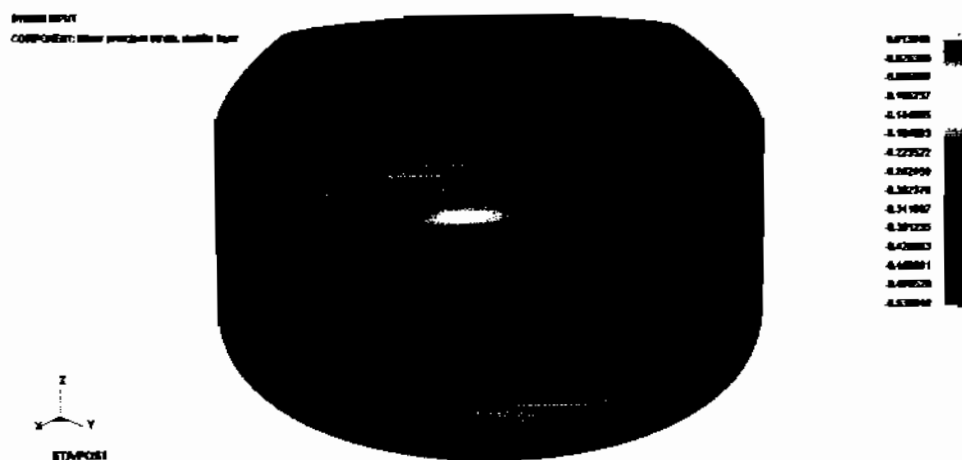
ภาพประกอบ ค.10 การเปลี่ยนแปลง Minor Strain ขนาดเส้นผ่านศูนย์กลางแผ่นเปล่า 85 มิลลิเมตร ลบมุนท์ที่ศีหทางการรีด 0 และ 90 องศา ย้ายจุดศูนย์กลาง 12.4 มิลลิเมตร

ขนาดเส้นผ่านศูนย์กลางแผ่นเปล่า 85 มิลลิเมตร ลบมุที่ทิศทางการรีด 0 และ 90 องศา ทำ
การย้ายจุดศูนย์กลาง 18.6 มิลลิเมตร (ฤทธิ์วีช่อง Kishor N. และ Kumar D.R.)



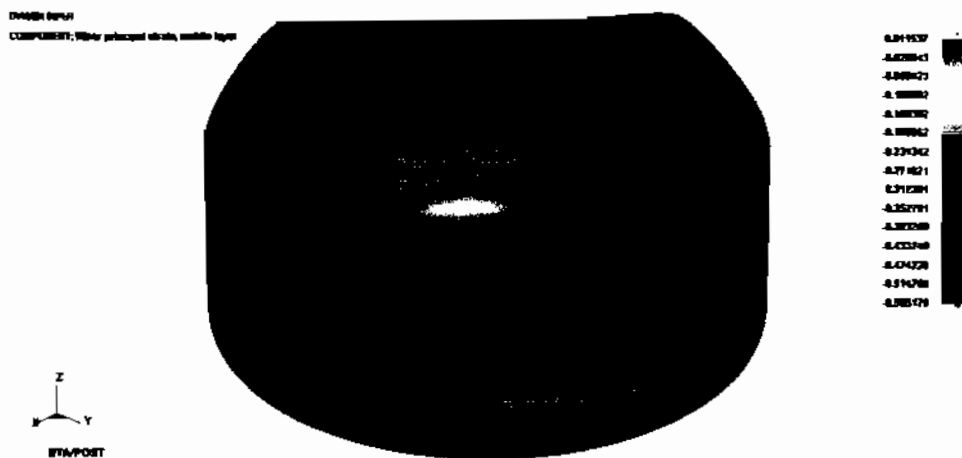
ภาพประกอบ ค.11 การเปลี่ยนแปลง Minor Strain ขนาดเส้นผ่านศูนย์กลางแผ่นเปล่า 85 มิลลิเมตร
ลบมุที่ทิศทางการรีด 0 และ 90 องศา ย้ายจุดศูนย์กลาง 18.6 มิลลิเมตร

ขนาดเส้นผ่านศูนย์กลางแผ่นเปล่า 85 มิลลิเมตร ลบมุที่ทิศทางการรีด 45 องศา จากจุดขอบ
ของชิ้นงาน 1.2 มิลลิเมตร (ฤทธิ์วีช่อง A.M. Zaky, A.B. Nassr และ M.G. El-Sebaie)



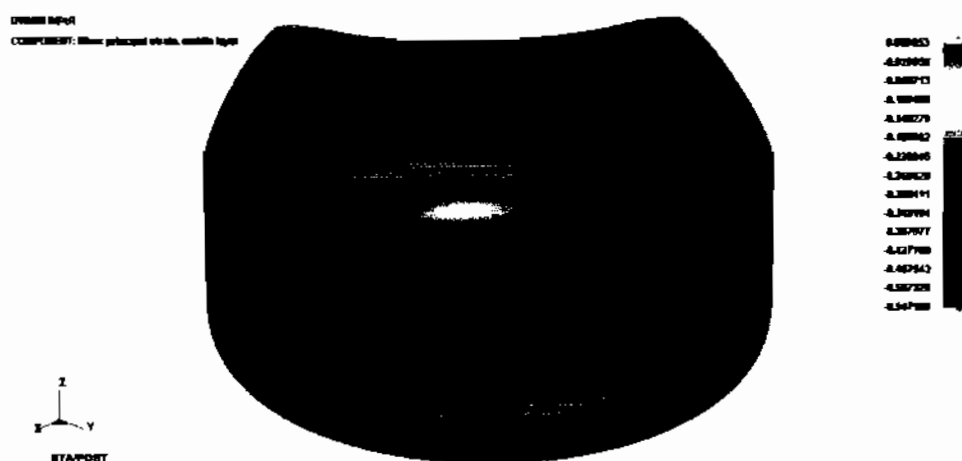
ภาพประกอบ ค.12 การเปลี่ยนแปลง Minor Strain ขนาดเส้นผ่านศูนย์กลางแผ่นเปล่า 85 มิลลิเมตร
ลบมุที่ทิศทางการรีด 45 องศา จากจุดขอบของชิ้นงาน 1.2 มิลลิเมตร

ขนาดเส้นผ่านศูนย์กลางแผ่นเปล่า 85 มิลลิเมตร ลบมุนท์ที่ศีหทางการรีด 45 องศา จากจุดขอบของชิ้นงาน 2.4 มิลลิเมตร (ทฤษฎีของ A.M. Zaky, A.B. Nassr และ M.G. El-Sebaie)



ภาพประกอบ ค.13 การเปลี่ยนแปลง Minor Strain ขนาดเส้นผ่านศูนย์กลางแผ่นเปล่า 85 มิลลิเมตร ลบมุนท์ที่ศีหทางการรีด 45 องศา จากจุดขอบของชิ้นงาน 2.4 มิลลิเมตร

ขนาดเส้นผ่านศูนย์กลางแผ่นเปล่า 85 มิลลิเมตร ลบมุนท์ที่ 45 องศา จากจุดขอบของชิ้นงาน 3.6 มิลลิเมตร (ทฤษฎีของ A.M. Zaky, A.B. Nassr และ M.G. El-Sebaie)



ภาพประกอบ ค.14 การเปลี่ยนแปลง Minor Strain ขนาดเส้นผ่านศูนย์กลางแผ่นเปล่า 85 มิลลิเมตร ลบมุนท์ที่ศีหทางการรีด 45 องศา จากจุดขอบของชิ้นงาน 3.6 มิลลิเมตร

ประวัติย่อผู้วิจัย

ประวัติย่อผู้วิจัย

ชื่อ	นายวรุณิ บุตรจันทร์
วันเกิด	วันที่ 21 เดือน กันยายน พ.ศ. 2532
สถานที่เกิด	โรงพยาบาลศรีนครินทร์ ตำบลในเมือง อำเภอเมือง จังหวัดขอนแก่น
สถานที่อยู่ปัจจุบัน	บ้านเลขที่ 11 บ้านหนองน้ำเกลี้ยง หมู่ 3 ตำบลสำราญ อำเภอเมือง จังหวัดขอนแก่น รหัสไปรษณีย์ 40000

ประวัติการศึกษา

พ.ศ. 2544	ชั้นประถมศึกษา โรงเรียนอนุบาลขอนแก่น ตำบลในเมือง อำเภอเมือง จังหวัดขอนแก่น
พ.ศ. 2547	ชั้นมัธยมศึกษาตอนต้น โรงเรียนขามแก่นนคร ตำบลศิลา อำเภอเมือง จังหวัดขอนแก่น
พ.ศ. 2550	ประกาศนียบัตรวิชาชีพ (ปวช.) วิทยาลัยเทคนิคขอนแก่น ตำบลในเมือง อำเภอเมือง จังหวัดขอนแก่น
พ.ศ. 2552	ประกาศนียบัตรวิชาชีพชั้นสูง (ปวส.) วิทยาลัยเทคนิคขอนแก่น ตำบลในเมือง อำเภอเมือง จังหวัดขอนแก่น
พ.ศ. 2556	วิศวกรรมศาสตรบัณฑิต (วศ.บ.) สาขาวิชาวิศวกรรมการผลิต มหาวิทยาลัยมหาสารคาม

ประวัติย่อผู้วิจัย

ชื่อ นายสุพัฒน์ กิมยุ่น
วันเกิด วันที่ 10 เดือน มกราคม พ.ศ. 2533
สถานที่เกิด โรงพยาบาลราชบุรี ตำบลหัวหิน อำเภอราชบุรี จังหวัดราชบุรี
สถานที่อยู่ปัจจุบัน บ้านเลขที่ 50/12 หมู่ที่ 12 ตำบลบึงนคร อำเภอราชบุรี
จังหวัดราชบุรี รหัสไปรษณีย์ 45170

ประวัติการศึกษา

พ.ศ. 2544	ชั้นประถมศึกษา โรงเรียนบ้านสองพี่น้องวิทยาคาร ตำบลบึงนคร อำเภอราชบุรี จังหวัดราชบุรี
พ.ศ. 2547	ชั้นมัธยมศึกษาตอนต้น โรงเรียนองรานี ตำบลลงรานี อำเภอราชบุรี จังหวัดราชบุรี
พ.ศ. 2550	ประกาศนียบัตรวิชาชีพ (ปช.) วิทยาลัยเทคนิคร้อยเอ็ด ตำบลในเมือง อำเภอเมือง จังหวัดร้อยเอ็ด
พ.ศ. 2552	ประกาศนียบัตรวิชาชีพชั้นสูง (ปวส.) วิทยาลัยเทคนิคร้อยเอ็ด ตำบลในเมือง อำเภอเมือง จังหวัดร้อยเอ็ด
พ.ศ. 2556	วิศวกรรมศาสตรบัณฑิต (วศ.บ.) สาขาวิชาบริหารผลิต มหาวิทยาลัยมหาสารคาม